

АКАДІМИЯ НАУК УКРАИНСКОЙ ССР
Научный совет по проблеме "Физика и техника
миллиметровых и субмиллиметровых волн"
Институт радиофизики и электроники

ИССЛЕДОВАНИЯ ВЗАИМОДЕЙСТВИЯ ЭЛЕКТРОМАГНИТНЫХ ВОЛН МИЛЛИМЕТРОВОГО И СУБМИЛЛИМЕТРОВОГО ДИАПАЗОНОВ С БИОЛОГИЧЕСКИМИ ОБЪЕКТАМИ

Сборник научных трудов

Исследования взаимодействия электромагнитных воли миллиметрового и субмиллиметрового диапазонов с биологическими объектами:Со.науч. тр. / АН УССР.Ин-т радиофизики и электрон.;Редкол.:Шестопалов В.П. (отв.ред.) и др.-Киев: Наук.думка,1989.-152 с.- ISBN 5-12-000864-X.

В сборнике приведены результаты исследований взаимодействия электромагнитных воли миллиметрового и субмиллиметрового диапазонов с биологическими объектами. Рассмотрены как фундаментальные задачи, связанные с изучением общих физических закономерностей, так и вопросы использования электромагнитного излучения в медицине и сельском хозийстве.

Для научных работников и инженеров, работающих в области ра-

диофизики, электроники, биофизики, биологии, медицины.

#### Редакционная коллегия

В.П.Шестопалов (ответственный редактор), Н.В.Андренко, А.А.Вертий, Л.М.Егорова, А.М.Калмыков, Ф.В.Кивва, А.А.Кириленко, А.П.Королюк, А.А.Костенко (ответственный секретарь), Е.М.Кулешов, В.Я.Малеев, В.Б.Разсказовский, Б.К.Скрынник, А.Я.Усиков, Г.М.Хлопов, В.М.Яковенко

Утверждено к печати ученым советом Института радиофизики и электроники АН УССР Редакция физико-математической литературы Редактор В.М.Чирков Научное издание

ИССЛЕДОВАНИЯ ВЗАИМОДЕЙСТВИЯ ЭЛЕКТРОМАГНИТНЫХ ВОЛН МИЛЛИМЕТРОВОГО И СУЕМИЛЛИМЕТРОВОГО ДИАПАЗОНОВ С БИОЛОГИЧЕСКИМИ ОБЪЕКТАМИ

Сборник научных трудов

Художник обложки М.Э.Кропивницкая

Кудожественный редактор И.Е.Писарева
Технический редактор С.С.Хаща
Оператор А.С.Серикова
Корректорн Л.Н.Вальнева, О.В.Собкевич

#### MB № 9970

Сдано в набор 20.05.89. Подп. в печ. 24.10.89. ВФ 02604. Формат 60x84/16. Бум. офс. № 1. Офс. печ. Усл. печ. л. 8,96. Усл. кр.-отт. 9,19. Уч.-изд. л. 9,59 + вкл. 0,11 = 9,70. Тираж 700 экз. Заказ 9-285. Цена 1 р. 90 к.

Оригинал-макет подготовлен в издательстве "Наукова думка". 252601 Киев 4, ул. Репина, 3. Киевская книжная типография научной книги. 252004 Киев 4, ул. Репина, 4.

(c)

M221(04)-89 416-89

ISBN 5-12-000864-X

Издательство "Наукова думка", 1989

УДК 621.3.029.65:577.3.2

В.Я. Малеев, В.А. Каштур

О МОЛЕКУЛЯРНЫХ МЕХАНИЗМАХ ВЗАИМОДЕЙСТВИЯ ЭЛЕКТРОМАГНИТНОГО ИЗЛУЧЕНИЯ МИЛЛИМЕТРОВОГО ДИАПАЗОНА С БЕЛКАМИ И ДНК. ТЕОРИЯ И ЭКСПЕРИМЕНТ

В настоящее время накоплен общирный эксперимейтельный материал о воздействии электромагнитного излучения миллиметровых волн на биологические объекты разного уровня организации — от макромолекул до целостного организма /4-37. Некоторие обнаружение эффекты уже применяются в медицинской практике. Наиболее интригующим моментом в этих экспериментах является обнаружение чрезвычайно острых резонансных эффектов воздействия электромагнитного излучения на биологические объекты. Выяснение молекулярной природы указанных резонансных эффектов — весьма важная задача.

В данной статье приведен краткий обзор современного состояния проблемы применительно к важнейшим типам биологических макромолекул — белкам и ДНК. Обсуждены литературные и оритинальные данные, относящиеся к теоретическому и экспериментальному изучению колебательных состояний этих биополимеров в интервале частот, включакщем сантиметровые (см), миллиметровые (мм) и субмиллиметровые (субми) волны.

Теоретические модели колебаний белков. В случае глобулярных белков рассматриваются механизмы, которые предполагают коллективные движения всей макромолекулы или отдельных ее крупных частей субъединиц, доменов и т.п. При расчете нормальных колебаний на основе данных рентгеноструктурного анализа на уровне атомного разрешения внбирают исходные координаты в конформационном пространстве макромолекул и используют различные приближения для виделения из полной матрицы силовых констант части, ответственной за наиболее низкочастотные моды с учетом возможных нелинейных эффектаноственной возможных нелинейных эффектанственной возможных нелинейных эффектанственнос

тов. Из теоретических работ такого плана отметим несколько исследований, выполненных в последние годы.

В работе Гё и др.4 рассчитани низкочастотные моды колебаний для небольшого глобулярного белка — ингибитора бычьего панкреатического трипсина. Частоты колебаний ниже 120 см $^{-1}$  отвечают модели упругих колебаний белковой молекулы, моды с частотами ниже 50 см $^{-1}$  (a > 0,2 мм) соответствуют ангармоническим колебательным пвижениям.

Чоу развита квазинепрерывная модель /5/, которая предполагает, что доминантный низкочастотный мод в молекуле белка определяется коллективными флуктуациями слабых связей, в частности водородных, и внутренним смешением массивных атомов. На основе этой модели рассчитаны низкочастотные движения в гили предполагает объемов. Показано, что движения типа "гармошки" в гили примере иммуноглобулина С и конканавалина А отвечают низкочастотным модам при 20-30 см<sup>-1</sup> (гили в 10,5-0,3 мм).

В работе Леви и др. 6/ применен квазитармонический метод расчета нормальных колебаний, в котором эффективные силовые постоянные получают вычислением в рамках молекулярной динамики средних квадратичных изменений внутренних виртуальных координат с учетом ангармонических эффектов. Рассмотрен уже упомянутий белок ингибитор панкреатического трипсина, в котором в качестве центров взаимодействия взяты аминокислотные остатки. Наивысшая частота из 168 рассчитанных нормальных колебаний соответствует 250 см<sup>-1</sup>, наинизшая — 0,32 см<sup>-1</sup> ( и = 3 см), тем самым предсказано много колебаний, попадающих в интересующий диапазон.

В статье Брукса и Карплуса 77 использован итерационный метод, позволяющий извлечь собственные векторы из полной матрицы вторых производных потенциальной энергии системы. С помощью указанного метода рассмотрено междоменное движение в лизоциме (шарнирно-изгибный мод) с частотой 3,6 см $^{-1}$  ( $\mathcal{A}=2,8$  мм).

Теоретические модели колебаний ДНК. В случае ДНК теория также предсказывает возможность существования колебаний, проявляющихся в диапазоне КВЧ. Свыше 20 лет назад нами была рассмотрена модель связанных крутильных колебаний азотистых оснований в ДНК [87. По оценке частотного диапазона, в котором могут проявиться эти колебания, получены значения порядка 10-100 см<sup>-1</sup>, т.е. л = 1-0.1 мм.

В последнее время низкочастотные колебательные состояния ДНК изучены в серии работ Проковского и соавторов 29-127. Они развивают "твердотельные" представления применительно к двойной спирали

ДНК, в которой, по предположению, имеются дальние коллективные взаимодействия. Рассмотрены решеточные моды в фононном спектре ДНК с использованием модели валентного и дальнего электростатического силового поля. На основе этих моделей рассчитаны частоты (20,3; 25 и 27 см<sup>-1</sup>) модов, активных в спектре комбинационного рассеяния /97.

Другая модель предполагает наличие акустических волн в двойной спирали - продольных и поперечных. Частоты этих колебаний определяются упругими свойствами ДНК и зависят от длины цепи ДНК, изменяя которую, можно перекрыть широкий диапазон, охватывающий субмм, мм и см волны.

Предсказаны также локальные колебания типа "резонанса на дефектах" структуры ДНК (концевые дефекты и дефекты типа "вилки") Д117. Эти колебания предположительно обнаружены экспериментально на низких частотах ~ 600 МГц /137.

Отметим также модель конформационной подвижности ДНК, предложенную С.Н.Волковым и А.М.Косевичем 2747, в которой рассматриваются "маятниковые" движения нуклеозидов. Частоты колебаний, определенные в этой модели (10 и 60 см<sup>-1</sup>), отвечают субмм волнам.

Из перечисленных результатов видно, что как в белках, так и в ДНК теория предсказывает существование низкочастотных колебаний, проявляющихся в интересующем нас диапазоне.

Экспериментальная ситуация. Спектры "сухих" биополимеров. Трудности экспериментального наблюдения предсказываемых теоретически колебательных состояний белков и ДНК в КВЧ-диапазоне связаны: 1) с отсутствием достаточно чувствительной спектральной аппаратуры в диапазоне между ИК- и СВЧ-областями; 2) с наличием очень сильного поглощения воды в этом диапазоне. Теоретические модели, о которых шла речь выше, не учитывают, как правило, взаимодействия с водным растворителем. Учет этого взаимодействия на простейших моделях упругих колебаний биополимеров в вязкой среде приводит к сдвигу резонансных частот и "расплыванию" спектров в широкие полосы /10. 157. В этой связи следует отметить недавною работу Ван Зандта /167, в которой предлагается возможная теоретическая интерпретация резонансного поглощения микроволнового излучения растворами плазмидной ДНК, обнаруженного Эдвардсом и др. /777. В основу модели положено предположение о том, что гидратная оболочка ЛНК представляет собой слоистую структуру и взаимодействие первого слоя волы с ДНК происходит без диссипации энергии.

В большинстве экспериментов по обнаружению колебательных состояний используются образцы либо вообще не содержащие воды, либо слегка увлажненные. Наиболее определенная картина наблодается в спектрах комбинационного рассеяния сухих образцов белков и увлажненных образцов ДНК ДТ8-247. В случае глобулярных белков обнаруживаются низкочастотные моды вблизи 20-30 см<sup>-1</sup>, частота которых слабо зависит от размеров и формы белковых глобул ДТ87.

Интересны результать, полученные для ДНК на образцах, содержащих разное количество воды. По данным Урабе и др. 20, 217, в спектре комбинационного рассеяния для А-формы ДНК наблюдаются полосы при 85 и 24 см<sup>-1</sup>. С увеличением содержания воды в образце низкочастотной мод сдвигается в сторону низких частот к 14 см<sup>-1</sup> для В-формы ("смягчается") и исчезает при дальнейшем добавлении воды. Эта особенность позволила отнести указанный мод к межспиральному колебательному движению.

В мм диапазоне имеется мало данных о возможных колебательных состояниях белков и ДНК. Можно лишь отметить работи Гензела, Кремера и др. [22, 23], в которых измерена диэлектрическая проницаемость сухих образцов белков на примере гемсглобина, лизоцима и полишентида — полиаланина в широком интервале частот 40—1000 ГТц с помощью техники сверхразмерного резонатора и при разных температурах (от комнатной до гелиевой). Никаких полос поглошения в исследованных образцах автори не обнаружили. Коэффициент поглошения монотонно возрастает с частотой по закону 3/2, а дисперсия  $\mathcal{E}(\omega)$  может быть объяснена наличием трех дебаевских релаксационных процессов, заключающихся в релаксации атома водорода в двухъмином потенциальном ящике, моделирующем водородную связь №...ос.

В связи с обсуждаемой проблемой следует выделить уникальные результати, получение Н.П.Диденко с соавторами  $\mathbb{Z}47$ . Используя метод ядерной гамма-резонансной спектроскопии для регистрации изменений конформации белка — лисфильно высущенного гемоглобина, меченого  $\frac{57}{69}$ , под воздействием электромагнитного излучения в дианазоне 40-50 ГПЦ, автори обнаружили чрезвичайно узкие пики воздействия  $(\Delta f/f \sim 10^{-4})$ . Учитывая принципиальное значение этих данных, на наш взгляд, следует провести тщательный и всесторонний анализ условий проведения указанных экспериментов.

Экспериментальные исследования растворов биополимеров. Поскольку большинство моделей, предсказывающих наличие колебательных состояний в биополимерах, учитывает их динамические свойства и конформационную подвижность, т.е. неявно предполагает взаимо-действие с растворителем, важны экспериментальные исследования дивлектрических свойств биополимеров при наличии большого количества воды, что реализуется в растворах.

По нашим многочисленным данным о диалектрических характерис-

тиках растворов многих белков и нуклеинових кислот, в дианазоне 6-8 мм не обнаруживается избиточное поглощение, которое можно было би приписать растворенным макромолекулам. Насротив, наблюдается декремент диэлектрической проницаемости, объясняемый гидратацией этих биополимеров и позволяющий тем самым изучать этот эффект изменения состояния воды в растворах 25-27.

В связи с этим безусловный интерес вызывают результати. полученные Свайкордом и др., о наличии большого избиточного поглощения электромагнитного издучения см лиапазона волными растворами ДНК /28, 297. Согласно этим данным. в диапазоне 8-12 ITи молекулн ЛНК из E. coli поглощают электромагнитное излучение значительно сильнее, чем вода (в 25 раз больше на частоте 8 ГГц /287). Исследуя этот эффект повторно более точным дивлектрометрическим методом /297. авторы не нашли заметного погложния ДНК. Однако в процессе инкубации раствора ДНК с ферментом ДНКазой наблюдали интенсивное дополнительное поглошение во воем диапазоне 9-12 ІТц (в 400 раз больше, чем у эквивалентного количества води!). Наблюдземые эффекти были объяснены с помощью молели акустических воли во фрагментах ЛНК соответствующей длины /107. Этой же группой исследователей било также обнаружено резонансное поглощение большой интенсивности в диапазоне частот 2-10 ПП водных растворов плазмилной ДНК, молекулы которой имеют строго определенную длину /177.

Мы прешириняли специальное изучение микроволнового поглошения ДНК в условиях, подобных тем, которые описаны авторами указанных работ. Метолом переменной толшины, обеспечивающим точность измерения не хуже 1 %. в пиапазоне частот 9-12 ГГц изучено поглошение волных растворов ЛНК из эритропитов пыплят и из £ coli , нативних и фрагментированных ультразвуком и ДНКазой /30/. Фрагменты ДНК были проанализированы с помощью гель-электрофореза на 4 %-ном горизонтальном агарозном геле. Показано, что при расшеплении ДНК из E. coli ЛНКазой в течение 50 с свыше 50 % ЛНК присутствует в виде фрагментов с длинами от 800 до 2800 пар нуклеотидов (пн). а 25 % материала - с илинами от 2800 до 5400 пн. При ультразвуковой обработке основная часть фрагментов имеет средняю длину около 500 пн. котя примерно 20 % ДНК представлено в виде фрагментов с длинами от 800 по 2600 пн. Следовательно, в изученных образиах имеется достаточное количество фрагментов ДНК с длинами несколько тысяч пар нуклеотидов, для которых, согласно /29, 477, можно было бы ожидать увеличенное поглощение электромагнитного излучения.

Однако во всех исследованных случаях такого избиточного поглошения по сравнению с растворителем ми не наблюдали. Возможно, обнаруженные эффекты частично обусловлены тем, что эталонный раство-

ритель, использованный авторами цитированных работ, не содержал всех компонентов, в частности соли Масі, , необходимой для действия ДНКазы. Наличие этой соли повышает коэффициент поглощения на 7 %. Не учитывая этого эффекта, можно объяснить полученный результат собственным поглощением ДНК, которое будет превышать поглощение воды в 35 раз (концентрация ДНК 0,2 %).

Мы не проводили экспериментов по изучению микроволнового поглощения растворами плазмидной ДНК в интервале частот 2-10 ГТп. Однако полученные нами результаты об отсутствии избыточного поглощения растворов ДНК на границе этого диапазона свидетельствуют о том, что необходим тщательный анализ экспериментальных условий, в которых авторы работы /177 обнаружили резонансные эффекты.

Ваключение. Из краткого обзора известных теоретических и экспериментальных данных видно, что изучение механизмов поглощения электромагнитного излучения миллиметрового и примыкающих к нему диапазонов макромолекулами белков и ДНК представляет важную и актуальную задачу при решении проблемы конформационной динамики биополимеров и проблемы выяснения механизмов воздействия ЭМИ на биологические объекты.

Вместе с тем следует отметить, что хотя теория предсказывает существование различного рода колебаний в белках и ДНК, частоты которых попадают в указанные диапазоны электромагнитных волн, экспериментально такие колебания, как правило, не обнаруживаются.По нашему мнению, для существования острых резонансов в этих биополимерах вообще нет достаточно разумных физических оснований. Относительно "нормальных" резонансных эффектов (с добротностями порядка 10-100) подобная ситуация в принципе возможна, но для надежного обнаружения таких колебаний требуется дальнейшая разработка чувствительных экспериментальных методов, способных виделить нужные эффекты на фоне преобладающего поглощения водой, и развитие теоретических моделей, максимально учитывающих реальные экспериментальные условия.

1. Эффекты нетеплового воздействия миллиметрового излучения на ойологические объекты / Под. ред. Н.Л. Девяткова. - М.: Ин-т радиотехники и электрон. АН СССР, 1983. - 220 с.

2. Применение миллиметрового излучения низкой интенсивности в био-логии и медицине: Тез. докл. УТ Всесомз. семинара. — М.: Ин-т радиотехники и электрон. АН СССР. 1986. — 111 с. 3. Coherent exitations in biological systems / Eds. H. Fröhlich,

F. Kremer: - Berlin; Heidelberg; New York; Tokyo: Springer-Verlag, 1983. - 224 p.

4. Go N., Moguti T., Nishikawa T. Dynamics of the little globular protein in the terms of low-frequency vibration modes // Proc. Nat. Acad. Soc. USA. Biol. Sci. - 1983. - 80. - P. 3696-3700.

5. Chou K.-C. low-frequency motions in the protein molecules // Biophys. J. - 1985. - 48. - P. 289-297.

6. Levy R.M., Srinivasam A.R., Olson W.K. Quasi-harmonic method for studying very low frequency modes in proteins // Biopolymers. - 1984. - 23. - P. 1099-1112.

7. Brooks B., Karplus M. Normal modes for specific motions of macromolecules: Application to the hinge-bending mode of lysozyme // Proc. Nat. Acad. Soc. USA. - 1985. - 82. -

Р. 4995-4999. 8. Малеев В.Я. Крутильные колебания оснований в нуклеиновой кис-

лоте // Биофизика. - 1965. - 10. - С. 729-734.

9. Prasad Devi K.V., Prohofsky E.W. Low-frequency lattice mode predictions in A-DNA compared to experimental observations and significance for A-to-B conformational change // Biopo-

lymers. - 1984. - 23. - P. 1795-1798.

10. Van Zandt L.L., Kohli M., Prohofsky E.W. Absorption of microwave radiation by DNA double helix in aquo // Ibid. - 1982.-

21. - P. 1465-1468.

11. Dorfman B.H., Van Zandt L.L. Vibration of DNA polymer in viscous solvent // Ibid. - 1987. - 22. - P. 2639-2665.
42. Phonons in the DNA double helix / E.W. Froncisky, L.L. Van

Zandt, M. Kohli et al. // J. Phys. C. - 1981. - 42, N 6. - P. 560 - 562.

43. Lindsay S.M., Powell J. Possible observation of a defect re-

sonance in DNA // Biopolymers. - 1983. - 22. - P.2045-2060.

14. Волков С.Н., Косевич А.М. Конформационные Колебания пруктяжевой ЛНК. - Киев, 1986. - 25 с. - (Препр. / АН УССР. Ин-т теорет. физики; № 86-119 Р).

45. Persson B.N.J. On the nature of low-frequency vibration modes in the globular protein molecules inserted into the water // Chem. Phys. Lett. - 1986. - 127. - P. 428-431.

46. Van Zandt L.L. Why structured water causes sharp absorption by DNA at microwave frequencies // J. Biomol. Str. and Dynamics. - 1987. - 4. - P. 569-582.

17. Resonant microwave absorption of selected DNA molecules / G.S. Edwards, C.C. Davis, J.D. Saffer et al. // Phys. Rev. Lett.

1984. - 53. - P. 1284-1287.

18. Painter P.C., Mosher L., Rhoads C. Low-frequency modes in the Raman spectra of proteins // Biopolymers. - 1982. - 21.-P. 1469-1472.

19. Painter P.C., Mosher L.E., Rhoads C. Low-frequency modes in the Raman spectrum of DNA // Ibid. - 1981.-20. - P.243-247.

20. Urabe H., Tominaga Y. Low-frequency collective modes of double helix DNA in the Raman spectra // Ibid. - 1982. - 21. -

P. 2477-2481. 21. Collective vibrational modes in molecular assembly of DNA and its application to biological systems. Iow-frequency Raman spectroscopy / H. Urabe, H. Hayashi, Y. Tominaga et al. // J. Uhem. Phys. - 1985. - 82. - P. 531-535.

22. Relaxation processes on a picosecond time scale in hemoglobin and poly(L-alanine) observed by millimeter-wave spectroscopy/

L.Gensel, F.Kremer, A.Poglitsch et al. // Biopolymers. - 1983. - 22. - P. 1715-1729.

23. Kremer F., Poglitsch A., Gensel L. The temperature dependence of the millimeter waves absorption by lysozyme // 7-th Int. Conf. Infrared and Millimetre Waves. - Marseille, 1983. -L 2-2.

24. Диденко Н.П., Зеленцов В.И., Ча В.А. О конформационных изменениях биомолекул при взаимодействии с электромагнитным излучением // Эффекты нетеплового воздействия мм излучения на биоло-

гические объекты / Под ред. Н. Л. Левяткова. — М., 1983.—С. 63-77. 25. Каштур В. А., Малеев В.Я., Щеголева Т.Ю. Исследование гидрата ции глобулярных белков дифференциальным диэлектрометрическим

методом // Молекуляр. биология. - 1976. - <u>10</u>, № 3.-С.568-575. 26. Малеев В.Я., Кашпур В.А., Щеголева Т.Ю. Диэлектрометрия в миллиметровом дианазоне длин волн как метод исследования вза-имодействия биополимеров с водой // Нетепловые эффекты мм из-лучения / Под ред. Н. Д. Девяткова. — М., 1981. — С. 26—41. 27. Малеев В.Я., Кашпур В.А. Взаимодействие миллиметровых волн с

водинми растворами нуклеиновых кислот и их компонентов //
эффекти нетеплового воздействия мм излучения на биологические объекти / Под ред. Н.Д.Девяткова. - М., 1983. - С. 163-171.
28. Swicord M.L., Davis C.C. Microwave absorption of DNA in the

8-12 GHz region // Biopolymers. - 1982. - 21. - P. 2453-2460.

29. Chain-length-dependent microwave absorption of DNA / M. L. Swicord, G.S. Edwards, J.L. Sagripanti et al. // Ibid. - 1983. -

22. - Р. 2513-2516.

30. О поглощении растворов ДНК в диацазоне 9-12 ПТц / В.Я.Малеев, В.А.Каштур, Г.М.Глибицкий и др. // Биополимеры и клетка. -1986. - 2. - C. 35-38.

УЛК 621.3.029.65:577

IO

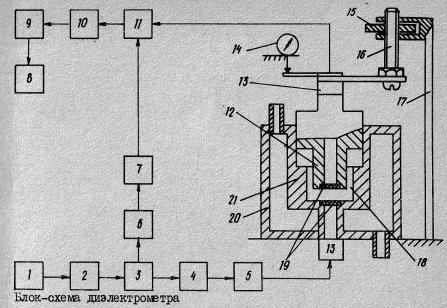
Г.М. Глибинкий. В.А. Кашпур

МЕТОЛ ИЗМЕРЕНИЯ ЛИЭЛЕКТРИЧЕСКОЙ ПРОНИЦАЕМОСТИ B MULTUMETPOBOM JUAITASOHE PACTBOPOB GUOMATEPUAJOB

В ЗАВИСИМОСТИ ОТ ТЕМПЕРАТУРЫ

В настоящее время известен ряд работ, посвященных исследованию пиэлектрических свойств биологических веществ в СВЧ диапазоне.06зор соответствующих данных, выполненный в монографиях /1, 27, позволяет сделать вывод. что одним из наиболее адекватных методов измерения сверхвысокочастотных диэлектрических свойств жидкостей с большими потерями, к числу которых относятся и водные растворы биомолекул, является волноводный метод, основанный на использовании кюветы переменной толщины. Применение этого метода измерения позволило нам ранее изучить водные растворы глобулярных белков и ДНК /3, 47.

СВЧ пиэлектрометрия необходима для исследования механизмов биологического воздействия электромагнитного излучения. Однако, поскольку основным веществом, поглощающим волны миллиметрового (мм) диалазона, является вода, изучение диэлектрических свойств в этой области представляет интерес для выяснения роли растворителя как в поддержании нативной структуры биообъектов при различных температурах, так и во влиянии состояния водного окружения на параметры термических конформационных переходов в нуклеиновых кислотах и белках. До сих пор исследования биообъектов в мм области проводились лишь при комнатных температурах. В связи с этим нами разработан СВЧ диэлектрометр, предназначенный для изучения жидкостей с большими потерями (в том числе растворов биообъектов) в диапазоне 6 - 8 MM.



В измерительном устройстве (рисунок) сигнал с вихода СВЧ генератора 1, состоящего из блока питания и клистрона, подается через ферритовый вентиль 2 на направленный ответвитель 3. с одного вихода которого часть сигнала (-17 дБ) поступает через аттенюатор 6. упругий волновод 7 на направленный ответвитель 44.С другого выхода направленного ответвителя 3 основная часть сигнала полается через измерительный аттенюатор 4, фазовращатель 5 и волноволный переход с прямоугольного сечения на круглое 13 на вход киветы 21. Далее сигнал проходит через нижнюю прокладку 19, вклеенную в основание кивети, исследуемый раствор 18, верхнию прокладку 19. вклеенную в торец подвижного волновода 12, подвижный волновод переход с круглого волновода на прямоугольный 13 и поступает на ответвитель 11. Суммарный сигнал с этого ответвителя идет на петектор 10, усилитель 9 и цифровой вольтметр 8.

Переход 13 жестко соединен с микрометрическим винтом 16. Вращением гайки 45, помещенной в оправку стойки 47, осуществляется перемещение волновода И1, которое определяется микрометром 14.

Диэлектрометр пригоден для измерений в широком интервале температур 5-90 °C. Температурный режим задает термостат, в котором в качестве рабочей жидкости могут использоваться вода и другие жидкости. Автоматическая регулировка позволяет поддерживать температуру с точностью 0.1 °С,что контролируется термометром в измерительной кювете.

Для проведения частотных измерений вместо клистронного генератора использовался генератор сигналов вноокочастотный Г4—141, имеющий рабочий диапазон 37,5—53,57 ГТц (5,7—8 мм).

Основными измеряемыми величинами служат коэффициент поглощения о и фазовая постоянная в. Толщина слоя жидкости выбирается настолько большой, что возникающие в кювете различного рода отраженные волны полностью поглощаются в веществе и не могут доститать детектора. Поэтому условия согласования при перемещении подвижного волновода не изменяются, а увеличение толщины слоя исследуемой жидкости приводит к ослаблению сигнала в экспоненциальной зависимости и изменению фазы в линейной зависимости от пути сигнала в веществе. Коэффициент поглощения определяется при закрытом канале сравнения измерением продетектированных сигналов и и у соответствующим двум толщинам жидкости и и у

$$\alpha = \lambda_1 \frac{J_1/J_2}{2(\lambda_2 - \lambda_1)}. \tag{1}$$

Фазовая постоянная измеряется обычным мостовым методом, т.е. определяются показания фазовращателя  $\mathscr{C}_{1}$  и  $\mathscr{C}_{2}$  для соответствующих длин слоя вещества  $\mathscr{K}_{1}$  и  $\mathscr{K}_{2}$  при установлении нулевого баланса на детекторе:

$$\beta = \frac{\mathscr{L}_2 - \mathscr{L}_7}{\mathscr{L}_2 - \mathscr{L}_7} \tag{2}$$

Зная величины  $\propto$  и  $\beta$  , легко вычислить действительную  $\varepsilon'$  и мнимую  $\varepsilon''$  части комплексной диэлектрической проницаемости для произвольной длины волны

$$\varepsilon' - \lambda / \lambda_{Np} + (\lambda / 2\pi)^2 (\beta^2 - \alpha^2),$$
 (3)

$$\varepsilon'' = 2(A/2\pi)\alpha\beta, \tag{4}$$

где 🛵 – критическая длина волны.

С помощью данного диэлектрометра нами в мм диапазоне длин волн проведена серия измерений. В качестве объектов были выбраны вода, для которой основные закономерности поведения диэлектрических параметров достаточно хорошо известны, водный раствор одного из сахаров — сахарозы и водный раствор сывороточного альбумина — вещества, играющего важную биологическую роль.

В табл. І приведены найденные на длине волны 7,6 мм диэлектрические характеристики воды в температурном интервале 23-80 °C.Приводимые результаты получены нами впервые, однако в ряде работ /5, 67 на основании измерений в более длинноволновой области вычисляТаблица 1. Термодиэлектри-ческие параметры воды ( 3 = 7,6 мм)

Таблица 2. Диэлектрические параметры воды (T = = 20°C)

T,°C	α	ß	اع	اسي	E <sub>S</sub>
23	2,38	4,43	20	31	81
30	2,40	4,77	25	33	80
50	2,27	5,50	37	36	78
60	2,06	5,65	40	34	73
70	1,85	5,67	42	31	67
80	1,68	5,75	44	28	64

J, MM	ď	ß	اھ	e"
5,8 6,7,2 7,5 8,0	2,40 2,33 2,26	4,87 4,34 4,27 4,18 3,89	13 15 17 18 17	23 24 26 27 26

лась величина  $\varepsilon_s$ , которая может бить сопоставлена с аналогичной величиной, найденной из наших данных. Диэлектрическая проницаемость  $\varepsilon_s$  является характерным параметром теории Дебая для полярных жидкостей, к которым относятся вода и водные растворы, и представляет собой диэлектрическую проницаемость на частоте, намного меньшей центральной частоты дебаевской дисперсии. Из теории Дебая 77 следует, что

$$\xi = \mathcal{E}' + \frac{(\mathcal{E''})^2}{\mathcal{E}' - \mathcal{E}_{\infty}},\tag{5}$$

где  $\varepsilon_{\infty}$  — диэлектрическая проницаемость воды на частоте, намного большей центральной частоты дебаевской дисперсии. Здесь  $\varepsilon_{s} \approx \mathcal{S}$ , а более точные значения в температурном интервале 0-100 °С приведены в работе  $\sqrt{6}$ . Различие между нашими значениями  $\varepsilon_{s}$  и известными из литературы  $\sqrt{5}$ , 67 не превышает 2-3 %.

Выполненный анализ погрешностей экспериментальных данных включает оценку погрешности, которая обусловлена неполным устранением переотражений в кювете, приводящих к нарушению экспоненциальной зависимости затухания и линейной зависимости фазового сдвига от длины слоя исследуемого вещества. Этот анализ показал, что неточность в определении величин  $\alpha$ ,  $\beta$  и  $\varepsilon_{\rm S}$  не превышает 3 %.

В табл. 2 приведена частотная зависимость диэлектрических характеристик, определенная при 20  $^{\rm O}$ С. Видно, что при увеличении длины волны происходит уменьшение коэффициента поглощения и фазовой постоянной. В то же время величины  $\varepsilon'$  и  $\varepsilon''$  монотонно возрастают.

Данные табл. З описывают диэлектрическое поведение 15 %—ного раствора сахарози. Общий характер зависимости всех величин от температуры тот же, что и в случае чистой воды и, очевидно, определяется и в случае раствора молекулами воды. Однако и коэффициент поглощения, и фазовая постоянная изменяются значительно медленнее, чем в случае воды. Так, для воды затухание при 80 ос на 30 % мень—

ly al

12

13

Таблица 3. Термодиэлектрические параметры раствора са-харозы ( → = 7,6 мм)

Таблица 4. Термодиэлектрические параметры раствора сывороточного альбумина (л=7.6мм)

T, OC	ď	ß	٤'	e"	T, °C	α	0	e!	€"
30 40 50 60 70 80	2,07 2,07 2,04 1,96 1,79 1,66	4,14 4,49 4,72 4,95 5,05 5,20	19 23 26 30 33 35	25 27 28 28 28 26 25	23 30 50 60 65	1,97 1,98 1,92 1,76 1,67	3,95 4,08 4,66 4,83 4,81	17 19 26 30 30	23 24 26 25 23

ше, чем при 30  $^{
m O}$ С, а для раствора сахарозы — только на 20 %. По явление дополнительного поглощения при нагреве может быть обусловлено как изменением взаимодействия сахарози с водой, так и проявлением микроволнового поглошения молекулами сакарози (например, за счет собственного вращения).

Диэлектрические измерения раствора сывороточного альбумина человека (концентрация 45 %) также указывают на монотонное уменьшение поглощения и увеличение фазового сдвига при нагреве. Измерения проведены до температуры 65 °С, поскольку при дальнейшем нагреве происходит денатурация белка, сопровождаемая гелеобразованием и невозможностью вследствие этого воспроизводимым образом перемещать подвижный волновод в образце. Как видно из табл. 4, температурная зависимость коэффициента поглощения и фазовой постоянной более слабая для раствора белка, чем для чистой воды. Поэтому следует считать, что при повышении температуры изменяются не только свойства воды, но и характер взаимодействия белка с растворителем.

Итак, предлагаемый диэлектрометрический метод позволяет получать важную информацию о свойствах биологических веществ, проявляющихся в поведении диэлектрических параметров в мм диапазоне длин волн.

1. Брандт А.А. Исследование диалектриков на сверхвисоких частотах. - М.: Физматтиз, 1963. - 404 с. 2. Grant E.H., Sheppard R.J., South G.P. Dielectric behaviour of biological molecules in solution. - Oxford: Clarendon press, 1978. - 237 p.

3. Кашпур В.А., Малеев В.Я., Щеголева Т.Ю. Исследование гидратации глобулярных белков дифференциальным диэлектрометрическим мето-

тлобулярных селков дипреренциальным диэлектрометрическим методом // Молекуляр. Сиология. — 1976. — 10, № 3. — С.568—574.

4. О поглошении растворов ДНК в диапазоне 9—12 ГГп /В.Я.Малеев,
В.А.Кашпур, Г.И.Глибицкий и др. // Биополимеры и клетка. —
1986. — 2. № 1. — С. 35—38.

5. Ахадов Я.Ю. Диэлектрические свойства чистых жидкостей. — М.:
Изд—во стандартов, 1972. — 412 с.

6. Любимов Ю.А., Набоков О.А. Комплексная диэлектрическая прони—
наемость и пиалектрическая релакация воль влоть компо

наемость и диэлектрическая релаксация воды вдоль кривой сосуществования // ж.физ.химии. — 1985. — 59, № 6. — С.1435—1436. 7. Дебай П.Полярные молекулы.—М.:Гостехтебретиздат, 1931.—230 с.

УЛК 577.35:537

В.С.Банников, О.Ю.Веденский, Г.П.Ермак И.С.Абраменко, О.Л.Колесник, Б.К.Скрынник, В.П.Пестопалов

новый высокоэффективный метол контроля DANGE OF THE PART OF THE PART

Исследования функционирования стносительно активных нервных систем, таких как, например, аксоны или сетчатка глаза земноводных, сопряжены с серьезными экспериментальными трудностями и осуществляются в большинстве случаев с помощью отведения электрических потенциалов посредством микро- и макроэлектродов от отдельных нервных клеток или групп нейронов. Однако использование для этой цели электродов имеет существенные недостатки: неизбежный травматический эффект, вызванный проколом клеточной мембраны, и неопределенность пространственного расположения электрода в препарате. Частично от этих недостатков можно избавиться при регистрации импульсной активности так называемыми оптическими методами /47, однако они, в свою очередь, также не лишены серьезных недостатков: более низким, чем в микроэлектродных методах, отношением сигнал шум, возможностью побочных фармакологических эффектов и фотодинамического повреждения клеток при введении потенциалочувствительных красителей. что сказывается на функционировании нейронов, а также ограничением глубины зондирования, определяемой глубиной проникновения красителей, не превышающей 800 мкм /47. К тому же описанные в литературе оптические методы достаточно условно можно отнести к неинвазивным, хотя бы в связи с упомянутыми побочными фармакологическими и фотодинамическими эффектами.

С развитием термовизионной техники, позволяющей проводить дистанционную регистрацию температуры тел по их ИК излучению, получили развитие термовизионные методы анализа тепловых эффектов, связанные с функциональным состоянием нервной ткани /2, 37. Эти методы дали возможность анализировать нервные процессы по избыточному тепловому излучению отдельных нейронов, в частности трансплантанта гиппокампа в передней камере глаза крысы (37. Безусловно, термовизионный метод может стать весьма полезным в исследованиях пространственно-временной организации функционирования биологических систем, однако только в случае процессов, сопровождаюшихся заметным тепловыделением.

В настоящее время достигнуты заметные успехи в технике миллиметрового (мм) и субмиллиметрового диапазонов волн, связанные с разработкой висококогерентных источников электромагнитных колеба-

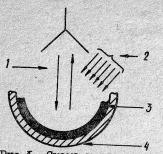


Рис. 1. Схема исследуемого объекта: 4 — СВЧ сигнал; 2 — световой поток; 3 — сетчатка; 4 — глазной бокал

ний, а именно генераторов дифракционного излучения (ГДИ) /4/. ГДИ может функционировать в виде законченной радиосистемы, выполняющей замкнутий цикл в радиоспектроскопических и дефектоскопических измерениях /5/. Это позволяет ставить вопрос об их применении для диагностики функционального состояния активных биообъектов, в частности нервных систем. Речь идет о локальной микролокации активных биосистем ограниченными пучками электромагнитных волн нетепловой интенсивно-

сти. Этому вопросу и посвящена настоящая работа, в частности возможности бесконтактного определения физиологического состояния изолированного глазного бокала глаза Rana temporaria при воздействии импульсов света.

Известно, что электромагнитные волны указанных диапазонов сильно поглощаются биологическими объектами и влияние электромагнитного поля оказывается сосредоточенным в сравнительно узкой зоне на поверхности биологического объекта, причем при соизмеримости длины волны падающего издучения с характерными размерами биологической ткани или биологического объекта в целом поглощение может носить сложный нелинейный характер, определяемый как длиной волны, так и поляризацией, а также ориентацией вектора Пойтинга падающей волны относительно фазового центра биологического рассеивателя, диэлектрическими и геотермическими параметрами последнего. Эти факторы должны учитываться при выборе методик проведения эксперимента.

Предварительные эксперименты показали, что удобным параметром, позволяющим достаточно адекватно описать функциональное состояние изолированного глазного бокала глаза Rana temporaria, может служить коэффициент отражения электромагнитной волны, испытывающий сильное приращение при прохождении нервного импульса, визванного световым сигналом.

Изолированный глазной бокал (рис.1) можно представить, согласно А.Л. Бызову f6f, как полупроводниковую структуру, сопротивление которой f2 650 Ом.При проведении нервного импульса в сетчатке открываются ионные каналы и по ее поверхности и в подповерхностных слоях f2 200 мкм появляются токи, ответственные за проведение потенциала действия.При облучении глазного бокала в мона

мент проведения сетчаткой нервного импульса изменяются граничные условия, обусловленные наличием на границе раздела поверхностного тока. Это приводит к скачку нормальной компоненты вектора электрической напряженности и тангенциальной компоненты вектора напряженности магнитного поля.

Изолированный глазной бокал представляет собой незамкнутую сферическую поверхность, причем облучение электромагнитной волной производится со стороны сферической полости объекта, т.е. со стороны сетчатки (см. рис. 1). Известно, что в подобной структуре возникают только волны гибридного типа 277, имеющие все шесть компонент электромагнитного поля.

Поле, отраженное от изолированного глазного бокала, на приемнике в скалярном приближении Кирхгофа для магнитного потенциала Дебая  $\int_{s}^{\infty} (r,\theta,\varphi)$  представляется в виде

$$I_{S}^{m}(r,\theta,\varphi) = \iint_{S} I_{i}^{m}(r,\theta,\varphi) \frac{\partial J(r,\theta)}{\partial n} dS_{R} + \iint_{S_{R}} J(r,\theta) \frac{\partial I_{i}^{m}(r,\theta,\varphi)}{\partial n} dS_{R}, \qquad (1)$$

где  ${n\choose j}''(r,\theta,\varphi)$  — падающая на объект волна;  $J(r,\theta)$  — функция Грина сферической полости.

Первый член в выражении (1) определяет отражение от биологического рассеивателя при отсутствии нервного импульса, т.е. когда скачок нормальной производной на границе раздела равен 0:

$$\frac{\partial \Pi_{i}^{m}(r;\theta,\psi)}{\partial n} \bigg|_{T} = 0. \tag{2}$$

Второй член в (1) определяет отражение от биологического рассеивателя при проведении им нервного импульса. Однородное условие Неймана в этом случае заменяется смещанным граничным условием

$$\frac{\partial \Pi_{i}^{m}(r,\theta,\Psi)}{\partial n} + g(r,\theta,\Psi)\Pi_{i}^{m} = 0, \tag{3}$$

а функция  $g(r, \theta, \varphi)$ , определяющая возмущение границы раздела, является непрерывной функцией поверхностных координат [7].

Таким образом, из (1) и (3) видно, что приращение полного поли на приемнике определяется только поведением функции поверхностного возмущения  $g(r, \theta, \varphi)$ 

$$\Delta \Pi_{S}^{m} = \int \int_{S_{0}} \Pi_{i}^{m} \left( \frac{\partial J(r, \theta)}{\partial n} \right) - J(r, \theta) g(r, \theta, \varphi) dS_{R},$$

так как апертурная функция  ${\mathbb Z}_i^{m}(r,\,\theta,\,arphi)$  и функция Грина, а также ее

17

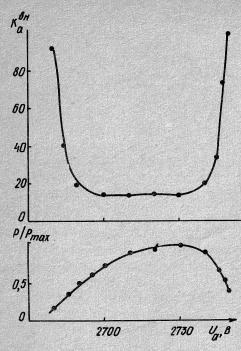


Рис. 2. Зависимость коэффициента автодинного усиления и мощности генерации ГДИ от ускоряющего напряжения

нормальные производные являются неизменными величинами при одних и тех же геометрических размерах объекта, ориентации его относительно вектора Пойтинга падающей волны, поляризации и длины волны электромагнитных колебаний.

Сигнал, отраженный от исследуемого объекта, измерялся радиолокационным методом с помощью высококог эрентного ГДИ автодина /57 мм диапазона с внешним детектированием сигнала.

Как известно, автодинные ГДИ позволяют осуществлять излучение и прием отраженных от исследуемых объектов сигналов в строго обратном направлении по одному волноведущему тракту, связывающему антенну с СВЧ выводом энергии. При этом ГДИ автодин совмещает функции пере-

датчика, усилителя СВЧ сигнала, гетеродина и смесителя. Реакция автодина на принимаемый сигнал проявляется в виде автодинного отклика колебаний его резонансной системы. Причем величина этого отклика может значительно (в несколько сот раз) превышать амплитуду принимаемого сигнала. Выражение для амплитуды автодинного сигнала имеет вил

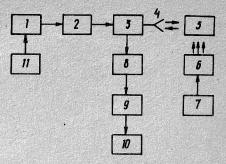
$$\alpha(t) = -\frac{r}{2} K_{q} A_{0} \cos \left(\vartheta - \Psi_{r}\right),$$

При внешнем детектировании автодинный сигнал измеряется на детекторе, включенном в одно из плеч трехдецибельного ответвителя.Отношение и к невозмущенной амплитуде определяется выражением 18

# a/A = - [ N " cos d.

Значение коэффициента автодинного усиления К висит от выбора рабочей точки в пределах зоны генерации ГЛИ. На рис. 2 приведены типичные за-BUCUMOCTU K и мощности генерации Р от ускоряющего напряжения в пределах зоны электронной перестройки ГЛИ авев зоны генерации, что способствует предварительному усилению принимаемых сигналов и увеличению соотношения сигнал шум на выходе автодинного приемопередатчика.

Характеристики биообъек - 0,4 0,4 0,2 Сигнал ГДИ автодина 1 I,мВт через ответвитель и рупорную антенну 4 излучался в направле— 1,0 нии глазного бокала 5 и, отрамансь от него, возвращался по тому же волноводному тракту в ГДИ. Воздействие световым импульсом осуществлялось лампойнеспышкой 6, установленной в непосредственной близости от мула исследуемого объекта, помещен—



тодина. Как видно,  $N_a^{6n}$  суще— Рис.3. Структурная схема установки: 2— согласухщий траноформатор; 7— ственно возрастает вблизи кра— блок управления; 9— усилитель; ев зоны пенерации или ответся 41— олок питания ГДИ

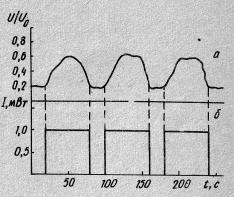


Рис. 4. Изменение автодинного отклика  $\prime\prime$  от воздействия светового стимула  $\prime$ 

ного в центре круглого лучевода на подвижной согласованной нагрузке. Регистрация автодинного отклика производилась полупроводниковым детектором 8, включенным во второе плечо ответвителя 3. Продетектированный сигнал после усиления записывался самописцем 40.

В этом эксперименте объект устанавливался в положение максимального отражения падающей электромагнитной волны. Сетчатка изолированного глазного бокала возбуждалась световым стимулом интенсивности  $I \simeq 1$  мВт с частотой следования 0,05 Гц и длительностью 60 с.

Экспериментальные данные изменения автодинного отклика и от

**I9** 

светового стимула / приведены на рис.4. Отмечается заметное изменение коэффициента отражения при включении и выключении возбуждающего светового стимула (рис. 4,6) и адекватного ему приращения автодинного сигнала (рис. 4,а). Одной из возможных причин приращения отраженного сигнала является взаимодействие электрических и магнитных мультиполей, индушированных в биологическом объекте падающей электромагнитной волной с микрополем, обусловленным проведением сетчаткой нервного импульса. Не исключено также, что падающая волна может эффективно взаимодействовать с генерируемой светом плазмой ионов в фоторецепторных клетках сетчатки.

Более детальные эксперименты, по мнению авторов, позволят установить механизмы возникновения регистрируемого сигнала и расширить область применения методики микролокации на более широкий класс объектов и процессов в биосистемах.

Ягодин С.В., Ноздрачев А.Д., Пушкарев Ю.П. Проблемы фоторегистрации электрических процессов в нервных сетках // Успехи физиол. наук. – 1986. – 17, № 4. – С. 141-115.
 Термоответы мозга на сенсорную стимуляцию / К.П.Булко, Э.Э.Годик, А.М.Гороач и др. // Докл. АН СССР. – 1984. – 278, № 2. – С. 486-491.

3. Тепловая активность изолированного фрагмента мозга / Е.П.Хиж-няк. А.Г.Брагин. Г.Р.Иваницкий и др. // Биофизика. — 1986.— 31, № 5.— С. 897—901.

4. Шестопалов В.П. Физические основы миллиметровой и субмиллиметровой техники: В 2 т. — Киев: Наук. думка, 1985. — Т. 2. — 256 с.

5. Автодинный эффект в генераторе дифракционного излучения / Г.П. Ермак, А.Б. Леседев, К.А. Лукин и др. // Изв. вузов. Радиофизика. — 1986. — 29, № 8. — С. 957—966.
6. Бызов А.Л. Электрофизические исследования сетчатки. — М.: Нау—

ка, 1966. - 90 с.

7. Шестопалов В.П. Сумматорные уравнения в современной теории дифракции. - Киев: Наук. думка, 1983. - 252 с.

УЖ 538.569:57

С.В.Шияновский

СПИНОВЫЙ МЕХАНИЗМ ВЛИЯНИЯ МИЛЛИМЕТРОВОГО NBJIYYEHIM HA BNOJIOTYYECKIE HPOLECCH

За последние 20 лет накоплен обширный экспериментальный материал о влиянии низкоинтенсивного излучения миллиметрового диапазона на жизнедеятельность различных организмов 27-77. Однако сложность изучаемых объектов и противоречивость экспериментальных данных не позволили к настоящему времени выяснить первичный механизм воздействия миллиметрового излучения (ММИ) на молекулярном уровне, не говоря уже о последующей цепи реакций в высокоорганизованных организмах.

Анализ имеющихся экспериментальных результатов показывает /87, что все наблюдаемые эффекты влияния ММИ на различные биологические объекты можно разделить на две группы. Первая зависит главным образом от интенсивности поглощенного излучения и не имеет специфических частотных особенностей. Вторая группа эффектов отличается прежде всего резонансной зависимостью от частоты излучения. Отношение ширины резонанса к частоте составляет обычно  $40^{-2} - 40^{-4}$ , причем для резонансных эффектов характерна пороговая зависимость от интенсивности излучения и длительности облучения.

Наблюдение резонансных эффектов на биологических объектах всех уровней, вплоть до одноклеточных, позволяет сделать предположение о существовании универсального резонансного механизма воздействия ММИ на молекулярном уровне. В работе /9/ была высказана гипотеза, что этот механизм может быть обусловлен взаимолействием магнитной составляющей ММИ со спиновой подсистемой промежуточных продуктов биохимических реакций. Подтверждают эту гипотезу эксперименты по влиянию резонансного поглощения СВЧ поля на физические процесси и химические реакции /10-127. Недавно Кайлманом /137 была сделана попытка численного описания экспериментальных результатов /14-167 в рамках спинового механизма. Автору удалось достичь количественного согласия с экспериментальными данными, однако он пренебрег процессами релаксации между подуровнями. Поэтому справедливость результатов работы /13/ и вообще эффективность воздействия ММИ через спиновую подсистему /97 определяются тем, насколько существенной оказывается релаксация между спиновыми подуровнями.

Цель настоящей работы - анализ кинетики заселенности триплетных подуровней и определение скорости релаксации между подуровнями, обусловленной вращением молекул.

1. Кинетика заселенности спиновых подуровней под облучением. Влияние постоянного и переменного магнитных полей на спиновую подсистему обычно рассматривается в рамках двух механизмов: радикального и триплетного. Радикальный связан с изменением полного спина системы, состоящей из двух слабосвязанных частей с ненулевыми спинами. Триплетный механизм обусловлен изменением заселенности подуровней мультиплета (обычно триплета).

Следует отметить, что возможность синглет-триплетных переходов в радикальных парах (РП) обусловлена тем, что радикалы значительную часть времени существования РП находятся на большом расстоянии друг от друга, так что энергии синглетного и триплетного состояний оказываются одинаковыми. Поэтому наблюдается резонанс на нулевой частоте, обеспечивающий эффективное влияние постоянного магнитного поля. В то же время отсутствие в дублет-дублетных РП энергетических уровней с зазором, соответствующим ММИ, не позволяет рассчитывать на резонансное взаимодействие ММИ с РП.

Триплетный механизм может реализоваться, поскольку на промежуточных стадиях биохимических процессов достаточно часто образуются молекулы и комплексы со спином  $S \gtrsim 4$ . В дальнейшем будем рассматривать триплетное состояние, хотя полученные результаты справедливы и для состояний с более высокой мультиплетностью. Триплетное состояние имеет три подуровня, энергии которых слегка различаются вследствие электрон-электронного взаимодействия так называемое расшепление в нулевом поле (РНП). Между подуровнями разрешены магнитодинольные переходы. Частоты переходов между подуровнями сильно зависят от электронной структури молекул. Для большинства органических молекул, как и для пуринов и пиримилинов, частоты переходов лежат в диапазоне 1-10 ГТц /177. Для производных нитрена эти частоты достигают 50 ГТц, а для металло-протеиновых комплексов (типа миоглобина) - 300 Пти / 87. Из приведенных значений частот видно, что ММИ может резонансно возбуждать переходы между подуровнями и менять их заселенность.

При комнатной температуре равновесная заселенность подуровней практически одинакова, поскольку разность энергий подуровней не превышает 10-2 Тл. Поэтому влияние ММИ в равновесных условиях пренебрежимо мало. Однако при образовании триплетных молекул оптическими и химическими способами скорость заселения подуровней существенно различна. Если в триплетном состоянии происходит разветвление цепей реакций (а именно такие состояния представляют для нас интерес), то вероятности ухода в определенный канал с различных подуровней также будут различаться. Поэтому в условиях постоянной накачки и гибели триплетов ММИ может изменять заселенность подуровней и распределение между каналами.

Рассмотрим кинетику заселенности подуровней с помощью уравнений Блоха (рисунок). Такое описание справедливо, если время поперечной релаксации Т<sub>2</sub> мало по сравнению с характерными временами изменения заселенности:

$$\dot{n}_{i} = B_{i} - (k_{i} + r_{i}) n_{i} + \sum_{i \neq j} (W_{ji} n_{i} - W_{ij} n_{i}),$$
 (1)

где  $\beta_i$  и  $k_i$  — соответственно скорости заселения и распада подуровня i;  $r_i$  — скорость химической реакции на подуровне i

Скорость переходов между подуровиями  $W_{ij} = P_{ij} + M_{ij}$  определяется спин-решеточной релаксацией  $P_{ij}$  и магнитодипольными переходами  $M_{ij}$ , стимулированными ММИ.

Рассмотрим случай, когда частота ММИ / близка к частоте /<sub>12</sub> перехода между уровнями I и 2. Скорость радиационного перехода /<sub>12</sub> описывается формулой

$$M_{12} = \frac{\pi}{24} \int_{0}^{2} M_{0}^{2} H_{0}^{2} f(V - V_{12}),$$
 (2)

где  $f = 4.912 \cdot 10^{41} \text{ m}^2 \cdot \text{B}^{-1} \text{ x}$   $c^{-2}$  — гиромагнитное отношение электронов;  $H_0$  — амплитуда магнитного поля  $H=H_0 \cos 2\pi V t$ ; f — форма резонансной линии поглощения f(t) dV = t.

В работе  $\boxed{13}$  в предположении малости спин-решеточной релаксации проанализировано стационарное решение системы (1) и найдена полная скорость реакции  $R = \sum_i n_i r_i$ .

оочочочсисисхема кинетических процессов на триплетных подуровнях

В отсутствие ММИ ско-

$$R_0 = \frac{B_7}{1 + k_7/r_7} + \frac{B_2}{1 + k_2/r_2} + \frac{B_3}{1 + k_3/r_3}$$
 (3)

В условиях насыщающего ММИ

$$R_{S} = \frac{B_{1} + B_{2}}{1 + (k_{1} + k_{2})/(r_{2} + r_{2})} + \frac{B_{3}}{1 + k_{3}/r_{3}}.$$
 (4)

Таким образом, существует критическая интенсивность ММИ ( $I_c$ ), такая, что при  $I \ll I_c$  эффект отсутствует, а при  $I \gg I_c$  он не зависит от интенсивности. Величина  $I_c$  может быть найдена из условия  $M_{12} = \mathcal{T}_{12}^{-7}$ , где  $\mathcal{T}_{12} = (k_1 + r_2)^{-7} + (k_2 + r_2)^{-7}$  — некоторое эффективное время жизни триплета. Используя формулу (2) и выражение  $I = c \mu_0 + h_0^2 / 2$ , получаем в резонансе лоренцевой кривой с полушириной I

$$I_{c}[B_{T}/M^{2}]=6,217\cdot 10^{-9}\Delta V[I_{4}]/\tau_{2}[o].$$
 (5)

Формула (5) использовалась для анализа экспериментальных ре-

23

зультатов работ  $\sqrt{15}$ ,  $\sqrt{167}$ . Измеренное 10 %—ное изменение скорости роста дрожжей объяснить нетрудно, так как величины  $B_i$ ,  $E_i$  и  $E_i$  могут различаться на порядок для разных подуровней. Сложнее объяснить наблюдаемое значение интенсивности  $I_c = 10$  Вт/м². Кайлман  $\sqrt{137}$  предположил, что ширина резонансной линии поглощения совпадает с шириной максимума частотной зависимости роста дрожжей  $D_i = 8$  МГц. В этом случае из (5) следует, что  $I_{12} = 5 \cdot 10^{-3}$  с. Найденное значение  $I_{12}$  согласуется с возможными значениями  $E_i$  и  $E_i$  однако необходимо отметить, что формулы (3) и (4) получены при условии малости спин-решеточной релаксации  $I_{ij} \ll I_i$  . Легко видеть, что при выполнении обратного неравенства  $I_{ij} \gg I_i$  устанавливается равновесие между подуровнями и ММИ не может дать никакого эффекта.

Таким образом, справедливость результатов работи  $\boxed{A3}$  и вообще эффективность воздействия ММИ через спиновую подсистему  $\boxed{97}$  определяются скоростью спин-решеточной релаксации между подуровнями. Если скорость релаксации выше определенного значения  $P_{max}$ , то спиновый механизм не может описать экспериментальные результати. Величина  $P_{max}$  может быть найдена из формулы (5) при учете того, что  $\Delta V \gg T_{co}^{-1}$ :

$$P_{max} [c^{-1}] = 1.27 \cdot 10^4 \sqrt{I_C} [BT/M^2].$$
 (6)

Поэтому далее проанализированы основные механизмы спин-решеточной релаксации в биологических структурах и рассчитан вклад вращения молекул в релаксацию.

2. Спин-решеточная релаксация между триплетными подуровнями. Для возникновения спин-решеточной релаксации необходимо существование некоторого нестационарного взаимодействия со спиновой подсистемой. В твердых телах наиболее эффективные релаксационные процесси обусловлены колебаниями решетки, в жидкостях – поступатель ным и вращательным движениями молекул.

В биологических структурах трансляционная диффузия, по-видимому, не должна играть существенной роли, так как для больших ма-кромолекул она заторможена и слабо влияет на параметри спиновой подсистемы. Для изучения влияния вращения рассмотрим подробнее особенности триплетных состояний в органических молекулах и металлоорганических комплексах.

Триплетное состояние образуется двумя неспаренными электронами. Основными взаимодействиями, зависящими от спинового состояния электронов, являются зеемановское взаимодействие с внешним постоянным магнитным полем, спин-орбитальное и взаимодействие магнит—24

ных диполей этих электронов. Для органических молекул соответствующая часть гамильтониана записывается в виде 19

$$\mathcal{Z} = g\beta H(\vec{S_1} + \vec{S_2}) + g^2 \beta^2 \left[ \frac{(\vec{S_1} \cdot \vec{S_2})}{R^5} - \frac{3(\vec{S_1}, \vec{R_1})(\vec{S_2}, \vec{R_1})}{R^5} \right], \tag{7}$$

где g - g-фактор;  $\beta$ - магнетон Бора;  $\widehat{\beta}$ - вектор, соединяющий два электрона.

Для получения эффективного спин-гамильтониана необходимо вичислить матричные элементы гамильтониана и выразить их через компоненты полного спина системы

$$\mathcal{R} = g\beta H S + S \hat{D} S, \qquad (8)$$

где  $\hat{J}$  — симметричный тензор, называемый тензором РНП. Его компоненты имеют вид

$$D_{ij} = \frac{1}{2}g_{,\beta} \langle \psi \mid \frac{R^2 \delta_{ij} - 3R_i R_j}{R^5} \mid \psi_o \rangle, \tag{9}$$

где  $\varphi_{a}$  – волновая функция электронов.

Для ионов переходных металлов в металлоорганических комилексах эффективный спин-гамильтониан также описывается формулой (8), но тензор  $\mathcal D$  обусловлен спин-орбитальным взаимодействием:

$$\hat{D}_{ij} = -\xi^2 \sum_{n} \frac{\langle \mathcal{P}_0 \mid \mathcal{L}_i \mid \mathcal{P}_n \rangle \langle \mathcal{P}_n \mid \mathcal{L}_n \mid \mathcal{P}_0 \rangle}{\mathcal{E}_n - \mathcal{E}_0}, \tag{10}$$

где  $\xi$  — константа спин-орбитального взаимодействия;  $\mathcal{E}_n$  и  $\mathcal{V}_n$  — соответственно энергия и волновая функция возбужденного состоя— ния n.

В системе координат, в которой тензор  $\hat{\mathcal{J}}$  диагонален, спин-га-мильтониан имеет вид

$$\mathcal{R}_{e} = g\beta H \cdot \vec{s} - \left[ \mathcal{E}_{x} S_{x}^{2} + \mathcal{E}_{y} S_{y}^{2} + \mathcal{E}_{z} S_{z}^{2} \right]. \tag{M}$$

Главной качественной особенностью спин-гамильтониана (11) является то, что зеемановский член и слагаемое в квадратных скобках имеют различные наборы собственных функций. Для зеемановского слагаемого собственными будут функции  $\mathcal{L}_1$ ,  $\mathcal{L}_2$ ,  $\mathcal{L}_3$ ,  $\mathcal{L}_4$  с фиксированными значениями проекции спина на направление магнитного поля. В случае нулевого магнитного поля собственными функциями и энергиями являются  $\mathcal{L}_4$  и  $\mathcal{E}_4$  ( $\alpha = x, y, z$ ). Индексы x, y, z указывают, что для этих функций равны нулю проекции спина на соответствующие оси системы координат, в которой диагонален тензор  $\mathcal{L}_4$ .

Необходимо отметить, что если собственные функции зеемановского взаимодействия имеют постоянную ориентацию, то собственные функции дипольного взаимодействия электронов связаны с осями молекулы. Поэтому вращение молекулы приводит к нестационарному сдвигу энергетических уровней и интенсивным переходам между ними.

Влияние вращения на спин-решеточную релаксацию широко изучалось в связи с экспериментами по ЭПР и ЯМР [20]. Однако между выполненными исследованиями и рассматриваемым в данной работе случаем имеется существенное различие. Измерения спектров ЭПР и ЯМР проводятся в сильных постоянных магнитных полях, когда зеемановское расшепление, как правило, превышает РНП. В этих условиях взаимодействие магнитных диполей электронов играет роль оператора нестационарного возмущения, зависящего от ориентации молекулы, и скорость перехода между подуровнями связывается пропорциональной квадрату РНП.

В случае, когда постоянное магнитное поле отсутствует, вращение молекулы не приводит к изменению спектра триплета. Причиной спин-решеточной релаксации является неадиабатичность вращения по отношению к переходам между подуровнями. Для расчета воспользуемся нестационарным уравнением Шредингера

$$i\hbar \frac{\partial \Psi}{\partial t} = \mathcal{H}_0 \Psi, \tag{12}$$

где  $\mathcal{H}_0 = -\mathcal{E}_X S_X^2 - \mathcal{E}_Y S_Y^2 - \mathcal{E}_Z S_Z^2$  — спин-гамильтониан в отсутствие магнитного поля. Представим  $\Psi$  в виде разложения по собственным функциям  $\mathcal{T}_1$  в молекулярной системе координат

$$\mathcal{V} = \sum_{j} A_{j} T_{j} \exp\left\{-\frac{i}{\hbar} \mathcal{E}_{j} t\right\}. \tag{13}$$

Поскольку / преобразуются как орты декартовой системы координат

$$\frac{\partial T_{i}}{\partial t} = e_{ijk} \mathcal{R}_{j} T_{k}, \tag{14}$$

где  $\mathcal{Q}_{j}$  – вектор угловой скорости в молекулярной системе координат, то получим систему уравнений для коэффициентов  $\mathcal{A}_{j}$ :

$$\frac{\partial A_{i}}{\partial t} = e_{ijk} \, \mathcal{R}_{j} \, A_{k} \, \exp\left\{-\frac{i}{\hbar} \left(\mathcal{E}_{k} - \mathcal{E}_{i}\right) t\right\}. \tag{15}$$

Рассмотрим переход из состояния  $T_{\chi}$  ( $A_{\chi}(0)=1$ ,  $A_{\chi}(0)=0$ ,  $A_{\chi}(0)=0$ ). В первом порядке теории возмущений

$$A_{y}(t) = \int_{0}^{t} \Omega_{x}(t_{1}) e^{-2\pi i x_{2} t_{1}} dt_{1}. \tag{16}$$

Вероятность нахождения системы в состоянии / в момент времени 26

$$P_{y}(t) = |A_{y}(t)|^{2} = \int_{0}^{t} \int_{0}^{t} dt_{1} dt_{2} \mathcal{Q}_{x}(t_{1}) \mathcal{Q}_{x}(t_{2}) e^{-2\pi i V_{xy}(t_{2} - t_{2})} . \tag{17}$$

В предположении, что коррелятор имеет экспоненциальный закон затухания  $\langle \Omega_z(t,+\Delta t)\Omega_z(t,)\rangle = \langle \Omega_z^2\rangle_e^{-\Delta t/Z}$ , найдем вероятность перекода

$$P_{xy} = \langle \Omega_z^2 \rangle \frac{2\tau_x}{1 + (2\pi v_{xy} \tau_z)^2}. \tag{48}$$

Из закона равнораспределения  $\frac{1}{2} I_Z < \Omega_Z^2 > \frac{1}{2} I_{\delta} \Gamma$  следует, что средняя угловая скорость  $\bar{\Omega}_Z^2 = \sqrt{\langle \Omega_Z^2 \rangle}$  примерно обратно пропорциональна массе молекулы. Для молекулы с массой  $10^5$  а.е.м.  $\bar{\Omega}_Z \approx 10^9$  с $^{-1}$ . Поэтому в качестве приемников ММИ через спиновую подсистему могут выступать только крупные молекулы или комплексы, обладающие большим РНП. По-видимому, единственными возможными кандидатами являются комплексы ионов переходных металлов, в которых скорости спин-решеточной релаксации  $\rho_{ij}$  могут находиться в диапазоне  $10^3 - 10^5$  с $^{-1}$ . Такие комплексы – важная структурная единица целого ряда ферментов, и они активно участвуют в биохимических реакциях.

Поскольку в реальных условиях всегда присутствуют слабые постоянные магнитные поля (например, поле Земли), целе сообразно рассмотреть вклад зеемановского слагаемого в релаксацию. В этом случае для коэффициентов // можно записать

$$\frac{\partial A_{i}}{\partial t} = e_{ijk} \left( \Omega_{j} + g\beta H_{j} \right) A_{k} exp \left\{ -\frac{i}{\hbar} \left( \mathcal{E}_{k} - \mathcal{E}_{i} \right) t \right\}, \tag{19}$$

где  $\#_{j}$  — проекции магнитного поля на молекулярные оси. В изотропной структуре отсутствует корреляция между ориентацией молекулы и ее угловой скоростью, поэтому, проводя аналогичные вычисления, получаем

$$P_{xy} = \frac{2\bar{\Re}_{\chi}^2 \tau_{\chi}}{1 + (2\pi v_{xy} \tau_{\chi})^2} + \frac{2g^2 \beta^2 H^2 \tilde{\tau}_{\chi}}{3[1 + (2\pi v_{xy} \tau_{\chi})^2]}, \quad (20)$$

где  $\tilde{\ell}_{\chi}$  — корреляционное время ориентации молекулярной оси z , причем  $\tilde{\ell}_{\chi}$   $\neq$   $\ell_{\chi}$  (как правило  $\tilde{\ell}_{\chi}$  >  $\ell_{\chi}$  ).

Поскольку  $g/\beta = 35,2$  кГц  $\cdot$  м/А, постоянные магнитные поля, не превышающие 2 кА/м, не вносят существенного вклада в релаксацию.

### Выводы

- 1. Условие малости спин-решеточной релаксации является наиболее принципиальным для реализации спинового механизма воздействия ММИ на биологические объекты.
- 2. Металлоорганические комплексы ионов переходных металлов с большими РНІ, по-видимому, единственные кандидаты на роль спиновых рецепторов ММИ в живых организмах.
- 3. Постоянные магнитные поля, не превышающие 2 кА/м, не оказывают существенного влияния на спин-решеточную релаксацию.

Работа выполнена в рамках программы временного коллектива "Отклик. Автор благодарен В.И.Сугакову и участкикам теоретического семинара ВК "Отклик" за полезные обсуждения полученных резуль-Tatob.

1. Научная сессия Отделения общей физики и астрономии АН СССР// Успехи физ. наук. — 1973. — 110, № 3. — С. 452—469.

2. Tyler F.E. Biological effects on honionizing radiation // Ann. Acad. Sci. N.Y. — 1975. — 247. — Р. 21—25.

3. Нетепловие эффекты миллиметрового излучения / Поп ред. Н. Д. Девяткова. - М.: Ин-т радиотехники и электрон. АН СССР. 1981. -

4. Эффекты нетеплового воздействия миллиметрового излучения на обхологические аспекты / Под ред. Н.Д.Девяткова. — М.: Ин-т радиоэлектрон. АН СССР, 4983. — 230 с.

5. Проблемы экспериментальной и прикладной электромагнитобиоло— тии. — Пущино: ОНТИ ПЕБИ АН СССР, 4983. — 209 с.

6. Применение миллиметрового излучения низкой интенсивности в обиологии и медицине / Под ред. Н.Д. Девяткова. — М.: Ин-т радиоэлектрон. АН СССР, 4985. — 221 с.
7. Биологические эффекты электромагнитных полей. Вопросы их использования и нормирования. — Пущино: ОНТИ НЦБИ АН СССР, 4986. —

8. Девятков Н.Д., Бецкий О.В., Голант М.Б. Научное обоснование возможности использования электромагнитных излучений миллиметрового диапазона малой мощности в медицине и биологии / Биологические эффекты электромагнитных полей. Вопр. их использования и нормирования. - Пущино: ОНТИ НЦБИ АН СССР, 1986. -

C. 75-94.

9. Ситько С.П., Сугаков В.И. О роли спиновых состояний белковых молекул // Докл. АН УССР. Сер. А. — 1984. — № 6. — С. 65—66. 10. Франкевич Е.Л. Спиновые эффекты в элементарных процессах химии внсоких энергий // Химия высоких энергий. — 1980. — 14, № 3. — С. 195—210. 11. Франкевич Е.Л. Магнитно-резонансная модуляция скоростей реакций // Нетепловые эффекты миллиметрового излучения / Под ред. Н.Л. Девяткова. — М., 1981. — С. 204—248. 12. Clarke R.H. Triplet state ODMR spectroscopy. — New York: Willey. 1982. — 158 p.

ley, 1982. - 158 p.

13. Kielmann F. Triplet-selective chemistry : a possible cause of biological microwave sensitivity // Z. Naturforsch. C. -1986. - 41. - P. 795-798.

14. Grundler W., Lielmann F., Fröhlich H. Resonant growth rate response of yeast cells irradiated by weak microwaves //Phys.

Lett. A. - 1977. - 62. - P. 463-466. 45. Grundler W., Kielmann F. Nonthermal effects of millimeter microwaves on yeast growth // Z. Naturforsch. C. - 1978. -33. - P. 15-21.

16. Grundler W., Kielmann F. Sharp resonances in yeast growth ргоче nonthermal sensitivity to microwaves // Phys. Rev. Lett.— 1983. — 51, N 13. — Р. 1214—1216.

17. Мак-Глинн С., Адзуми Т., Киносита М. Молекулярная спектроско— пия триплетного состояния. — М.: Мир, 1972. — 448 с.

18. Ингрэм Д. Электронный парамагнитный резонанс в биологии. — М.: Мир, 1972. — 296 с.

49. Керрингтон А., Мак-Лечлан Э. Магнитный резонанс и его применение в химии. — М.: Мир, 1970. — 447 с.
20. Абрагам А. Ядерный магнетизм. — М.: Изд—во иностр. лит., 1963.—

УЛК 576.345:581.5:575.042

Н.Г. Шестопалова, Л.Н.Головина, А.А.Петрушин, В.К.Корнеенков РЕАКЦИЯ КЛЕТОК РАСТЕНИЙ НА ЛЕЙСТВИЕ РАЛИОВОЛН миллиметрового лиапазона

Научно-технический прогресс сопровождается постоянно увеличивающимся антропогенным влиянием на биосферу. Важным новым экологическим фактором, действующим на растения. животные и микроорганизмы, является электромагнитное излучение радиочастотного диапазона. Изучение механизмов повреждения, репарации и адаптации клеток к изменяющимся условиям внешней среды - одна из важнейших проблем современной биологии. Большая часть сведений о влиянии радиоволн на клетки и организмы получена в опытах с лабораторными животными и микроорганизмами  $\sqrt{1}$ , 2, 5, 7, 87.

Цель настоящей работы - изучение влияния радиоволя миллиметрового (мм) диапазона на комплекс взаимосвязанных показателей.определяющих размножение клеток растений и косвенно отражающих активность их генома - митотические индексы, частоту клеток с хромосомными аберрациями и синтез ДНК.

Основные результаты по интенсивности деления клеток получены нами при изучении модельных и практически важных объектов дука и креписа. Облучению подвергали точки роста первичных корешков семян гибридного лука Золотой шар х Призовой. Учет количества митозов проводили в меристеме корешков при прорастании семян или (значительно реже) луковиц. Корешки были выбраны потому, что их ткани отличаются четкостью строения. Это позволило ряду авторов построить математические модели роста и деления клеток в них.

Интенсивность деления является одним из объективных тестов, карактеризующих чувствительность клеток к различного рода воздействиям. Учет этого показателя дает значительную информацию о карактере и степени изменений, происходищих в организме после облучения. О влиянии радиоволн на процессы размножения клеток растений имеются лишь единичные обобщения /9.10/. Исследования, где он чувствительность меристематических клеток оценивалась с учетом времени воздействия и физиолого-генетического состояния объекта, практически отсутствуют. Представляло интерес проследить кинетику клеточного размножения в течение первых митотических циклов при прорастании семян, сопоставить эти данные с результатом цитогенетического анализа — состоянием хромосом и интенсивностью синтеза ДНК.

Для решения поставленной задачи облучению подвергали сухие семена и точки роста зародышевых первичных корешков лука (Allium сера L.), конских бобов (Vicia faba L.) и скерды (Crepis capillaris).

Для облучения сухих и проросших семян использовалась специальным образом сконструированная установка, позволяющая контролировать распределение, интенсивность, частоту и поляризацию поля, которое непосредственно взаимодействует с объектом. Основным узлом этой установки является конфокальный открытый резонатор, в рабочий объем которого на подвесках, прозрачных для электромагнитных волн, помещались семена. Контроль за параметрами поля осуществлялся разработанным метолом визуализации полей в открытых резонаторах. С помощью этого метода удается непрерывно следить за видимой картиной электромагнитного поля открытого резонатора, свободного от исследуемого объекта и при наличии его. Это позволяет создавать равные условия для облучения. Воздействия на семена и точки роста первичных корешков проводили в четырехмиллиметровом диапазоне длин волн; плотность потока мощности порядка 30 мВт/см. Фиксация опитного и контрольного материала начинали при появлении первых митозов (что было установлено специальными опытами) и проводили несколько раз в течение суток через каждые 3 ч. Для фиксации использовали ацеталкоголь (3:1). На каждую точку фиксации отбирали 8-10 корешков, из которых готовили давленые постоянные и временные препараты, окрашенные реактивом Шиййа по Фельгену, ацетоорсеином или ацетолакмоидом. Изучали 3-7 тыс. клеток каждой формы на один срок фиксации.

Результати показали, что облучение сухих семян в четирехмиллиметровом диапазоне по-разному влияет на гибридний лук и его искодние формы — сорта Золотистий и Харьковский. Радиоволны незначительно изменяют темпы пролиферации исходных сортов, но задерживают на 8-10 ч вступление клеток в первый митоз у гибридной формы.
В последующие сроки, к 20-му часу роста, задержка деления компенсируется его вспышкой и митотический индекс в опыте выше контрольного на 22 %. Угнетающий эффект радиоволн, наиболее четко выражен-

ный у гибрида, имеет обратимый характер.

Аналогичные результати, свидетельствующие об угнетении первых клеточных делений и обратимости изменений, получены и в опыте с гибридным луком Стругановский х Красный круглый. На рис. 1 показано, что в опытном варианте появление первой волны митозов на 6 ч позже по сравнению с контролем, а среднее значение митотической активности ниже почти в два раза.

Известно, что клетки основной меристемы корней проростков отличаются повышенной чувствительностью. Об этом свидетельствуют данные ряда авто-

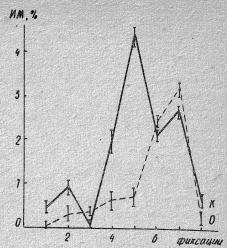


Рис. Т. Изменение митотической активности клеток в течение первых митотических циклов при прорастании семян: 0 - опыт; К - контроль

ров, изучавших воздействие на процессы клеточного размножения гам-ма-радиации и химических веществ 237. Материалы настоящей работы показывают, что радиоволны мм диапазона (в использованном режиме) также являются ингибиторами репродукции клеток, что совпадает с данными о подавлении экспрессии генов под влиянием радиоволн 277.

Падение митотической активности в первые часы и дни после воздействия может быть связано с повреждением хромосом, уменьшением числа клеток, вступающих в митоз, а также торможением прохождения фаз митотического цикла.

Здесь уместно отметить, что задержка митозов была также обнаружена и после действия рентгеновских лучей, УФ радиации и других физических факторов 4.

Можно предположить, что использованный в работе вид излучения особой специфичностью не обладает и снижение митотической активности обусловлено физиологическим состоянием популяции чувствительных делящихся клеток. Обратимый характер изменений связан, по-видимому, с репопуляционным восстановлением.

Хромосомные аберрации в клетках корневой меристемы учитывали в основном анафазным методом. В каждом варианте анализировали по 100-300 ана-телофаз.

В результате анализа цитологических препаратов установлено

Частота клеток с хромосомными аберрациями в меристеме корней гибрила и исходных форм лука $^{*}$  (облучение сухих семян)

Сорт лука	Клетки с хромосом- ными аберрациями, %	Разница по сравнению с контролем Р,
Золотистый Харьковский острый Гибрид Золотистый х х Харьковский острый	45 <b>.</b> 9	99,9 99,8
х Харьковский острий	14,4	98,8

<sup>\*</sup> Показатели контрольных вариантов вычтены.

достоверное по сравнению с контролем повышение частоти клеток с повреждениями хромосом (таблица). Сравнение характера структурных изменений хромосом при воздействии на семена и активно пролиферирующие ткани меристемы показало, что они существенно различаются. В первом случае преобладали аберрации хромосомного типа (рис. 2, см. вклейку); после облучения точек роста хромосомы приобретали свойство "клейкости", наблюдался также кариолизис и пикноз интерфазных ядер.

В проявлении цитогенетического действия радиоволи имеется значительное сходство с ионизирующей радиацией. Установлено [6], что в зародышах семян лука Allium сера более 90 % клеток находится на стадии  $\ell_7$ . Поэтому, когда облучалась естественно синхронизированная в  $\ell_7$  популнция клеток (сухие семена), не било неожиданным появление аберраций именно хромосомного типа, так как их появление соответствовало состоянию хромосом в этот период митотического цикла. Несколько неожиданным било другое — увеличение структурных мутаций под действием данного вида издучения, отличающегося в энергетическом отношении от ионизирующей радиации. Возможно, появление хромосомных аберраций обусловлено опосредованным действием СВЧ поля и высокой чувствительностью делящихся клеток лука исследуемых сортов. На сегодняшний день механизмы мутагенеза не выяснены.

При изучении пролиферативных процессов особий интерес представляет синтез ДНК. Для оценки этого показателя мы применили метод авторадиографии, который дает возможность судить о периодичности внутриклеточных процессов, наблюдать приуроченность процессов биосинтеза к определенным структурам клетки и получить представление о степени их активности.

В качестве радиоактивной метки использовали Н<sup>3</sup>-тимидин, который, как известно, является единственным из четырех нуклеотидов, 32 участвующих в образовании полинуклеотидной структури ДНК. Использование этого специфического предшественника ДНК позволяет избирательно метить клетки в процессе их редупликации.

Объектами исследования были корешки проростков из семян лука. Облучению подвергали точки роста корешков, достигших длины 2-2,5 мм. Исследовали клетки корневой меристемы в течение первых часов и дней роста проростков. Проростки инкубировали в водном растворе изотопа (концентрация 2 мкКи/мл, удельная активность И.,9 Ки/ммоль). На радиоавтографах учитывали индекс метки — ИМ (процент меченых ядер) и интенсивность метки (количество зерен восста-

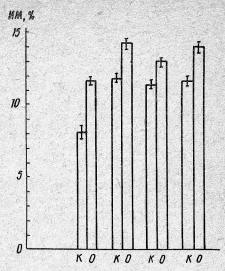


Рис.3. Процент меченых ядер в клетках корневой меристемы про-ростков лука: 0, K - см. рис.1

новленного серебра в эмульсии над ядром). Мечеными считали клетки с числом зерен над ядром не менее 6 - 8.

Ткани зародыша семян представляют собой в значительной степени синхронную популяцию клеток. Однако при прорастании семян промсходит десинхронизация и в первый митоз вступает только часть клеток — около 10 %. Корневая меристема — гетерогенная обновляющияся ткань, клетки которой делятся асинхронно. В любой момент времени в популяции имеются клетки делящиеся и неделящиеся, находящиеся во всех фазах митотического цикла.

При кратковременном контакте проростков с меченым тритием — предшественником ДНК (импульсное мечение) — он включается только в те клетки, которые во время эксперимента находятся в *S*-периоде и в которых происходит редупликация ДНК. Отсутствие метки в некоторых интерфазных ядрах свидетельствует о том, что синтез ДНК или еще не начинался, или уже закончился. Учет меченых ядер позволяет судить о доли клеток популяции, в которых происходит синтез ДНК.

Частота встречаемости и изменение количества меченых Н<sup>3</sup>-тимидином ядер в популяции меристематических клеток на начальных этапах роста опытных и контрольных растений показана на рис. 3. Видно, что в течение всего эксперимента после инкубации с изотопом частота меченых ядер в опыте выше, чем в контроле (12-14 % против 8 – 12 % в необлученных клетках). Уже в период первой фиксации, через 2 ч после контакта с меченым предшественником, индекс метки достигает 12 %, что в 1,5 раза превышает таковой у необлученных объектов.

В связи с тем что увеличение доли меченых ядер наблюдается в тканях опытных растений, деление клеток которых ингибируется и происходит нарушение структуры хромосом, а подавление процессов клеточного размножения в первые сроки после облучения сменяется его восстановлением до значения контроля, повышенный синтез ДНК можно интерпретировать как синтез репаративный, в результате которого негативные изменения носят обратимый характер, обусловленный происходящими в растениях процессами восстановления.

4. Девятков Н.Д. Об информационной сущности нетепловых и некоторых энергетических воздействий электромагнитных колебаний на живые обганизмы // Ж. техн. физики. — 1982. — № 1. — С.39-45. 2. Залюбовская Н.П. К оценке действия микроволи миллиметрового и

субмиллиметрового диапазонов на различные биологические объекты: Автореф. дис. ... канд. биол. наук. - Днепропетровск, 1970. — 30 с. 3. Иванов В.Б. Пролиферация клеток в растениях. — М.: Наука,

1987. - 215 с. 4. Шестопалова Н.Г. Цитофизиологические проявления эффекта гете-

4. местопалова н.г. циторизиологические проявления эффекта тетерозиса в норме и после облучения ЭМИ: Автореф. дис. ... д-ра оиол. наук. — Харьков, 1975. — 53 с.

5. Эффекты нетеплового воздействия миллиметрового излучения на оиологические объекты / Под ред. Н.Д.Девяткова. — М.: Ин-т радиоэлектрон. АН СССР, 1983. — 220 с.

6. Вгилогу А., Ancora G. The DNA content of nuclei in the embrionic root apices of dry seeds of Allium cepa and their radiation response // Caryologia. — 1968. — 21, N 3. — P. 261—269.

7. Kremer F., Koschizizke C., Santol. The non-thermal effect of millimeter wave radiation on the putting of giant chromosomes // 13th Eur. Microwave conf.: Microwave 83. - Nürnberg, 1983. - P. 859-864.

8. Idburdy R.P., Vanek P.F. Microwaves and the cell membrane. II. Temperature, plasma and oxygen mediate microwave-induced membrane permeability in the erythrocyte // Radiat. Res. - | 1985. - 102, N 2. - P. 190-205.

9. Baranski S., Szerski P. Microwave effects on mitosis in vivo and vitro // Genet. pol. - 1970. - 10, N 3-4. - P. 311-314.

10. Cieciura L., Hubner H. Wplyw promieniowahia microfalowego na

mitoze stozka wzrostowego korzonka bodu (vicia faba) // Med. pr. - 1971. - 22, N 2. - P. 211-220.

УЛК 577:621.347.335.3.029.64

Л.Т.Малая, Т.Ю.Шеголева, Л.К.Бахова

# ПРИМЕНЕНИЕ МИЛЛИМЕТРОВОЙ ДИЭЛЕКТРОМЕТРИИ В БИОЛОГИИ И МЕДИЦИНЕ

Патологические изменения на уровне живого организма обусловлены строго детерминированными нарушениями молекулярных механизмов клетки. Исследование организации и функционирования молекулярных комплексов биологических систем является важнейшим направлением современной биологии, биофизики и теоретической медицини. Цикл работ, проводимый в НИИ терапии Министерства здравоохранения УССР совместно с ИРЭ АН УССР, посвящен разработке метода слежения за работой молекулярных систем живой клетки по данным о перераспределении в этих процессах связанной и свободной воды. Настоящая работа посвящена сопоставлению результатов исследования методом СВЧ диэлектрометрии механизма повреждения аденилациклазной системы (АЦС) эритроцитов вследствие развития сердечно-сосудистой патологии с клиническими признаками. Выделение в этом механизме определяющего звена для данного вида патологии проанализировано на диаграммах воздействия  $\mathcal{E}^*(n)$  на длине волни 7,6 мм. На рис. 1 приведены диаграммы воздействия (а) и восстановлена по ним система связей всего комплекса АЦС (б) по данным СВЧ диэлектрометрии /1/.Система по основным пунктам совпадает с известной из литературы, которая получена традиционными методами биохимии по анализу продуктов разрушения клетки после воздействия биологически активных веществ или их сочетаний. В отличие от традиционных методов СВЧ диэлектрометрия дает информацию в условиях неразрушающего контроля о состоянии клетки, что позволяет сделать ряд существенных дополнений в приведенную схему связей АЦС, например связь Са -канала с ≪-рецептором, пространственное разнесение центров связи гормонов и IITE, на В-рецепторе и т.п. [2].

Патологические повреждения рассмотрены на З -рецепторе по защитной функции ПТЕ, к связыванию гормона адреналина. Проведено прямое сопоставление клинических признаков с данным СВЧ диэлектрометрии по ответу клеточной системы на воздействия, изменяющие функцию в -рецептора. Кроме того, проведена цепь сопоставлений данных от моделей клеточного повреждения in vitro до модели развития ишемической болезни сердца (ИБС) і і vi vv на крысах биохимическими методами.

Методика эксперимента. Биохимические методы. В работе использован принцип, основанный на концепции градиентных систем, с целью установления общей закономерности изменений в физиологическом со-

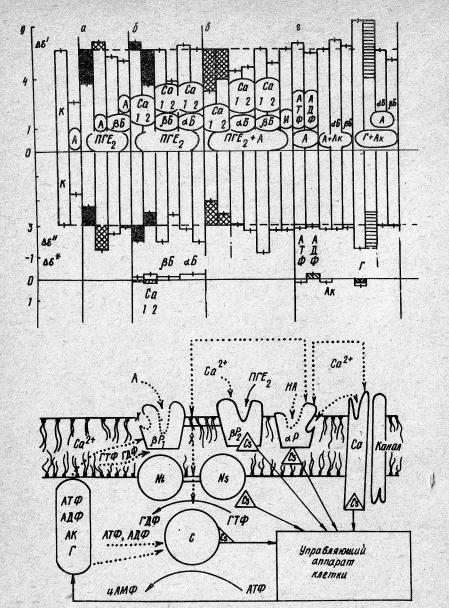


Рис. Г. Диаграмма (а) воздействий  $\mathcal{E}^*$  (л) на компоненти АЦС эритропитов и схема (б) связей АЦС: К — контроль; А — адреналин;  $\mathcal{A}_{5,56}$ — блокаторы  $\mathcal{A}_{-}$ ,  $\mathcal{B}_{-}$ -рецепторов; И — изоптин; АК — аскорбиновая кислота; Г — глутатион;  $\mathcal{C}_{a_{5}}$ ,  $\mathcal{C}_{a_{2}}$  — добавки  $\mathcal{C}_{a_{5}}$ , отличающиеся на порядок;  $\mathcal{C}_{5}$  — элементы цитоскелета;  $\mathcal{B}_{7}$ ,  $\mathcal{B}_{2}$  —  $\mathcal{B}_{-}$  — рецептор;  $\mathcal{C}_{-}$  аденилатциклаза; пунктирные линии — связи, установленные метолом СВЧ диэлектрометрии

стоянии кардиомиоцитов и эритроцитов в условиях развивающегося ишемического повреждения. На модели ишемии миокарда в условиях перегрузки кардиомиоцитов калышем, вызываемой по Fleckanstain и Roпа (1973 г.) экзогенным адреналином, у 170 крыс линии Вистар массой 160-220 г изучались особенности адренергической регуляции на разных уровнях организации. Использованы следующие показатели: сопержание адреналина, норадреналина, дофамина в гипоталамусе, нашточечниках, плазме крови, эритроцитах, сердце, активность энергозависимого процесса обратного нейтронального мембранного транспорта меченого 3н-на при работе со слайсами тканей правого и левого предсердий с использованием специфических ингибиторов нейтронального меморанного транспорта. Одновременно с исследованием адреномедиации изучали состояние липидной и белковой компоненты мембран и показатели, характеризующие состояние внутриклеточного метаболизма глюкозы. Использованы биохимические тесты: мелоновый диальдегид в микросомальной фракции миокарда, содержание гидроперекисей в эритроцитах и плазме, уровень спонтанной и инициированной хемилюминесценции и перекисной резиститности эритроцитов, активность глутатионредуктазы и глутатионпероксидазы, проницаемость для глюкозы и активность глюкозо-6-фосфатдегидрогеназы. Кроме того. об изменении целостности структур кардиомиоцитов и эритроцитов судили по показателям электронномикроскопических и морфометрических исследований, а также растровой сканирующей электронной микроско-INN.

СВЧ диэлектрометрия. Измерялась комплексная диэлектрическая пронипаемость суспензии эритропитов человека на СВЧ диэлектрометре, разработанном в ИРЭ АН УССР [3]. По изменению  $\varepsilon^*$  фиксировалось наличие / отсутствие ответа клеточной системы на направленное воздействие биологически активного вещества на белковые компоненты АЦС [4]. Погрешность измерений составляет 3 % по  $\varepsilon'$ ,  $\varepsilon''$ , погрешность измерений составляет 3 % по  $\varepsilon'$ ,  $\varepsilon''$ , погрешность измерения изменений – 1 %. Объем суспензии эритропитов, заливаемый в кювету, не превышает 0,01 мл. Продолжительность измерения одной пробы 2-3 мин. Суспензию эритропитов приводили к единой концентрации по показанию ФЭК (A = 580 нм). В качестве воздействующих агентов были использованы: адреналин (A), ПТЕ2, обзидан (B = 6 локатор 0), аскорбиновая кислота (AK), глутатион (Г) – АТФ, АДФ, нитроглицерин (НГ),  $\omega$  – блокатор ( $\omega$  – дигидроэрготамин),  $\varepsilon'$ ,  $\varepsilon''$ , глюкоза (Гл), инсулин (И),  $\varepsilon'$ ,  $\varepsilon''$  – усл. ед.

<u>Результати и обсуждение.</u> Клетку можно представить в виде белково-липидного матрикса, покрытого слоем воды. Сочетанием методов СВЧ диэлектрометрии и рентгеноструктурного анализа показано 257,

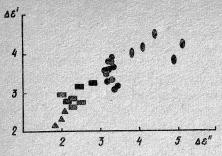


Рис. 2. Отличия в  $\varepsilon'$ ,  $\varepsilon''$  суспензии эритропитов при различных видах сердечно—сосудистой патологии:  $\bullet$  — норма;  $\bullet$  —  $\Gamma$ Б- $\Pi$ ;  $\bullet$  —  $\Gamma$ Б- $\Pi$ ;

что организация гидратного окружения белковых макромолекул определяется его структурой, которая формируется во взаимодействии с растворителем. Изменения структурн сопровождаются изменения инферемента инферемента инферемента инферемента инферемента инферемента изменения инферемента изменением гидратеного окружения взаимодействующих компонент.

4

На данном уровне интерпретации полученные значения комплексной диалектрической проницаемости использованы как параметр, характеризующий только факт изменения функционального состояния меморан. Изменения на молекулярном уровне, возникшие в результате

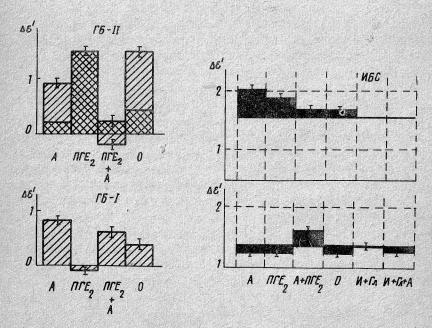


Рис.З. Отличия в клеточном ответе при различных видах сердечно-сосудистой патологии
38

развития сердечно-сосудистой патологии, послужили основой для создания диагностического теста по диэлектрической проницаемости суспензий форменных элементов крови лейкоцитов, эритроцитов. тромбоцитов в СВЧ диапазоне. На рис. 2 показаны отличия в е\* разных стадий гипертонической (IB) и ищемической болезней. Воздействием на молекулярные компоненты механизма, ответственного за проведение сигнала в клетку - в -рецептор, получали разные типы ответов клетки в условиях нормы и патологии (рис. 3). Они свидетельствуют о нарушении функции этого механизма рецепции первого звена всей цепи АЦС. Можно с уверенностью утверждать, что затронута конформация самого белка рецептора, так как не работает пара регуляторов ПГЕ и адреналина.

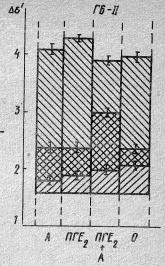


Рис. 4. Индивидуальность клеточного ответа в условиях гипертонической болезни П стадии

На рис. 4 показана индивидуальность болезни <u>П</u> стадии клеточного ответа при воздействии на *в*-рецептор для гипертонической болезни <u>П</u> стадии. Такие индивидуальные оценки можно получить для всех видов патологии и подбора лекарственных воздействий. Эффекти отличаются амилитудой для выделенных видов патологии и по знаку для разных видов патологии при воздействии на один из регулярных центров рецептора — гормональный центр связывания  $\text{IIIE}_2$ . Суммарный эффект защиты  $\text{IIIE}_2$  от воздействия адреналина значительно более вариабелен. Как показывают диаграммы широкого спектра воздействия, это вызвано связью с пругими звеньями цепи.

Биохимическими тестами показано, что в условиях моделирования ишемического повреждения *in vivo* развиваются процесси чрезмерной активации адренергических механизмов, что выражается в повышении содержания А и НА, небольшом снижении ДОФ, активации процесса биосинтеза катехоламинов, ингибировании ключевого фермента метаболизма катехоламинов-моноаминоксидазы. Такие же нарушения зафиксированы в кардиомиоцитах и эритроцитах *in vitro*. Эти данные свидетельствуют о том, что в основе механизма повреждения клетки лежит чрезмерное моноаминергическое обеспечение клетки, которое видно на рис.

2-4 по данным СВЧ диэлектрометрии. В отличие от биохимических методов СВЧ диалектрометрия позволяет локализовать места повреждения системы управления клетки по анализу полных диаграмм воздействия.

Итак, апробация метода СВЧ дизлектрометрии в сопоставлении с экспериментами in vivo и in vitro с применением биохимических методов показала хорошую корреляцию данных, а также возможность получения более обширной информации, высокую смысловую точность измерений. С одной стороны, стала очевидной индивидуальность реакции организма, что чрезвычайно важно в практической медицине; с другой - возможность проведения каждого эксперимента с эритроцитами одной особи или индивидуума за короткое время (время изменения одной пробы составляет ~5 мин) полностью исключает ряд существен ных погрешностей за счет неидентичности клеток, и основная погрешность эксперимента сводится к погрешности СВЧ диэлектрометра. Информативность метода обусловлена его чувствительностью к изменению компонент системы, определяющих структуру и функцию мембранных комплексов. Работа с нативными клетками позволяет сделать оценки обратимости повреждений для данного индивидуума и в случае обратимости направлено подобрать факторы, восстанавливающие систему регуляции. Имеется также прямая возможность слежения и прогнозирования клинических проявлений в течение развития сердечно-сосудистой патологии.

1. Щеголева Т.Ю. СВЧ-диэлектрометрия биополимеров и клеток: Автореф. дис. ... д-ра мед. наук. - М., 1988. - 40 с. 2. Малая Л.Т., Щеголева Т.Ю., Бахова Л.К. Исследование методом

СВЧ-диэлектрометрии параметров нативного аденилетциклазного комплекса при модуляции его активности // Биофизика. — 1988. — 33. вып. 4. — С. 629-633.

3. Пеголева Т.Ю. Измерения электрических параметров тонких образ-

□ Петолева Т. О. Измерения электрических параметров тонких образнов полидисперсных, жидких и твердых диэлектриков с большим поглошением в микроволновом диапазоне // Радиотехника и электрон. — 1981. — 26, № 1. — С. 2328-2333.
 □ Петолева Т. О., Бахова Л. К. Гидратация — параметр, отвечающий на структурно—бункциональные изменения мембран // Биофизика. — 1986. — 31. вып. 2. — С. 358—359.
 □ Петолева Т. О. Гидратное окружение макромолекул биополимеров по данным СВЧ—диэлектрометрии // Там же. — 1984. — 29, вып. 6. — С. 935—939.

УЛК 541.144

€.

А.А.Сериков, Л.Н.Христофоров

ОБ ЭФФЕКТАХ ВОЗДЕЙСТВИЯ микроволнового электроматнитного излучения НА БИОМОЛЕКУЛЯРНЫЕ СИСТЕМЫ

Изучение воздействия электромагнитного излучения (ЭМИ) СВЧ пианазона на биологические объекты к настоящему времени сформировалось в одну из интереснейших областей электромагнитобиологии. Сложившейся здесь ситуации трудно дать однозначную оценку. Действительно, накопленный в последние десятилетия богатый экспериментальный материал (см., например, 🖅 и приведенную там библиографию) свидетельствует о существенных эффектах облучения низкоинтенсивными СВЧ полями биообъектов самого различного уровня организации; установлены и некоторые общие черты такого воздействия. Появились и успешно внедряются в клинику основанные на нем методы лечения различных патологий /2/. В то же время остается неясным, как в принципе объяснить заметное влияние полей, не обеспечивающих котя бы местного нагрева тканей более чем на десятую долю градуса. Неясно также, на каком уровне обеспечиваются рецепция ЭМИ и первичнне "чисто физические" акты его воздействия. Между тем проблема может оказаться гораздо шире, чем то диктуется ее прикладними аспектами. Подтверждаемая все новыми сообщениями универсальность воздействия слабого микроволнового излучения на биосистемы заставляет задуматься над тем, не является ли электромагнитный канал взаимодействия в соответствующем дианазоне частот фундаментальным, внутренне присущим всему живому средством передачи информации и управления.

Большинство работ, ставящих целью теоретическое осмысление эффектов биологического действия слабого ЭМИ, в том числе СВЧ биоэффектов, носят, как правило, феноменологический либо полуфеноменологический характер, используя весьма общие кооперативные, точнее говоря, синергетические модели биосистем. Многие авторы апеллируют, в частности, к известной модели Фредиха /3/. Однако при безусловной полезности синергетических подходов к данной проблеме сами по себе они не могут прояснить природу конкретных носителей "необичных" свойств биосистем, как и дать ответ на вопрос о первичных механизмах биологического действия ЭМИ. Для этих целей требуется, по-видимому, более детальное моделирование, учитывающее количественные характеристики рассматриваемых эффектов. Напомним в этой связи, что используемые в самых различных экспериментах по

воздействию микроволн на биообъекти мощности излучения имеют порядок ~1 мВт/см² (в ряде последних сообщений фигурируют и существенно более низкие значения, но ми пока будем ориентироваться лишь на многократно проверенные данные). Далее, фиксируемые в целом ряде опитов эффекти характеризуются острорезонансной частотной зависимостью с относительной шириной спектра действия ≤ 10<sup>-3</sup> 10<sup>-4</sup>, а иногда и ~10<sup>-5</sup>. Существенно также, что описываемые эксперименты проводились, как правило, при физиологических температурах, определяющих соответствующий уровень термодинамических флуктуаций в исследуемых системах.

Исходя из сказанного сосредоточим внимание именно на рассмотрении первичных механизмов воздействия СВЧ излучения на биосистемы. При этом нас будут интересовать процессы, протекающие в биологических макромолекулах (биополимерах), непосредственно взаимодействующих с ЭМИ. Биополимеры представляют собой нижайший специфически биологический уровень организации материи: макромодекуль нуклеиновых кислот ответственны за хранение и передачу генетической информации, высокоэффективный катализ биохимических реакций, составляющих основу жизнедеятельности организмов, обеспечивается макромолекулами ферментов, биополимеры белков формируют также каналы зарядового транспорта, пронизывающие клеточные мембраны. Характерной особенностью биополимеров является присущее всем им свойство молекулярной, в частности конформационной, изомерии. В соответствии с современными представлениями конформация биомолекул играет важнейшую роль в их функционировании. Так, процессы репликации, синтез белков сопровождаются переходом участков двойной спирали ДНК из "физиологически нормальной" В- в А-конформацию. Определенным конформациям отвечают и биохимически активные состояния ферментов. Переходы между различными конформационными состояниями биомолекул, разделенными барьерами, обычно значительными по сравнению с тепловыми энергиями кТ, происходят, как правило, с использованием энергии гидролиза АТФ - универсального источника энергии в биосистемах. Подчеркнем также, что все сказанное относится и к отдельным фрагментам биологических макромолекул - участкам спирали ДНК, активным ецентрам ферментов и т.п.

В свете отмеченного одним из возможных первичных механизмов воздействия ЭМИ на биосистемы представляется индупрование с его помощью переходов между различными изомерическими состояниями биомолекул (применительно к ферментам эта мысль высказывалась, в частности, Фрёлихом). Поглощаемая энергия излучения в соответствии с таким представлением идет на преодоление (полное или частичное) 42

барьера, разделяющего конформери. Необходимым условием осуществления данного процесса является, разумеется, электрическая активность соответствующих степеней свободы биополимеров. Определенным основанием для предлагаемой трактовки первичных механизмов применительно к экспериментам в микроволновом диапазоне служит информация о спектрах биополимеров. Так, для частот упругих деформаций глобулярных белков известна оценка  $47 \ / \sim 10^{10} \ c^{-1}$ . Проведенные, исходя из структурных данных, расчеты частот колебаний нуклеозидов ( $m \approx 200m_p$ ), входящих в состав двухтяжевых ДНК, при различных конформациях макромолекул приводят к величинам  $15 \ \omega \approx 200m_p \sim 10^{12} \ c^{-1}$ , что согласуется также с данными спектроскопии КР.

Простейшая модель, иллюстрирующая переключение с помощью ЗМИ конформационных состояний молекулы, соответствует задаче о движении частицы в потенциальной яме U(x) с двумя минимумами, разделенными барьером. Переменная сила  $F(t) \equiv \theta E(t)$  (  $\ell$  - заряд части- $\mathbf{H}$  :  $\mathbf{f}(t)$  — напряженность электрической компоненти поля излучения) винуждает колебания частици, первоначально локализованной по одну из сторон барьера, с амплитудой, приближающейся к координате максимума, так что тепловые флуктуации энергии частицы становятся достаточными для непосредственного перехода ее через барьер (за время, в течение которого действует поле). Применимость классического (неквантового) описания колебаний частицы в рассматриваемом частотном диалазоне обеспечивается малостью фактора М/К/ (для частот  $\nu \sim 10^{44}~{\rm c}^{-1}$  это величина порядка 0,01). Однако большая по сравнению с тепловыми энергиями висота барьера ( $e^{/k/} \gg$ ) позволяет избежать непосредственного введения в рассмотрение случайных сил, порождающих тепловые флуктуации движения (не слишком существенные для высокоэнергетических колебаний), ограничив учет многочастичных аспектов задачи включением силы трения. Таким образом. приходим к уравнению движения частицы

$$m(\ddot{x} + 2\dot{x}\dot{x}) + dU(x)/dx = F(t), \tag{1}$$

где // - масса; / - коэффициент затухания, характеризующий потери энергии на трение; точки обозначают дифференцирование по времени.

Как известно, наиболее эффективное возбуждение колебаний осщиллятора с помощью внешней силы происходит в условиях резонанса. Эффект резонанса сохраняется, вообще говоря, и при ангармоничес-ком потенциале (наличие барьера между ямами приводит к необходимости учета отклонений от гармонического приближения, по крайней мере, для колебаний достаточно большой амплитуды). В то же время само понятие резонансной силы (сигнала) не сводится в данном случае

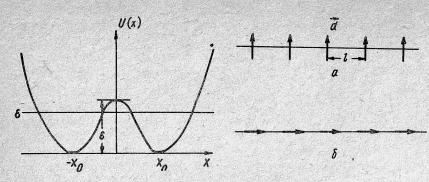


Рис.1. Представление симметричного двухъямного потенциала

Рис. 2. Варианты одномерной це-

к совпадению частот, а требует более общей трактовки. Ниже условимся понимать под резонансной (точнее, квазирезонансной) силу. вызывающую вынужденное движение честицы, совпадающее с ее свободными колебаниями в рассматриваемой потенциальной яме. Применительно к нашему случаю свободные колебания описываются уравнением тё+ +dU(x)/dx = 0. Подставляя частное решение этого уравнения  $x=x_{\varepsilon}(t)$ (  $\varepsilon$  - энергия колебаний) в исходное уравнение (1), приходим к выражению  $F_c(t) = 2 \lambda m \dot{x}_c(t)$  для внешней силы, вынуждающей резонансное ангармоническое движение частицы с амплитудой, соответствующей заданной величине  $\varepsilon$  . Фурье-компонента  $\tilde{F}_{\varepsilon}(\omega) = 2 \lambda m \omega \, \tilde{i}_{\varepsilon}(\omega)$ определяет при этом спектральный состав резонансного сигнала; в частном случае гармонического сигнала она имеет вид  $\theta$ -функции в окрестности собственной частоты осциллятора. Для симметричного двухъямного потенциала  $U(x)=e(1-x^2/x_0^2)^2$  (рис. 1) собственное движение частицы в левой яме с энергией e = e - 0 описывается функцией  $x = (t) = \sqrt{2} x_s ch^{-1} (2\sqrt{e/m} t/x_s)$ . Спектральный состав резонансного сигнала определяется при этом виражением  $f_e(\omega) = -\lambda m^{3/2} (2e)^{-1/2} x$  $x_{a}^{2}$  ach  $\sqrt{a}$  ( $x_{b}$   $\sqrt{a}$  e  $\omega$ ) и имеет (по абсолютной величине) максимум при  $\omega$  $\frac{2\sqrt{3}}{2\sqrt{3}}\sqrt{e/m}$  (что существенно ниже частоты колебаний  $\omega = \frac{2}{\sqrt{2}}\sqrt{2e/m}$ у дна ямы). Мы не останавливаемся здесь на подробном анализе спектра резонансного сигнала, особенностей переходного режима, за время которого ( $\mathfrak{d}^{-7}$ ) частица "набирает" необходимую энергию  $\mathfrak{E}$ , и других подобных вопросах. Приведенные соображения нужны для выбора конкретного подхода к исследованию эффектов резонанса в нелинейных колебаниях. В дальнейшем нас будут в основном интересовать оценки энергетических эффектов, достижимых при возбуждении молекулярных оснилляторов, анализ которых, как правило, можно ограничить рамками гармонического приближения.

Амплитуда свободных колебаний гармонического осциллятора с потенциальной энергией  $U(x) = m\omega_0^2 x^2/2$ , как известно, может бить виражена через его энергию в виде  $x_0 = \sqrt{2\varepsilon/m}\,\omega_0^2$ . Амплитуда винужденных колебаний данного осциллятора при действии на него резонансной силы  $f(t) = \varepsilon E_c \cos \omega_0 t$  представима как

$$X_{p} = eE_{p}/2 \lambda m\omega_{p}. \tag{2}$$

Приравнивая оба эти виражения для  $\kappa_0$ , представляем амплитуду напряженности электрического поля  $\xi_0$  как функцию энергии вынужденных колебаний:  $\xi_0 = 2\sqrt{2m\varepsilon} \ \omega_0 \ \lambda/\varepsilon$ . Это виражение можно также переписать в виде  $\xi_0 = 2\xi_0 q/\pi$ , где  $\xi_0 = \sqrt{2m\varepsilon} \ \omega_0 /2\varepsilon$  — напряженность постоянного поля, необходимая для перемещения частицы в точку  $\kappa_0$  или, что то же самое, для сообщения ей энергии  $\varepsilon$ ;  $q = \lambda/v_0 = 2\pi\lambda/\omega_0$  — логарифмический декремент затухания (обратное значение добротности осщиллятора).

Подставляя в полученные выражения характерные для локальных колебаний биомолекул в микроволновом диапазоне значения

$$w_0 = 10^{12} c^{-1}, \quad m = 200 \, m_p; \quad e = e^-$$
 (3)

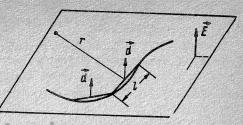
и полагая  $\varepsilon$ = 10k/ (что достаточно много по сравнению с энергией тепловых колебаний и в то же время сравнимо с энергией гидролиза АТФ, обеспечивающей конформационные переходы при функционировании биомолекул), получаем, в частности, значение напряженности постоянного поля  $\xi \approx 5 \cdot 10^6$  В/см, близкое к величинам внутримолекулярных полей. При этом для достижения энергии  $\varepsilon$  с помощью резонансного переменного поля с амплитудой напряженности  $\xi \sim 1$  В/см, что отвечает упомянутой выше мощности источника ЭМИ  $\sim 1$  мВт/см², требуется значение  $q \sim 3 \cdot 10^{-7}$ . Соответствующая добротность не характерна даже для спектральных линий атомов. Таким образом, взаимодействие излучения с отдельно взятыми локальными колебаниями биомолекул не может служить достаточно эффективным первичным механизмом, обеспечивающим экспериментально наблюдаемое биологическое действие СВЧ полей.

Поиски более эффективных механизмов взаимодействия биологических молекул с ЭМИ должны основываться на моделях, явным образом учитывающих их макромолекулярную природу. Ниже рассмотрены некоторые такие модели.

4. Антенний эффект. Как известно, функционирование ряда биологических макромолекул, в частности ферментов, во многом определяется процессами, протекающими в их активных центрах, окруженных биополимерными цепочками, часто свернутыми в глобулы. Исходя из такого представления о структуре биомолекулы, резонно предположить, что взаимодействие с полем излучения приводит к возбуждению дипольно-активных колебаний мономеров, формирующих указанную цепочку, а те, в свою очередь, индуцируют колебания в активном центре, способные привести к переходу его в другое конформационное состояние. Подобный эффект антенны реализуется, как известно, в фотосинтетических системах (фотосинтетическая единица включает в себя светособирающую антенну и связанный с ней фотореакционный центр).

В качестве простейшей модели для иллюстрации антенного эффекта рассмотрим одномерную цепочку мономеров, варианти которой изображены на рис. 2. Предположим, что характеризуемые координатами  $K_n$  локальные дипольно-активные колебания каждого из мономеров имеют одинаковую собственную частоту  $\mathcal{D}$ , затухание  $\mathcal{A}$  и связаны взаимодействием через электрическое поле дипольных моментов  $d_n = e x_n$  (в рассматриваемом случае одномерной структуры можно ограничиться учетом взаимодействия лишь соседних диполей). Пусть, далее, определенный (n = 0) мономер аналогичным образом взаимодействует с выделенным осщиллятором (припишем ему координату n = 0) и параметры n = 0, n = 0, характеризующим колебания в активном центре макромолекулы. Уравления движения для координат n = 0, n = 00 при действии внешнего однородного монохроматического поля приближенно представимы в виде

При значениях (3) и 1 порядка нескольких ангстрем оценка величин  $\bar{\omega}$ ,  $\bar{\omega}$  приводит к значениям в области сотен гигагерц, т.е. также принадлежит микроволновому диапазону. К тому же результату приводит и подстановка значений  $e^{-0.1e}$ ,  $m^{-m}$ , характерных для водородных связей.



тату приводит и подстановка Рис.3. Представление биомолекулярзначений *e~0,1e, m~m<sub>p</sub>*, харак- ной цепочки в виде длинной нити

цепочки которых также типичны для биомолекулярных структур. Таким образом, антенный механизм в принципе можно использовать для рассмотрения взаимодействия биомолекул с СВЧ полями. Полагая для простоты  $\widehat{\mathbf{n}} \approx \widehat{\mathbf{n}}$  и используя полученное выше значение  $\mathbf{f}_{\mathbf{n}} = 5 \times 10^{-6}$  В/см, находим, что требуемому значению  $\mathbf{f}_{\mathbf{n}} \sim 1$  В/см отвечает декремент затухания  $\widehat{\mathbf{q}} \sim 3 \cdot 10^{-3}$ . Эту оценку можно улучшить, рассматривая взаимодействие виделенного колебания с двухмерной либо трехмерной антенной дипольно-активных общилляторов. С учетом особенностей диполь-дипольного взаимодействия оба этих типа антенны позволяют уменьшить требуемые значения  $\widehat{\mathbf{q}}$  примерно на порядок по сравнению с одномерным случаем (конкретные значения размерного фактора зависит от типа упаковки мономеров в антенне).

2. Полеиндуцированное разворачивание биополимера. Возбуждение в отдельных группах (мономерах) биополимера дипольных осциллящий может обусловить влияние ЭМИ на форму макромолекулы. В простейшем варианте биомолекулярную цепочку можно рассматривать как длинную нить с изгибной жесткостью  $\alpha$  и кривизной  $\rho = r^{-2}$  (на рис.3 для простоты молекула "уложена" в плоскость), так что плотность свободной энергии для малых  $\rho$  имеет вид  $\Phi = \Phi_0 + a\rho^2/2$ . Исходя из выражения  $W \sim e^{-4\Phi/T}$  для вероятности флуктуаций, "скручивающих" молекулярную нить, для среднего квадрата расстояния между удаленными друг от друга точками молекулы можно получить выражение  $\ell = 0$ 

$$R^{2} = 2(a/kT)^{2}(LkT/a)-1+e^{-LkT/a}),$$

где 2 — расстояние, отмеренное вдоль нити. Таким образом, переход от линейной формы молекулы ( $R^2\sim L^2$ ) к клубку ( $R^2/L^2\sim L^2$ ) определяется отношением 2kT/a.

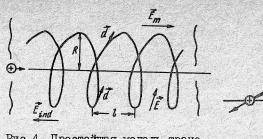
Пусть теперь под действием ЭМИ в мономерах молекулярной цепи возбуждаются дипольно-активные колебания, перпендикулярные плоскости упаковки. Отталкивание соседних диполей приведет при этом к

47

увеличению жесткости нити на величину  $\Delta n = 3e^2 x_0^2/4l^2$ , где  $x_0$  определяется формулой (2). Из условия  $\Delta a \gtrsim L k I$  получаем значение амплитуды напряженности  $\xi > \frac{2m\omega_0^2 q}{\pi e^2} \sqrt{\frac{Nk I l^3}{3}} (N = \frac{L}{4})$  при которой указанное изменение жесткости существенно сказывается на форме макромолекулы. Подставляя численные значения (3) и t = 4 Å,  $\xi_0 = 1$  В/см, t = 100, определяем необходимое для эффекта значение декремента затужания  $t \approx 3.10^{-6}$ .

3. Влияние ЭМИ на зарядовый транспорт. Известно, что эффективность работи биологических транспортных систем во многом обеспечивается именно полимерными свойствами биомолекул. Рассмотрим простейную молель трансмембранного ионного канала, предполагая, что стенки его образованы спиральным биополимером (белком), а движение ионов происхопит под действием мембранной разности потенциалов, определяющей напряженность (постоянного) поля Ет (рис. 4). Разумеется, реальный ионный канал и движение ионов в нем намного сложнее. Предложенная модель позволяет, однако, оценить возможности управления транспортом заряда через мембрану с помощью слабого микроволнового ЭМИ при весьма значительных напряженностях Е... Конкретно выясним условия, при которых индушированные излучением дипольно-активные осцилляции в звеньях биополимерной цепи порождают поле  $\mathcal{E}_{ind}$  , способное "закрыть" канал (здесь уместна аналогия между макромолекулой белка и управляющей сеткой в триоде). Схема расчета эффекта ясна из рис.5 и сводится к сложению полей, действующих на переносимый ион со стороны (характеризующихся разными подвижностями) зарядовых компонент индуцированных диполей. Усреднение по периоду колебаний приводит к отличной от нуля постоянной составляющей напряженности  $\langle f_{ind} \rangle$ , вклад в которую дают все диполи белковой спирали. Опустив несколько громозикие промежуточные выражения, выпишем здесь результат расчета максимального (по длине канала) значения $\langle F_{ini} \rangle_{max} = 3e \kappa_0^2 / 2R^{ij}$  (численные коэффициенты, впрочем, несколько варьируются в зависимости от ориентации относительно оси канала напряженности Е электрической компоненты ЭМИ), где R - радиус канала, а амплитула колебаний 🚜 определяется формулой (2). Приравнивая значения (Епа ) тох и Ет , получаем выраже-HME  $\xi = \sqrt{2\xi_m}/3e^3m\omega_0^2R^2q/\pi$ для амплитуды напряженности СВЧ поля, обеспечивающего "запирание" канала. При использовании значений (3), полагая также R = 3 Å,  $\xi_m = 10^5$  В/см (типичная напряженность поля в биологических мембранах), находим необходимое пля эффекта значение декремента затухания  $q \sim 3.40^{-5}$ .

Поиски эффективных механизмов взаимодействия биомолекул с микроволновым ЭМИ, видимо, могут быть продолжены и на других моделях. 48



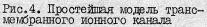
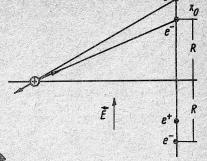


Рис.5. Схема расчета порожденного поля *E*<sub>ind</sub>



Представляется, однако, маловероятным, что при этом удастся сколько-нибудь значительно понизить необходимые для эффекта добротности молекулярных осцилляторов по сравнению с найденными выше значениями ≥ 10³ − 10⁴. Но именно такие добротности характерны для резонансов экспериментально наблюдаемых спектров действия СВЧ полей на биообъекти. Это относится, в частности, к экспериментам на дрожжах 万7. В едва ли не единственном сообщении 287 об опытах на молекулярном объекте (Нв) названа величина, близкая к 10⁵. Столь слабая релаксация колебаний при физиологических температурах в области частот, соответствующей достаточно сильному поглощению срещи, требует тем не менее специального объяснения. Выскажем здесь определенные соображения, наиболее уместные, по-видимому, применительно к колебаниям в активных центрах глобулярных белков.

Полученные в последние годы различными методами данные по динамике биомолекул свидетельствуют о растущей от центра глобулы к периферии подвижности молекулярных групп. Исходя из этого факта можно предположить, что периферийные субъединицы с их расторможенными поступательными степенями свободы (о чем и свидетельствуют высокие подвижности) испытывают непосредственное влияние растворителя, в частности воды, обладающего достаточно высокой плотностью состояний в интересующей нас области частот (обеспечивающей интенсивное поглощение), поэтому колебания, индушированные в них СВЧ полями, должны характеризоваться значительным затуханием. Напротив, затухание осцилляций в плотноупакованных (низкие подвижности) молекулярных группах, близких к центру глобулы, обязано лишь их взачимодействию с себе подобным окружением, не обладающим высокой плотностью состояний в микроволновом диапазоне. Следствием такой "архитектуры" биомолекулярной глобулы должно явиться установление в

ней иерархии возрастающих от периферии к центру добротностей СВЧ колебаний. По отношению к центральным участкам можно по существу говорить лишь об опосредованном затухании осцилляций, слабую эффективность которого иллюстрирует простейший пример.

Рассмотрим систему двух слабо связанных резонансных по отношению друг к другу осцилляторов, один из которых характеризуется заданным затуханием, играя по отношению ко второму роль термостата. Уравнения пвижения такой системы имеют вид

$$\ddot{x}_1 + \Omega^2 x_1 + 2\lambda_1 \dot{x}_1 + \tilde{\omega}^2 x_2 = \dots, \quad \ddot{x}_2 + \Omega^2 x_2 + \tilde{\omega}^2 x_7 = \dots$$

Правые части могут включать произвольные внешние воздействия; в секулярном же уравнении учет взаимодействия  $\bar{\omega} \ll \mathcal{Q}$  д, приводит к отличной от нуля мнимой добавки к частоте осциллятора х, равной  $Im \Delta \omega = 2\tilde{\lambda} = \tilde{\omega}^4 / 4\Omega^2 \Lambda_1$ . В силу указанного неравенства "индуцированное" затухание, однако, мало:  $\tilde{\lambda}_2^2/\Lambda_1 = \frac{1}{2}\left(\frac{\tilde{\omega}^2}{2\Lambda_1 \mathcal{R}}\right) \ll 1$ .

В заключение отметим также, что при характерных для экспериментов по СВЧ биоэффекту длительных временах экспозиции (минуты и даже часы) энергия, которую необходимо передать от ЭМИ на молекулярные колебания для преодоления барьера между различными конформационными состояниями, реально может оказаться значительно ниже, чем его высота (принятая нами ~ 10 кТ), что в принципе позволило бы ослабить требования к добротности исследуемых резонансов.

Настоящая работа выполнена по программе ВК "Отклик".

Применение миллиметрового излучения низкой интенсивности в биологии и медицине / Под ред. Н.Д.Девяткова. — М.: Ин-т радиотехники и электрон. АН СССР, 1985. — 284 м.
 Физические основн микроволновой (биорезонансной) коррекции физиологического состояния организма человека / Е.А. Андреев, М.У.Белый, В.А.Куценок и др. // Применение миллиметрового излучения низкой интенсивности в биологии и медицине / Под ред. Н.Д.Девяткова. — М., 1985. — С. 58-85.
 Fröhlich H. Bose-condensation of strongly excited longitudinal electric modes // Phys. Lett.A. — 1968. — 26.N 6. — P. 402-403.

electric modes // Phys Lett.A. - 1968. - 26,N 6. - P.402-403.

electric modes // Phys Lett.A. - 1968. - 26, N 6. - F. 402-409.

4. Чернавский Д.С., Хургин Ю.И., Шноль С.Э. Об упругих деформаци-ях белка-фермента // Молекуляр. биология. - 1967. - 1. № 3. - С. 419-424.

5. Волков С.Н., Косевич А.М. О конформационных колебаниях ДНК // Там же. - 1987. - 21, № 3. - С. 797-806.

6. Ландау Л.Д., Лифшиц Е.М. Статистическая физика. - М.: Наука, 1964. - 567 с.

7. Grundler W., Keilmann F. Sharp resonances in yeast growth prove nonthermal sensitivity to microwaves // Phys. Rev. Lett. - 1983. - 51, N 13. - P. 1214-1216.

8. Диленко Н.П., Зеленцов В.И., Ча В.А. О конформационных изменениях опомолекул при взаимодействии с электроматнитным излучени-ем // Эффекти нетеплового воздействия миллиметрового излучения на опологические объекти / Под ред. Н.Д.Девяткова. - М.: Ин-т радиотехники и электрон. АН СССР, 1983. - С. 63-77.

YIK 624.347

К.В.Ворсуль, Т.А.Смирнова, Н.Т.Черпак

ЭПР - СПЕКТРОМЕТР ДИАПАЗОНА ДЛИН ВОЛН 4-1.5 мм

Электронный парамагнитный резонанс (ЭПР) является одним из наиболее эффективных методов исследования вещества. Информативность метода существенно возрастает с укорочением длины волны. В настоящее время метод ЭПР широко применяется во многих областях физики, химии, биологии и медицины.

При изучении мазерных характеристик активных кристаллов обычно использовались резонаторные системы /17. Однако для исследования спектров ЭПР в миллиметровом диапазоне (ММД) удобно использовать режим бегущей волны (БВ) при взаимодействии СВЧ поля с парамагнитным кристаллом [27. Это обусловлено рядом причин /37:

с укорочением длины волны 3 сигнала при прочих равных условиях возрастает чувствительность спектрометра как  $A^{-k}$ , где k > 1:

появляется возможность измерений в широком частотном диапазоне, при этом не требуется настраивать собственную частоту и коэффициент связи резонатора с линией, что важно при работе с низкими температурами;

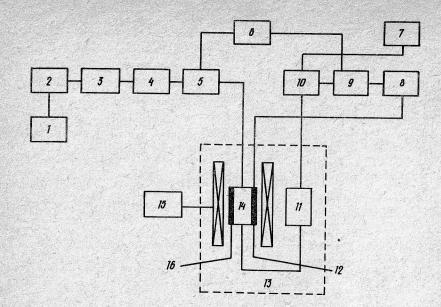
волноводная секция конструктивно проще, чем резонатор; также проще анализ результатов.

На практике режим БВ использовался иля иссленования мазерных характеристик ряда кристаллов в ММД: андалузита с ионами 🕫 3+  $\sqrt{3}$ , 47, вольфромата магния с ионами  $Cr^{3+}/57$  и пр.

В данной работе представлен спектрометр ММД, предназначенным для исследования ЭПР спектров кристаллов в широком диапазоне частот (J = 4-1.5 мм) в магнитных полях до 30к $\bar{J}$ , в интервале температур T = 1.7-10 К.

В спектрометре (рис.1) источником сигнала 2 служит лампа обратной волны ( / = 4-3 мм) или генератор дифракционного излучения (d = 2,6-1,5 мм), обеспечивающий высокую стабильность по частоте  $(\sim 10^{-5})$  и уровню мощности излучения ( $\sim 10$  %) [67. Достаточно высокая чувствительность спектрометра достигалась применением синхронного детектора 9 с модулящией сигнала по мощности широкополосным р-/- п. модулятором и использованием в качестве приемника СВЧ излучения охлажденного кристалла п-Іпэв , расположенного в криостате 13. Оценка чувствительности дает значение 40 14 спин/3.

Магнитное поле напряженностью до 30 кЭ создавалось сверхпроводящим соленоидом с ферромагнитным экраном [7]. Однородность магнитного поля  $\Delta H/H$  при H=25 к $\theta$  на длине 10 мм не хуже  $2\cdot 10^{-4}$ 



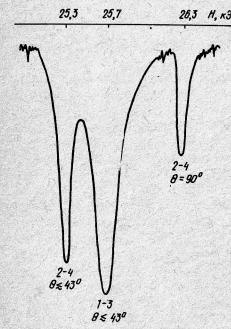


Рис. 2. Запись линий ЭПР в андалузите 52

26.3 Н. к. Рис. 1. Блок-схема спектрометра: 1 - блок питания; 2 - аттенюатор; 4 — волномер; 6 — звуковой генератор; 7 — осниллограф; 8 — самописец; 9 синхронный детектор; 10 — уз-кополосный усилитель; 14 — детектор; 13 — криостат; 14 волноводная секция: 75 блок питания СП магнита: 16 датчик температуры

> (характерный размер исследуемых образцов 3x0,5x0,8 мм<sup>3</sup>). Значение напряженности магнитного поля определялось с помощью датчика Холла 12 с погрешностью не более 2 % (при H = 20 kg.

Спектрометр использовался для измерения значения парамагнитного поглощения и ширины линии ЭПР в андалузите с ионами  $Fe^{3t}$ , а также, будучи дополненным схемой подачи мош-

ности накачки, - для исследования инверсионных жарактеристик этого кристалла /8, 97. Измерение мазерных характеристик вещества волноводным методом проводилось в секции, представляющей прямоугольный волновод пониженного сечения 0,9 х 0,5 мм. Наличие пвух согласующих лейкосапфировых клиньев исключало влияние ретенеративного эффекта на точность измерений и позволяло обеспечить КСВ не куже 1,2.

На рис. 2 приведена запись линий парамагнитного поглощения. соответствующих междублетным переходам 1-3, 2-4 в спин-системе ионов  $Fe^{3+}$  в андалузите на частоте 200 II при T = 4.2 К.

1. Пул Ч. Техника ЭПР-спектроскопии. - М.: Мир, 1970. - 100 с. 2. Siegman A.E. Quantum Electronics / A. Simp. - New York: Colum-

2. Slegman A.E. Quantum Electronics / A.Simp. - New York: Columbia Univ. Press, 1960. - P. 597.

3. Мышенко В.В., Черпак Н.Т. Измерение магнитной восприимчивости кристаллов в волноводе: Тез. докл. IV Всесоюз. конф. (Новосиойрск, 1979). - Новосиойрск: СНИМ, 1979. - С. 176-178.

4. Копылов А.А., Мышенко В.В., Песковацкий С.А., Шульга В.М. Мазерные характеристики андалузита с трехвалентным железом на частотах 75-115 ITц // Укр. физ. журн. - 1985. - 30, № 6. -C. 856-858.

C. 800-808.
5. Черпак Н.Т. Квантовые усилители миллиметрового диапазона длин волн // Изв. вузов. Радиофизика. — 1984. — 27, № 7.—С.815—851.
6. Шестопалов В.П. Дифракционная электроника. — Харьков: Вища шк., 1976. — 232 с.
7. Smirnova Т.А., Stetsenko A.I., Shamfrov Ya.L: A superconducting magnet with shield for fields up to 30 koe // Cryogenics.—

1977. - 17, №4. - Р. 244-246.

8. Ворсуль К.В., Смирнова Т.А., Черпак Н.Т. Андалузит как активное вещество для квантовых усилителей бегущей волны в 3-мм диапазоне/Изв. вузов. Радиофизика. - 1986. - 29, №7. - С. 838-844.

9. Ворсуль К.В., Смирнова Т.А., Черпак Н.Т. Трехуровневая схема в анцалузите для 3-мм диапазона // Письма в ЖТФ. — 1987. — 13, № 2. — С. 78-80.

УЛК 57.043

В.Д.Бобрышев, А.С.Снурников, В.Б.Швед ДИЭЛЕКТРИЧЕСКИЙ РАЗОГРЕВ КРИОКОНСЕРВИРОВАННЫХ КЛЕТОЧНЫХ СУСПЕНЗИЙ B CAHTIMETPOBOM II MULLIUMETPOBOM JUAILASOHAX

Диэлектрический разогрев применительно к задачам криобиологии имеет ряд существенных преимуществ по сравнению с традиционным способом размораживания, основанном на передаче энергии от внешнего теплоносителя. Он позволяет реализовать объемное тепловылеление и широкий диапазон скоростей изменения температуры. При этом управление режимом разогрева осуществляется на уровне регулирования выходной мощности СВЧ генератора, что обеспечивает простоту и безннерционность процесса. Тем не менее в практике криобиологии пиэлектрический разогрев до сих пор широко не применяется, что обусловливается в первую очередь жесткими требованиями к однородности и изотропности объекта, при невыполнении которых возможны значительные локальные перегревы.

В настоящей работе на основе математической модели, описыватищей процесс диэлектрического разогрева в системе, состоящей из леднной матрицы и жиких сферических включений переохлажденной пресной и морской воды, исследована зависимость температуры ло-кального перегрева от частоты электромагнитного поля. Использованная в качестве модели двухфазная гетерогенная система по теплофизическим и электрофизическим характеристикам алекватна реальной системе — замороженной клеточной суспензии. Процесс диэлектрического разогрева принятой модели описывается следующей системой уравнений ////:

$$\Delta\theta = \frac{R^{2} E_{0}^{2} \omega E_{2}^{2} E_{0}}{2 A_{2}} \left[ A1 \cos^{2} Q + B1 + D1 \left( \frac{R_{0}}{R} \right)^{2} \right],$$

$$A1 = \frac{A_{2} (k_{1} - k_{3})}{2 A_{1} + 3 A_{2}},$$

$$A2 = \frac{(A_{2} + 2 A_{1}) k_{3} + 2 k_{1} (A_{7} - 2 A_{2})}{2 A_{1} + 3 A_{2}},$$

$$B1 = \frac{1}{3} \left[ \frac{A_{2} E_{1}^{9}}{A_{1} E_{2}^{9}} k_{2} + A2 - \frac{A_{2} C1}{A_{1} C2} \right],$$

$$D1 = \frac{1}{3} \left[ \frac{E_{1}^{9}}{E_{2}^{9}} k_{2} - \frac{C1}{C2} \right] \left( \frac{A_{2}}{A_{1}} + 2 \right) + k_{7},$$

$$k_{7} = \frac{(E_{2}^{f} - E_{1}^{f})^{2} + (E_{1}^{g} - E_{1}^{g})^{2}}{(E_{1}^{f} + 2 E_{2}^{f})^{2} + (E_{1}^{g} + 2 E_{2}^{g})^{2}},$$

$$k_{8} = \frac{9 \left[ (E_{2}^{f})^{2} + (E_{2}^{g})^{2} + (E_{1}^{g} + 2 E_{2}^{g})^{2} \right]}{(E_{1}^{f} + 2 E_{2}^{f})^{2} + (E_{1}^{g} + 2 E_{2}^{g})^{2}},$$

$$k_{8} = \frac{(E_{2}^{f} - E_{1}^{f}) (E_{1}^{f} + 2 E_{2}^{f})^{2} + (E_{2}^{g} - E_{1}^{g}) (E_{1}^{g} + E_{2}^{g})}{(E_{1}^{f} + 2 E_{2}^{f})^{2} + (E_{2}^{g} + 2 E_{2}^{g})^{2}},$$

где  $A\theta$  — превышение температуры относительно бесконечно удаленной точки;  $E_0$  — напряженность электромагнитного поля;  $\omega$  — циклическая частота ЭМП;  $R_0$  — радмус сферической неоднородности;  $R_0Q$ — элементы сферической системы координат (при этом принято, что вектор  $E_0$  направлен по оси Q = 0, а центр неоднородности находится в точке R = 0); C1,C2 — теплоемкости жидкой и твердой фаз;

 $d_1$ ,  $d_2$  — теплопроводности жидкой и твердой фаз;  $\mathcal{E}_{g}$  — абсолютная диэлектрическая проницаемость;  $\mathcal{E}_{1}'$ ,  $\mathcal{E}_{2}'$  — действительная часть относительной диэлектрической проницаемости жидкой и твердой фаз;  $\mathcal{E}_{1}''$ ,  $\mathcal{E}_{2}''$  — мнимая часть относительной диэлектрической проницаемости жидкой и твердой фаз.

Наибольший практический интерес представляют исследования зависимости локального перегрева от частоты ЭМИ в температурном пиапазоне  $0 \div -40$  °C. где возможно существование пвухфазной системы. Анализ системы уравнений (1) показывает, что в качестве исходного материала используются теплофивические C . A и электрофизические  $\varepsilon'$  ,  $\varepsilon''$  параметры твердой и жидкой фаз. Если первые слабо зависят от температуры в указанном диапазоне и не зависят от частоты ЭМП, то значения вторых могут изменяться на несколько поряцков.

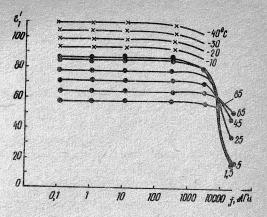


Рис. 1. Частотная зависимость действительной части диэлектрической проницаемости є/ воды при различных температурах: — литературные данные; х аппроксимация

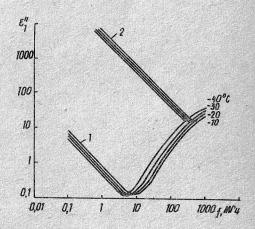


Рис.? Частотная зависимость мнимой часту диэлектрической проницаемости уст воды при различных температурах: Т — для пресной; 2 — для морской воды

Нами обобщены разроз-

данные по электрофизическим характеристикам пресной, морской воды и льда  $\mathbb{Z}$ -47 и полученные данные аппроксимированы в диапазон  $\mathbf{I}$  ÷ 100000 МП для следующего ряда температур: 10,

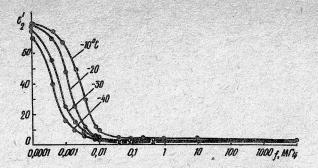


Рис. 3. Частотная зависимость действительной части диэлектрической проницаемости  $\mathcal{E}_{j}'$  льда при различных температурах: •, к - см. рис. 4

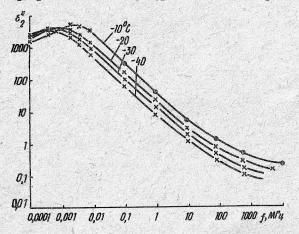


Рис. 4. Частотная зависимость мнимой части диэлектрической проницаемости  $\mathcal{E}_{f}$  льда при различных температурах:  $\bullet$  ,  $\mathsf{x}$  – см. рис.  $\mathsf{A}$ 

На основании этих электрофизических характеристик вычислены значения  $\ell\theta$  в исследуемой модели криоконсервированной клеточной суспензии при ее диэлектрическом нагреве. Расчет проведен для скорости нагрева ледяной матрицы  $\ell$  °C/c, что позволило с помощью известного преобразования

$$\frac{\partial \mathcal{O}}{\partial t} = \frac{\omega \varepsilon' \varepsilon_0 \, tg \, \partial}{c^2} \quad \varepsilon_0^2$$

избежать вичисления в явном виде напряженности электрического поля  $E_0$ . Значения перегрева  $A\theta$  для включений морской и пресной воды в частотном диапазоне 1\*1000 МГц при разных температурах пред-

ставлены на рис.5. Полученные результаты подтверждают наличие значительных локальных перегревов при диэлектрическом разогреве криобиологических систем электромагнитным полем сантиметрового диапазона. Существенное различие значений 18 для пресной и морской воды на частотах до 200 МГц обусловлено доминирующим вкладом в  $\mathcal{E}''$ потерь, возникающих в морской воде за счет високой ионной проводимости. Но уже на часто-TAX BUUE 1000 MTu atum pasaurunем можно пренебречь.

Из анализа системы уравнений (А) и карактера изменения электрофизических параметров на частотах выше 1000 МГц следует, что вплоть до частот, при которых выполняется условие  $\omega \tau_D = A$  (  $\tau_D$  — дебаевское время диэлектрической релаксации для воды), значения локального перегрева будут монотонно возрастать и достигнут максымума на частоте, когда выполняется равенство (1). Поскольку  $\tau_D$ 

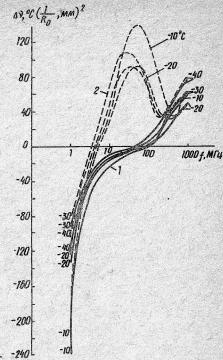


Рис. 5. Температурный перепад в сферической неоднородности относительно окружающей матрицы при диэлектрическом разогреве со скоростью 1°С/с на разных частотах: 1,2 — см. рис. 2

монотонно увеличивается при снижении температуры и составляет 1,87·10<sup>-11</sup> с при 0 °C (2,75·10<sup>-11</sup> с при -10 °C) [47, то максимального значения локальный перегрев достигнет на частоте до 50 ІТц. Дальнейшее повышение частоты приводит к уменьшению значений локального перегрева. При выполнении условия 67 > 1 электрофизические характеристики воды приближаются к таковым для льда. В предельном случае система уравнений (1) имеет вид

$$\Delta\theta = R^2 \frac{c_2}{2d_2} \frac{\partial\theta}{\partial t} \left[ \frac{1}{3} \left( \frac{R_0}{R} \right)^2 \left( \frac{d_2}{d_1} + 2 \right) \left( 1 - \frac{C_1}{C_2^2} \right) - \frac{1}{3} \left( \frac{d_2}{d_1} - \frac{d_2 \ell_1}{d_1 \ell_2^2} \right) \right]_0^2$$

Таким образом, с ростом частоты выше 50 ITц значения локального перегрева асимптотически приближаются к уровню, определяемому теплофизическими характеристиками воды и льда и составляющему ~1 °C при скорости нагрева ледяной матрилы 1 °C/c.

Полученный результат мог бы быть весьма ценным в криобиологии, поскольку локальный перегрев в несколько градусов является вполне приемлемым. Однако практическая полезность этого результата снижается, так как в данном частотном диапазоне глубина проникновения электромагнитного поля составляет доли миллиметра.

Нетушил А.В. Высокочастотный нагрев диэлектриков и полупроводников. - М.; Л.: Госэнергоиздат, 1959. - 500 с.
 Никольский В.В. Электродинамика и распространение волн. - М.: Наука, 1973. - 460 с.
 Хиппель А.Р. Диэлектрики и их применение. - М.: Высш. шк., 1959. - 400 с.
 Вода и водные растворы при температурах ниже 0 °C / Под ред. Ф.Франкса. - Киев: Наук. думка, 1985. - 300 с.

YIK 530.4:534.2:577.3

## Ю.Б. Гайпилей

- о взаимодействии вибронно возвужденных биополимеров
- C BHEITHUMU SJEKTPOMATHUTHIMU HOJISMU

1. Введение. Проблема транспорта и хранения энергии в биологических системах - онна из центральных в биоэнергетике. Как известно, основным источником энергии, обеспечивающим функционирование организма, является реакция гидролиза аденозинтрифосфата (АТФ), в результате которой виделяется энергия около 0,43 эВ. Вероятно. знергия гипролиза запасается в виде колебательного возбуждения АТФ, которая за время, малое по сравнению со временем жизни колебания (~ 10 с), передается на белковые молекулы, где, как предложил в работе [17 А.С. Давидов, возбуждаются колебания Амид 1 (колебания связи С-О с частотой 1650 см-1) пептидной группы нисо. Эту энергию можно использовать в биологических процессах лишь в том случае, если она будет запасена в виде компактного образования, чтобы в нужном месте и в определенный момент времени возбулить ту или иную связь и инициировать, например, требуемую химическую реакцию. А.С. Давидов показал /17, что знергия может эффективно запасаться и трансформироваться в виде солитонов: нелинейных волновых пакетов, обязанных своим происхождением взаимодействию внутримолекулярных возбужцений с решеточными фононами [2]. Интересно, что приблизительно в то же время, когда была высказана илея о сиологической значимости солитонов, Мак Клар /37, исходя из термодинамических соображений, пришел к выводу, что энергию колебательного возбуждения следует запасать в виде эксимера: связанного состояния возбужденной молекуль. Никакими расчетами, правда. Мак Клэр не подтвердил свои соображения.

В последние годы иден о солитоне как о перечосчике энергии в биосистемах приобрела популярность (см., например, монографию /4/). Были исследованы вопросы об устойчивости этих образований при действии на них внешних сил /27, проанализирована их чувствительность к изменениям температуры [4-67. Влияние внешних электромагнитных полей на самосогласованные состояния внутримолекулярных возбуждений с акустическими колебаниями молекулярных систем изучалось в работах /7. 87.

Были выполнены эксперименты по комбинационному рассеянию света кристаллическими ацетанилидами /97, содержащими, как и белковые молекулы, пентидные группы. В этих экспериментах было показано существование автолокализованных солитоноподобных состояний. образованных за счет взаимодействия внутримолекулярных возбуждений с либрационными колебаниями или же с низкочастотными внутримолекулярными колебаниями (ВМК). Автолокализованные состояния имеют энергию связи 10 см-1 (давидовские солитоны, судя по оценкам /87, имеют энергию связи ~ 1 см 1, поэтому на них особо сильное влияние должно оказывать электромагнитное излучение миллиметрового диапазона. Если предположить, что энергия в биосистемах занасается в виде автолокализованных состояний, то ясна актуальность изучения воздействия электромагнитного излучения на них.

В настоящей работе проанализированы равновесные конфигурации пентилных групп в «-спиральных биополимерах. Показана возможность управления ими внешним электрическим полем. Изучены самосотласованные состояния внутримолекулярных возбуждений с ориентационными колебаниями пептидных групп. Проанализированы особенности взаимодействия электромагнитных волн с данными возбужденными состояниями

2. Равновесная конфигурация пептидных групп в спиральных мо-**«-**Спиральные белковые молекулы обладают хорошо выраженной квазипериодической структурой. Очень ярко эта тенденция просматривается в расположении пептидных групп молекул, положение которых, как известно /10/, можно показать формулой

$$R_{n\alpha} = R \left[ i \cos \frac{2\pi}{\rho} (3n+\alpha) + j \sin \frac{2\pi}{\rho} (3n+\alpha) \right] + \frac{\alpha}{\rho} (3n+\alpha) k^{-}, \tag{1}$$

где 7, 7, k - единичные орты;  $\alpha = 1$ , 2, 3 - номер цепочки водородно связанных пептидных групп;  $n = 0, \pm 1, \pm 2, \ldots$  - номер пептидных групп в цепочке; R - радмус спирали;  $\alpha$  - ее шаг, P - число пептидных групп, приходящихся на один виток спирали. В реально

существующих белковых молекулах  $\rho = 3,6$ . Такое значение  $\rho$  отражает тот факт, что цепочки водородно связанных пептидных групп.в свою очередь, образуют спирали. В данной работе ≪-спиральная молекула моделируется системой из трех параллельных цепочек, оси которох проходят через вершини правильного треугольника, т.е. считаем, что в ( $\Lambda$ )  $\rho = 3$ .

Пептидные группы характеризуются довольно большим стационарным дипольным можентом ( $d_q \simeq 3,5 \mathcal{D}$  [117); диполь-дипольное взаимодействие пептидных групп - один из главных факторов, определяющих ориентацию пептидных групп в молекуле. Ориентирующее действие водородных связей будем моделировать введением электрического поля напряженности  $F_{\mu}$  , направленного вдоль оси молекул. Кроме того, поскольку белковие молекулы часто входят в состав мембран, между внутренней и внешней поверхностями которых имеется разность потенциалов, будем считать, что помимо  $\mathcal{E}_{\mu}$  вдоль оси молекулы приложено внешнее электрическое поле Е. Проанализируем, как меняются равновесные ориентации пептидных групп в молекуле с изменением Е.

Равнове сная конфигурация определяется путем минимизации функции

$$\mathcal{E} = -\sum_{n\alpha} \left( \mathcal{E} + \mathcal{E}_{n} \right) d_{n\alpha}^{2} + \frac{1}{2} \sum_{n\alpha', n'\alpha'} \left| R_{n\alpha} - R_{n'\alpha'} \right|^{-3} \times \left[ \left( d_{n\alpha} d_{n'\alpha'} \right) - 3 \left( d_{n\alpha} \frac{R_{n\alpha} - R_{n'\alpha'}}{|R_{n\alpha} - R_{n'\alpha'}|} \right) \left( d_{n'\alpha'} \frac{R_{n\alpha} - R_{n'\alpha'}}{|R_{n\alpha} - R_{n'\alpha'}|} \right) \right], \tag{2}$$

где  $d_{n\alpha} = d_g(\sin\theta_{n\alpha}\cos\theta_{n\alpha}, \sin\theta_{n\alpha}\sin\theta_{n\alpha}\cos\theta_{n\alpha})$  — дипольный момент пептилной группы, ориентация которого определяется углами вы и чис.

Из трансляционной инвариантности системы вдоль оси биополимера Z следует, что минимум функции (1) следует искать в подпространстве  $\theta_{nd} = \theta_d$ ,  $\phi_{nd} = \phi_d$ .

Анализ (1) для этого случая показывает, что конфигурации, при которых достигается минимум  $\varepsilon$ , определяются соотношениями

$$Q = \theta, \qquad Q = \frac{2\pi}{3}, \qquad Q = -\frac{2\pi}{3}, \qquad Q_3 = 0,$$
 (3)

 $\varphi_2 = -\frac{x}{3}$ ,  $\varphi_2 = \frac{x}{5}$ ,  $\varphi_3 = x$ .

При этом  $\cos\theta = \frac{2}{3} \frac{(F + E_{h}) d_{g}}{3(3J - 4J')}$ , когда  $(F + E_{h}) d_{g} < 6$  (0.75J - J') и 0.75J > J', где  $J' = d_{g}^{2} \setminus R_{n\alpha} - R_{n+1,\alpha} \setminus {}^{3}$ ;  $J = d_{g}^{2} \setminus R_{n_{1}} - R_{n_{2}} \setminus {}^{3}$ . Если же 0.75J < J', а также 0.75J > J', но  $(F + E_{h}) d_{g} > 6(0.75J - J')$ , то все пептилные группы параллельны оси 2:

Сравнение конфигураций (3), (4) и (5) с конфигурацией пепти-. ДНЫХ ГРУПП В реальных «-спиральных молекулах показывает что ближе к реальности конфигурация (3),  $(4)^{*}$ .

Интересным свойством рассматриваемой системы является то,что ориентацией пептидных групп можно управлять с помощью внешнего поля. Конфигурация (3), (4) рождается в противоборстве двух тенденций: межцепочечные взаимодействия стремятся оставить дипольные моменти в плоскости х, у, расположив их вдоль биссектрис треугольника; внутрицепочечное взаимодействие, водородные связи и внешнее поле стремятся ориентировать дипольные моменты вдоль оси . .

3. Эксимерные состояния полипептидных цепочек. Как уже упоминалось, Мак Клер 237, обсуждая возможные механизмы мышечного сокращения, высказал гипотезу, что энергия гидролиза АТФ запасается в белковых молекулах в виде эксимеров - связанных состояний возбужденной и невозбужденной молекул и, опираясь на эту гипотезу, попытался объяснить, почему энергия гидролиза АТФ не диссипирует за времена порядка 40-13 с. а может онть эффективно использована для выполнения полезной работы.

Обсудим эту идею в рамках развитой в п.2 модели. Будем предполагать, что выделившаяся в результате гидролиза АТФ энергия приводит к возбуждению одного из ВМК пептидной группы. При переходе пептидной группы в возбужденное состояние ее липольный момент меняется, поэтому меняется и взаимодействие возбужденной пептидной группы с невозбужденными. В результате молекулам может оказаться выгодным изменить свою взаимную ориентацию или расстояние между ними, что и приводит к образованию эксимерного состояния.

Рассмотрим сначала возбужденные состояния системы из трех пептидных групп, образующих элементарную ячейку биополимера. Оператор энергии возбуждения такой системы можно представить в виде суммы

> (6) R= Hvis + Hor + Hint.

Здесь

$$\mathcal{R}_{ij\delta} = \sum_{\alpha=1,2,3} \varepsilon_{f} \mathcal{B}_{\alpha}^{\dagger} \mathcal{B}_{\alpha} + 4 \sum_{\alpha,\alpha'(\alpha+\alpha')} \mathcal{B}_{\alpha}^{\dagger} \mathcal{B}_{\alpha'}$$
 (7)

<sup>\*</sup> Об этом свидетельствуют и оценки J' и J, полученные для параметров реальных молекул  $J'\approx 1.2$  зВ, J=1.9 зВ, и видно, что 3J>4J'. При  $E_H$   $d_g=0.6$  зВ  $\theta\approx 60b$ . Напомним, что рассматривается спираль из пептидных групп с g=3

есть оператор энергии ВМК, где  $\mathcal{B}_{\mathcal{A}}^{+}$  ( $\mathcal{B}_{\mathcal{A}}$ ) - оператор рождения (уничтожения) ВМК пептидной группы  $\alpha$  ( $\alpha=1,2,3$ );  $\varepsilon_{\mathcal{L}}$  – энергия ВМК; 1 - матричный элемент резонансной передачи ВМК между пептилными группами;

$$\mathcal{R}_{gr} = \frac{1}{2} \sum_{cl} I \left( \vartheta \dot{\varphi}_{cl} \right)^{2} + 3J \sin^{2} \theta \sum_{cl} \left( \vartheta \mathcal{Q}_{cl} \right)^{2} - \frac{5J}{16} \sin^{2} \theta \sum_{cl,cl} \left( \vartheta \mathcal{Q}_{cl} - \vartheta \mathcal{Q}_{cl} \right)^{2}$$

$$(8)$$

есть гамильтониан ориентационных колебаний пептидных групп, в которых  $\theta \varphi$  – азимутальное отклонение  $\propto$ -пептидной группы от ее равновесного положения, задаваемого соотношениями (3): /- момент инерции:

$$\mathcal{R}_{int} = \sqrt{6} \times \left[ B_1^{\dagger} B_1 \left( \partial_2^{0} - \partial_3^{0} \right) + B_2^{\dagger} B_2 \left( \partial_3^{0} - \partial_3^{0} \right) + B_2^{\dagger} B_3 \left( \partial_3^{0} - \partial_3^{0} \right) \right]$$

$$+ B_2^{\dagger} B_3 \left( \partial_3^{0} - \partial_3^{0} \right) \right]$$
(9)

есть оператор взаимодействия ВМК с ориентационными колебаниями системы. Здесь

$$X = \frac{1}{4\sqrt{2}} J\left(\frac{d_g}{d_g} - 1\right) \sin^2 \theta; \tag{10}$$

 $\chi = \frac{1}{4\sqrt{2}} J\left(\frac{d_f}{d_g} - 1\right) sin^2 \Theta;$  (10)  $d_f$  — дипольный момент пептидной группы в возбужденном состоянии. Заметим, что кроме азимутальных колебаний имеются еще мериодинальные 00 . Однако взаимодействие с ними ВМК гораздо слабее. Осуществим в (6) - (9) унитарное преобразование

$$A = \begin{pmatrix} -12 & 2^{-1/2} & 3^{-1/2} \\ -(\frac{2}{3})^{1/2} & 0 & 5^{-1/2} \\ 6^{-1/2} & -2^{-1/2} & 3^{-1/2} \end{pmatrix}.$$
(A1)

В результате вместо (7) - (9) получим

$$\mathcal{R}_{vib} = (\mathcal{E}_f + 2L)C_3^+ C_3 + (\mathcal{E}_f - L) \sum_{\alpha=1,2} C_{\alpha}^+ C_{\alpha}, \tag{12}$$

$$\mathcal{H}_{or} = \frac{I}{2} \sum_{N=1,2,3} (\dot{\gamma}_{N})^{2} + \frac{k}{2} \left( \gamma_{1}^{2} + \gamma_{2}^{2} \right) + \frac{\hat{k}}{2} \gamma_{3}^{2} , \qquad (13)$$

k= 2,25 Jain 0; k= 6J sin 0;

+ 
$$(C_2^+C_3^-+3.c.)\eta_1^-\sqrt{2}(C_1^+C_3^-+3.c.)\eta_2^-$$
 (14)

В адиабатическом приближении собственные функции гамильтониана (6), (12)-(14) ищем в виде

$$\Psi = \sum_{M} U_{M} \left( \gamma_{1}, \gamma_{2} \right) C_{M}^{\dagger} \left( 0 \right), \tag{15}$$

где | heta
angle описывает состояние системы без ВМК. При этом собственные энергии могут быть найдены из уравнения

$$(e-e_{f}-\frac{k}{2}\eta^{2}-\chi_{\eta+L})(e-e_{f}-\frac{k}{2}\eta^{2}+\chi_{\eta}+L)(e-e_{f}-\frac{k}{2}\eta^{2}-2L)-$$

$$-2(\varepsilon - \varepsilon_{\perp} - \frac{\epsilon}{2} \eta^{2} + L) \chi^{2} \eta^{2} - 2(\chi \eta)^{3} \cos 3\Psi = 0. \tag{16}$$

Здесь  $\eta = \eta \sin \Psi$  ;  $\eta = \eta \cos \Psi$ . Три корня  $\varepsilon_{M}$  этого уравнения определяют соответственно три потенциальных функции для ориентационных движений рассматриваемой системы пептидних групп. Примечательно при этом появление последнего слагаемого в (46). Оно отражает то обстоятельство, что в возбужденном состоянии у системы возникает анизотропия в плоскости, перпендикулярной оси молекуль, которой не было в основном состоянии.

Между пептидными группами осуществляется интенсивный обмен возбуждениями (об этом свидетельствуют и эксперименты Невской и Чигадзе /12/, показавшие, что матричные элементы резонановой передачи возбуждения между молекулами из разных спиралей водородно связанных пентидных групп довольно велики и составляют  $\approx$  42 см $^{-1}$ ). Поэтому положим, что

$$|A| > X |\eta|. \tag{17}$$

Пля собственных энергий получаем 
$$\varepsilon_1 = \varepsilon_5^2 - 2 + \frac{\xi}{2} \, \eta^2 + X \eta + \frac{2}{3} \, \frac{X^2 \eta^2}{4} \, \cos^2 \frac{3 \, \Psi}{2} \, ,$$

$$E_2 = E_F - L + \frac{k}{2} \eta^2 - K \eta + \frac{2}{3} \frac{\chi^2 \eta^2}{L} sin^2 \frac{8 \psi}{2},$$
 (48)

$$\varepsilon_{3}^{2} = \varepsilon_{4}^{2} + 24 + \frac{k}{2} \eta^{2} - \frac{2}{5} \frac{\chi^{2} \eta^{2}}{4} + \frac{2}{9} \frac{\chi^{3} \eta^{3}}{4^{2}} \cos 3 \Psi.$$

Рассматривая (18) как потенциальные функции для ориентационных движений пептидных групп, видим, что в то время как в состояниях с энергиями  $\varepsilon_{i}$  и  $\varepsilon_{s}$  минимум потенциальных функций достигается при  $\eta_1 = \eta_2 = 0$ , в состоянии с  $\varepsilon = \varepsilon_2$  минимум реализуется при

т.е. в этом (эксимерном) состоянии системе выгодно изменить взаимную ориентацию пептидных групп, что позволяет добиться выиграша в энергии

$$\Delta = \frac{\chi^2}{2k} = \left(\frac{d_g - d_g}{2^2 d_g}\right)^2 J \sin^2 \theta. \tag{20}$$

Обсудим коллективные свойства рассмотренных состояний. С этой целью учтем, что в «-спиральних белковых молекулах помимо передачи возбуждений между соседними пептидными группами из разных цепочек (4) имеется еще резонансная передача возбуждения вдоль пепочек (M). При этом, если |M| < |4| (для Амид 4|M| = 7.8 см<sup>-1</sup>, а  $|\mathcal{L}| = 42,4 \text{ cm}^{-1}$  (727), естественно предположить, что эксимерное состояние создается бистрее, чем возбуждение передается вдоль цепочки. Тогда первому и третьему из состояний (18) в «-спиральном биополимере отвечают экситонные зоны шириной порядка М, а второму эксимерному состоянию – зона на фактор  $\exp\left(-\chi^2/2k^2\,\eta_A^2\right)$  меньше  $(7^2 = \hbar/2\sqrt{lk} -$ квадрат амплитуды нулевых либраций пептидной группы). Ясно, что если деформация при образовании эксимерного состояния велика по сравнению с амплитудой нулевых колебаний, то эксимерное состояние практически не будет иметь дисперсии и энергия возбуждения будет сохраняться в том месте, где она была рождена.

Если на «-спиральную молекулу падает электромагнитная вол-

$$E(t) = (E_x(t), E_y(t), 0),$$
 (21)

то оператор ее взаимодействия с молекулой можно записать в виде  $W(t) = \sum_{n \neq j} (E(t)d_{d_j}) B_{nd}^{+} B_{nd}$ , где  $d_{d_j} = d_{fd} - d_{fd}$ , или, учиты вая (11), - в виде

$$W(t) = \sum_{n} \left\{ \frac{1}{\sqrt{n2}} \left( d_1 - d_2 \right) C_{n7}^{\dagger} C_{n2} + \frac{1}{\sqrt{6}} \left( d_1 - d_3^{\prime} \right) \times \right.$$

$$*C_{n2}^{+}C_{n3}^{+} + \frac{1}{3\sqrt{2}} \left( d_{1} + d_{3} - 2d_{2} \right) C_{n1}^{+} C_{n3}^{+} \right\} E(t) + 3pm. \, conp. \tag{22}$$

Переход из эксимерного состояния в ближайшее к нему по энергии экситонное наиболее вероятен при частоте электромагнитного поля\*

$$\omega_{j} = 2X^{2}/\hbar k. \tag{23}$$

Второй резонансной частотой будет  $\omega_{s}=1/\hbar (3L+\chi^{2}/k)$ , определяющая переход из эксимерного в более высокое экситонное состояние.

Аналогичный вывод можно сделать относительно комбинационного рассеяния света (КРС) на «спиральных молекулах, находящихся в состоянии возбуждения. В спектрах КРС могут наблюдаться линии. отвечающие переходам из эксимерного в экситонные (солитонные) состояния биополимеров, что может свидетельствовать об эксимерном механизме хранения энергии в биомолекулах.

По поводу частотного интервала, в котором следует искать соответствующие линии КРС поглощения света, заметим, что, поскольку, как следует из (23),  $\hbar \omega_1 = 2\Delta = 0.14 \left(\frac{d}{d} - 1\right)^2 J \sin^2 \theta$  , a  $J \approx 2$  эВ, то при  $\theta = 30-60$  получим, что резонансная длина волны определяется выражением  $\lambda_1 \simeq 10^{-2} \left(\frac{d_x}{d_y} - 1\right)^2 cm$ . Таким образом, для того чтобы пере-коды происходили под действием воли миллиметрового диапазона, необходимо, чтобы дипольные моменты пептидных групп в основном и возбужденном состояниях отличались на десятки процентов, что вполне реально.

Работа выполнена по программе ВК "Отклик".

1. Davydov A.S. Solitons and energy transfer along protein molecules // J. Theor. Biol. - 1977. - 66. - P. 379-387.

2. Давидов А.С. Солитоны в молекулярных системах. - Киев : Наук.

думка, 4984. - 288 с. 3. Mc Clare C.W.F. A quantum mechanical muscle model // Nature.-1972. - <u>240</u>, N 5376. - P. 88-90. 4. Solitons / Eds S. E. Trullinger, V. E. Zakharov, V. L. Pokrovsky .-

Horth-Holland, 1986. - 634 p.

5. Давидов А.С. Движение солитона в одномерной молекулярной цепоч-ке с участием тепловых колебаний // Ж. эксперим. и теор. физи-ки. - 1980. - 78, № 2. - С. 789-796.

6. Давидов А.С. Квантовая теория движения квазичастицы в молекулярной цепи при учете тепловых колебаний // Физ. многочастич.

систем. - 1987. - № 12. - С. 1-20.

7. Еремко А.А. Диссоциация давидовских солитонов в поле электромагнитной волны // Докл. АН УССР. Сер. А. — 1984. — 16 3. —

8. Eremko A.A., Gaididei Yu.B., Vakhnenko A.A. Dissociation-accompanied Raman scattering by Davydov solitons // Phys. sta-

tus solidi. B. - 1985. - 127. - P. 703-713.

9. Milbeck J.C., Lomdahl P.S., Scott A.C. Soliton structure in crystalline acetanilide // Phys. Rev. B. - 1984. - 30, N 8.-P. 4703-4712.

 $<sup>^{*}</sup>$  Предполагается, что деформация в эксимерном состоянии велика по сравнению с амплитудой нулевых вибраций.

10. Давидов А.С. Биология и квантовая механика. — Киев: Наук.думка. 1979. — 296 с.

II. Hol W.G.J., Van Duijnen P.T., Berendsen H.J.C.The alpha-helix dipole and properties of proteins // Nature. - 1978. - 273, N 5662. - P. 443-446.

УЛК 536; 557; 574; 577

А.В. Чалый

ВЛИЯНИЕ ВНЕШНЕТО ЭЛЕКТРОМАГНИГНОГО ПОЛЯ НА ПРОЦЕССЫ УПОРЯДОЧЕНИЯ В СРЕДАХ С БИОХИМИЧЕСКИМИ РЕАКЦИЯМИ

Важной спецификой систем, в которых происходят процессы упорядочения и самоорганизации, является существенное влияние на их свойства различных внешних воздействий (механических, химических, электрических, магнитных, электромагнитных и др.). Для понимания сущности процессов, происходящих в открытых медико-биологических системах (прежде всего в организме человека) во внешних полях, рассмотрим вопрос об образовании упорядоченных структур на уровне биохимических реакций, ответственных за синаптические механизмы передачи информации.

1. Среди развитих к настоящему времени методов описания процессов образования пространственных структур и ритмических явлений наиболее последователен метод, использующий современные теории фазовых переходов и критических явлений / 2. Именно на этой строгой теоретической основе удается объяснить наличие когерентности на макроскопически больших расстояниях и временах. Особенность такого подхода, которая отсутствует в методах, основанных на применении кинетических моделей и теории нелинейных колебаний, заключается также в принципиальной возможности установления связи различных важных характеристик процессов упорядочения (например, пространственных и временных периодов когерентных структур) с физическими и другими параметрами исследуемых систем / 3, 47.

Явления, происходящие вблизи линий (точек) фазовых переходов или границ устойчивости однородного состояния вещества, обладают универсальной общностью. Причина связана с коллективной, синергетической природой этих явлений и с определяющей ролью взаимодействия флуктуаций характерного параметра порядка исследуемой системи. Именно это обстоятельство лежит в основе известного принципа образования упорядоченных структур — "порядок через флуктуации".

Выяснение основных закономерностей в поведении систем вблизи линий фазовых переходов и границ устойчивости (в дальнейшем пред-

полагается, что исследуемая система, включая человеческий организм, находится именно в таком состоянии с аномально большой восприимчивостью к внешним воздействиям) требует выделения главной, управляющей моды или, что то же самое, — параметра порядка и учета флуктуаций этого параметра порядка, скоррелированных на больших расстояниях и временах.

Параметром порядка системы с химическими (биохимическими) реакциями является степень полноты  $\xi(\vec{r})$ , определяемая как

 $d\xi(\vec{r}) = d\eta_i(\vec{r})/V_{ii}, \tag{1}$ 

где dn: (r) — изменение числа молей компонента / в процессе биохимической реакции; /; — стехиометрические коэффициенты. Сопряженной для степени полноты /(r) величиной является сродство реакции A(r), представляющее собой линейную комбинацию химических
потенциалов компонентов смеси:

$$A(\vec{r}) = \sum_{i \geq 1} V_i N_i (\vec{r}). \tag{2}$$

Величина, обратная восприимчивости  $\chi$  биохимической реакции, выражается согласно формуле

 $\chi^{-1} = \left(\frac{\partial A}{\partial \xi}\right)_{P,T} = \sum_{j,j} \nu_i \nu_j \left(\frac{\partial \nu_j}{\partial n_j}\right)_{P,T,N_k} \neq n_j$  (3) через производные от химических потенциалов по числу молей компо-

через производные от кимических потенциалов по числу молей компонентов, участвующих в реакции. Эта величина, точнее нулевой пространственный можент прямой корреляционной функции (ПКФ)  $\mathcal{C}$  (r) биохимической реакции, представляемая в виде

$$C_0 = \int C(r) d\vec{r} = -\frac{1}{kT} \left( \frac{\partial A}{\partial \xi} \right)_{P,T} , \qquad (4)$$

определяет коэффициент при квадрате параметра порядка в разложении флуктуационной части свободной энергии Гиббса.

2. Представим исследуемую систему как жидкий диэлектрик, находящийся во внешнем электрическом поле. Химический потенциал такой системы имеет вид 257

$$\mathcal{U} = \mathcal{U}_0 - \frac{\varepsilon_0}{2} \left( \frac{\partial \varepsilon}{\partial \rho} \right)_T E^2,$$
(5)

где  $\mathcal{P}_0$  — химический потенциал среды в нулевом поле. С учетом соотношений (1) — (5) вклад в величину  $C_0$ , связанный с наличием электрического поля, составляет

$$AC_0^E = -\frac{\mathcal{E}_0 E^2 N_A}{2 k_B T} \sum_{i,j} \lambda_i \lambda_j \left( \frac{\partial^2 \mathcal{E}}{\partial \rho_i \partial \rho_j} \right)_T . \tag{6}$$

Видно, что этот вклад пропорционален квадрату напряженности электрического поля и второй производной от диалектрической проницаемости по плотности. Принимая во внимание корреляционные поправки от эффектов пространственной дисперсии к величине диэлектрической проницаемости, определяемой стандартным приближением Лоренти -Лоренца, можно показать, что

$$\frac{\partial^2 \varepsilon_{\kappa o \rho}}{\partial \rho_i \partial \rho_j} \sim \begin{cases} R_C^{1+2/\xi} & \text{при } kR_C = 1, \\ R_C^{\frac{2}{\xi}-1} & \text{при } kR_C > 1, \end{cases}$$
 (7)

где к - волновое число; К - радиус корреляции флуктуаций параметра порядка. Согласно (7) при переходе через границу устойчи-нторая производная  $\frac{\partial^2 \mathcal{E}_{\kappa op}}{\partial \rho_i} \frac{\partial \rho_i}{\partial \rho_j}$  имеет особенность, поскольку критический индекс  $\xi \approx 1.8$  и  $\frac{2}{5} - 1 \approx 0.1$ . Если среда обладает не только электрическими, но и магнитны—

ми свойствами (биологические ткани организма человека являются, как правило, диамагнетиками), а также находится во внешнем электромагнитном поле, то вклад в величину  $\mathbf{C}_{\mathsf{O}}$  определяется соотношением

$$\Delta C_0^{E,H} = -\frac{N_A}{2k_BT} \sum_{i,j} \nu_i \nu_j \left( \frac{\partial^2 \varepsilon}{\partial \rho_i \partial \rho_j} E^2 + \tilde{\mu_0} \frac{\partial^2 \tilde{\mu}}{\partial \rho_i \partial \rho_j} H^2 \right), \tag{8}$$

где 👸 - относительная магнитная проницаемость; Н - напряженность магнитного поля.

Нулевой момент ПКФ, как отмечалось выше, определяет обратную восприимчивость, а совместно со вторым пространственным можентом С2 - радиус корреляции флуктуаций степени полноты биохимической реакции. Последний результат может быть получен и проанализирован на основе общей теории критических флуктуаций параметра порядка во внешних полях, развитой в [6]. В отсутствие электромагнитного поля радиус корреляции

$$R_{\mathcal{C}}^{\mathcal{O}} = \sqrt{\frac{C_{\mathcal{C}}}{C_{\mathcal{O}}}} = \left\{ \frac{N_{\mathcal{A}}}{k_{\mathcal{G}} T C_{\mathcal{C}}} \sum_{i,j} V_{i} V_{j}^{i} \left\{ \frac{\partial P_{i\mathcal{C}}}{\rho_{i}} + \frac{\partial}{\rho_{j}} \left[ \frac{P - P_{i\mathcal{C}}}{\rho_{i}} - \frac{1}{\rho_{i}} \left( \frac{\partial P_{i}}{\partial T} \right)_{\mathcal{D}} (T - T_{i\mathcal{C}}) \right] \right\}^{-1/2}$$
(9)

определяется лишь близостью температуры и давления системы с биохимическими реакциями к их критическим значениям  $\frac{1}{ic}$  и  $\frac{1}{ic}$  .Под действием внешнего электромагнитного поля изменяется радиус корреляции

$$R_{C}^{\mathcal{E},H} \left\{ C_{2} / \left[ C_{0} - \frac{N_{A}}{2k_{B}T} \sum_{i,j} P_{i} V_{i} \left( \varepsilon_{0} \frac{\partial^{2} \varepsilon}{\partial \rho_{i} \partial \rho_{j}} E^{2} + \tilde{P}_{0}^{*} \frac{\partial^{2} \tilde{R}}{\partial \rho_{i} \partial \rho_{j}} H^{2} \right] \right\}^{1/2}. \tag{40}$$

Полученное значение изменения радиуса корреляции можно интерпретировать в терминах изменения критических параметров вещества:

а) критической температуры

$$T_{ic}^{*}(E,H) = T_{ic} \frac{\rho_{i}}{2} \left( \frac{\partial I}{\partial \rho_{i}} \right)_{\rho} \left( \mathcal{E}_{0} \frac{\partial \mathcal{E}}{\partial \rho_{i}} E^{2} + \tilde{\mu_{0}} \frac{\partial \hat{\mu}}{\partial \rho_{i}} H^{2} \right) \tag{A1}$$

при неизменном критическом значении парциального давления  $\hat{r}_{ic}$ ; б) критического парциального давления

$$P_{ic}^{+}(E,H) = P_{ie} + \frac{P_{i}}{2} \left( \mathcal{E}_{0} \frac{\partial \mathcal{E}}{\partial P_{i}} E^{2} + \tilde{P_{0}} \frac{\partial \tilde{\mathcal{H}}}{\partial P_{i}} H^{2} \right) \tag{12}$$

при неизменном значении /с.

Критические параметри  $P_{iC}$  и  $T_{iC}$  компонентов биохимической реакции могут сильно различаться. Поэтому зависимость восприимчивости  $\mathfrak{X}=\left|\partial A/\partial \mathfrak{z}\right|$  в изобарных условиях от температуры представляется достаточно сложной функцией, достигающей локальных максимумов с приближением к критическим значениям 🚜 (Е. Н) каждого из компонентов. Главный максимум в этой зависимости соответствует, очевидно, реализации критического (бифуркационного) значения для основного параметра порядка - управляющей моды биохимической реакции.

3. Проанализируем условия образования упорядоченных структур в системе с биохимическими реакциями при наличии внешнего электромагнитного поля. Пусть исходное состояние биохимической системы таково, что нулевой и второй пространственные моменты ПКФ являются положительными:

$$C_0 = -\frac{1}{k_b T} \left( \frac{\partial A}{\partial \bar{z}} \right)_{P,T} = \int C(r) dr > 0,$$

$$C_2 = \frac{1}{2} \int C(r) r^2 dr > 0.$$

В этом случае статическая парная корреляционная функция (КФ)

$$Q_{2\xi}(R) = \frac{V}{k_{\delta}T} \langle \xi(\vec{r_1}) \xi(\vec{r_2}) \rangle, \qquad R = |\vec{r_1} - \vec{r_2}|.$$

флуктуаций степени полноты, описывающая взаимное влияние карактера протекания биохимической реакции в различных точках 🔭 и 📆 системы (например, организма человека), имеет следующий вид в трехмерном пространстве:

$$G_{2\xi}(R) = \left(\frac{V}{4\pi k_{E}TC_{2}}\right) exp\left(-\frac{R}{R_{E}}\right)/R, \tag{33}$$

68

где радиус корреляции  $R_{\mathcal{C}}$  определяется формулой (9) или (40). Видно, что с приближением к границе термодинамической устойчивости биохимической системы, на которой нулевой момент ПКФ  $C_0 \longrightarrow 0$ , корреляции между локальными флуктуациями степени полноты f(F) медленно убивают с расстоянием ( $G_{2\xi} \sim R^{-1}$ ), т.е. становятся дальнодействующими. Этот результат означает, естественно, что статические структуры в такой биохимической среде не могут возникнуть.

Ситуация радикально изменится при смене знака одного из моментов, т.е. при условии, что  $C_0 < 0$ ,  $C_2 > 0$  (термодинамически неустойчивая система) или  $C_0 > 0$ ,  $C_2 < 0$  (среда с восходящей диффузией, т.е. с отрицательным коэффициентом диффузии). Рассмотрим среду с биохимическими реакциями на нетермодинамической ветви состояний ( $C_0 < 0$ ,  $C_2 > 0$ ). Для такой трехмерной среды КФ флуктуаций степени полноты биохимической реакции

$$G_{5} \sim N_{1/2} \left( \frac{|\vec{r_{7}} - \vec{r_{2}}|}{R} \right) / |\vec{r_{7}} - \vec{r_{2}}|^{1/2},$$
 (14)

где  $N_{\ell 2}(z)$  — цилиндрическая функция Неймана, а радлус корреляции  $\ell = \sqrt{2/|\mathcal{C}_{\ell}|}$ . Результат (14) означает, что в системе возникает медленно затухающая, периодическая в пространстве корреляция между локальными значениями степени полноти  $\ell(\mathcal{F})$ , т.е. реализуется когерентное влияние биохимических процессов в различных объемах на расстояниях порядка длины волны возникающих упорядоченных структур  $2 = 2\pi \sqrt{2/|\mathcal{C}_{\ell}|}$ . С приближением к границе устойчивости  $(\mathcal{C}_{\ell} - \mathcal{O}_{\ell})$  характерный размер периодических биохимических структур становится достаточно большим, достигая макроскопических величин.

Обратимся к полученным ранее формулам для  $C_0$  в отсутствие электромагнитного поля и для поправки  $AC_0^{\mathcal{E},H}$ , вызванной включением электромагнитного поля. Легко видеть, что если вначале  $G^{\mathcal{E},O}$ , то, поскольку  $AC_0^{\mathcal{E},H} < 0$ , может произойти изменение знака величины нулевого момента при E,  $H \neq 0$ :  $C_0 + AC_0^{\mathcal{E},H} < 0$ . Переход от  $C_0 \geq 0$  к  $C_0 + AC_0^{\mathcal{E},H} < 0$  достигается при достаточно больших величинах напряженностей E и H, а также при аномально больших значениях производных может реализоваться волизи точек фазовых переходов. Кроме того, существенное возрастание производных возможно в результате специфических для CBY и KBY диапазонов резонансных эффектов в диэлектрических средах, входящих в организм человека (вода, кровь, лимфа, спинномозговая жидкость и др.).

Очевидно, под влиянием внешнего электромагнитного поля промсходит переход биохимической системы из области термодинамической устойчивости ( ${\rm C_0}>0$ ) в термодинамически неустойчивую область 70

 $(C_0 + AC_0^{E,H} < 0)$ . Однако последнее состояние обладает (и это имеет принципиальное значение) структурной устойчивостью в том смысле, что благодаря эффекту нелокальности (пространственной дисперсии) флуктуаций f(r) величина  $C_0 + AC_0^{E,H} + C_2 k^2 > 0$ . Отсюда следует соотношение для характерного размера упорядоченной структуры в области термодинамической неустойчивости:  $\lambda_0 = 2\pi/k = \sqrt{C_2/(C_0 + AC_0^{E,H})}$  Таким образом, физико-химический механизм перехода системы в упорядоченное состояние под действием электромагнитного поля основан на эффективном изменении температуры и давления и, как следствие, на изменении знака нулевого момента ПКФ, переводящих ранее устойчивую бе сструктурную систему под границу устойчивости (спинодаль), где термодинамическая неустойчивость стабилизируется возникновением когерентных упорядоченных структур.

4. Для частот химических (биохимических) и электромагнитных процессов в СВЧ и КВЧ диапазонах имеет место сильное неравенство  $v_{3-M} \gg v_{5uoxum}$ , что позволяет оценивать эффекты воздействия внешних электромагнитных полей как усредненные за период биохимической периодической реакции.

В среде с дисперсией происходит диссипация электромагнитного излучения, связанная с ее поглощением 257. Для монохроматической электромагнитной волны частоты а количество энергии, поглощенное за единицу времени в единице объема среды, составляет

$$Q = \omega \left( \xi \varepsilon'' \overline{E}^2 + \widetilde{\mu}_0 \widetilde{\mu}'' \overline{H}^2 \right),$$

где  $\mathcal{E}''$  и  $\tilde{\mu}'''$  – мнимые части диэлектрической и магнитной проницаемости, а черта означает усреднение по времени. С учетом равенства электрической и магнитной составляющих плотности энергии в электромагнитной волне и очевидного соотношения  $\tilde{F}^2 = 1/2 \tilde{E}_0^2$ , где  $\tilde{E}_0$  – амплитуда напряженности электрического поля, имеем  $\mathcal{Q} = \omega \, \mathcal{E} \, \mathcal{E}_0^2$ .

Для оценки численного значения  $\mathcal{Q}$  примем, что длина волны электромагнитного излучения  $\mathcal{A}=3$  мм, т.е.  $\omega\approx6.3\cdot10^{11}$  рад/с, а поверхностная плотность подводимой к объекту мощности в электромагнитной волне (вектор Умова – Пойнтинга)  $|\vec{3}|=2w_Ec-2\varepsilon\xi\,\vec{E}^c=-\varepsilon\varepsilon_o E_o^2c$  имеет порядок  $|\vec{3}|\approx 1$  мВт/см $^2=10$  Вт/м $^2$ . Отсюда следует, что объемная плотность энергии электромагнитной волны  $\varepsilon\varepsilon_o E_o^2=|\vec{3}|/c\approx3\cdot10^{-8}$  Дж/м $^3$ . Учитывая, что мнимая часть диэлектрической проницаемости волизи точек фазовых переходов в результате учета парных корреляций по порядку величины составляет  $\varepsilon^n\approx 10^{-4}\mathcal{E}$  [7, 87, имеем окончательно  $\mathcal{Q}\approx2$  Вт/м $^2$ .

Полученный результат необходимо сравнить с тем значением

энергии единицы объема физико-химической системы, которое нужно сообщить за единицу времени, чтобы достичь границу устойчивости этой системы. Другими словами, следует оценить величину (Р/ -Р<sub>іс</sub> ) *У бивким* при изотермическом подходе к границе устойчивости или величину  $(\partial P/\partial I)_{\theta}(I-I_{ic})$   $\delta_{uoxum}$  при ее изобарном достижении. Используя реальные значения отклонений давления и температуры от их критических значений:  $(P-P_{ic})/P_{ic}\approx 10^{-5}$  и  $(I-T_{ic})/I_{ic}\approx 10^{-5}$ , а также размерную оценку производной  $(\partial P/\partial I)_{o}\approx nP_{o}/I_{c}$ , где  $n\approx 1$  (в модели Ван-дер-Ваальса n=4), и, принимая, что  $P_{ic}\approx 10^{-5}$  Па и  $V_{outlet}$   $\approx 10^{-2}$  с  $^{-1}$ , получаем

$$(P-P_{ic})V_{buoxum} \approx 10^{-2} BT/m^3,$$
 (45)  
 $(\partial P/\partial T)_{p}(T-T_{ic})V_{buoxum} \approx 4.10^{-2} BT/m^3.$ 

Сравнение оценок величины 🛭 и приведенных в (45) значений показывает, что достаточно малые мощности электромагнитного излучения миллиметрового диапазона могут вызвать переход системы с биохимическими реакциями через границу устойчивости и образование в ней упорядоченных структур. Критерием образования таких структур под действием внешнего электромагнитного поля является выполнение следующих неравенств:

HOW P=const

$$\omega \varepsilon^{q} \varepsilon_{0} E_{0}^{2} / \left(\frac{\partial P}{\partial I}\right)_{\rho} (T-T_{ic}) V_{0} uoxum > 1,$$
 (16)

HDM /= const

$$\omega \varepsilon'' \varepsilon_0 E_0^2 / (P - P_{IC}) V_{SHOXUM} > 1. \tag{47}$$

Из (16) и (17) следует, что образованию упорядоченных структур в системах с биохимическими реакциями под воздействием электромагнитного поля способствует увеличение частоты электромагнитных колебаний, амплитуды Е электрического поля, мнимой части Е диэлектрической проницаемости, а также уменьшение частоты периодических биохимических (или химических) процессов Ублоким и приближение термодинамических параметров (температуры и давления) к их критическим (бифуркационным) значениям, т.е. уменьшение отклонений  $T-T_{ic}$  и  $\rho-\rho_{ic}$ .

Полученные результаты позволяют предложить следующий реалистический механизм влияния электромагнитного излучения СВЧ и КВЧ диапазонов на физико-химические (биохимические) процессы, проискодящие в организме человека. Воздействующее излучение (например, на биологически активные точки) резонансно поглощается по одному 72

или нескольким молекулярным каналам. Детальная схема функционирования этих каналов должна быть основана на микроскопических соображениях, подобных рассмотренным в 297 и использующих методы квантовой механики и молекулярной биофизики. Заметим, что одним из интересных вопросов, связанных с этим направлением исследований, является выяснение частотной зависимости электродинамических характеристик типа  $\varepsilon''$  и  $\widetilde{\mathscr{A}}''$ , ответственных за поглощение электромагнитного излучения в биологических тканях и жидкостях организма человека, а также установление их экстремальных свойств для СВЧ и КВЧ диапазонов электромагнитного излучения. Поглощенное электромагнитное излучение приводит к возникновению нового типа упорядочения, который характеризуется когерентным характером протекания биохимических реакций из-за наличия дальнодействующей, макроскопической и периодической в пространстве связи между локальными значениями степени полноты реакции. Возникающие пространственные структуры обладают, как указывалось выше, экстремумами восприимчивости к внешним воздействиям, а также экстремальными значениями коэффициента электропроводности б. Действительно, величина б определяется пространственно-временной КФ токов, которая в разумном приближении выражается через произведение корреляторов скоростей и концентраций. Последний коррелятор непосредственно связан с восприимчивостями компонентов смеси. Таким образом, получаемые пространственные когерентные структуры, обладающие экстремумами восприимчивости и электропроводности, и есть те направления (их можно назвать, если угодно, и меридианами), вдоль которых осуществляется синаптическая передача информации.

Работа выполнена по программе вк "Отклик".

 Паташинский А.З., Покровский В.Л. Флуктуационная теория фазовых переходов. - М.: Наука, 1975. - 256 с.
 Вильсон К., Когут Дж. Ренормализационная группа и € -разложение. - М.: Мир, 1975. - 302 с.
 Чалый А.В. Методы теории фазовых переходов в проблеме структурообразования // Теоретические и математические аспекты морфогенеза. - М.: Наука, 1987. - С. 245-255.
 Chalyi A.V., Mezhinskii I.V., Sysoev V.M. The fluctuation mechanism of the formation of spatio-temporal structures in chemically active systems // Proc. Int. Workshop on Norlingsprond mically active systems // Froc. Int. Workshop on Nonlinear and Turbulent Processes in Physics. - Gordon and Breach, New York, 1984. - P. 719-730.

5. Ландау л.Д., Лифшиц Е.М. Электродинамика сплошных сред. — М.: Наука, 1982. — 620 с.
6. Лакоза Е.Л., Сысоев В.М., Чалый А.В. Критические флуктуации во внешних полях // Ж. эксперим. и теор. физики. — 1973. — 65. —

7. Larsen S., Mountain R., Zwazig R. On the validity of the Lorentz-Lorenz equation near the critical point // J. Chem. Phys. - 1965. - 42. - P. 2187-2192.

8. Олейникова А.В., Циганов Н.Л., Чалый А.В. Рефракция света волизи критической точки с учетом эффектов пространственной диспер-

сии//Оптика и спектроскопия.—1984.—56, вып.6.—С.1066—1071.

9. Ситько С.П., Сугаков В.И. О роли спиновых состояний в белковых молекулах // Докл. АН УССР. Сер. А. — 1984. — № 6. — С.65—69.

УЛК 57.043

В.Б.Швед, В.Д.Бобрышев

КОНТРАСТИРОВАНИЕ ЗОН ХОЛ ОВОЙ НЕКРОТИЗАЦИИ В СОЧЕТАНИИ С МИКРОВОЛНОВЫМ ВОЗДЕЙСТВИЕМ

Для локального необратимого разрушения биологической ткани, в том числе патологических новообразований, в медицинской практике широко распространена криодеструкция, т.е. замораживание ткани до температур, при которых их последующая реабилитация невозможна. В литературе хорошо отражены достоинства криохирургии, например високая терапевтическая эффективность, активизация иммунологической системы, косметологический эффект.

Вместе с тем нетрудно показать, что для гарантированного разрушения патологических новообразований замораживанию последних будет сопутствовать значительное замораживание и переохлаждение окружающих здоровых тканей.

В данной работе предлагается использовать СВЧ излучение, предпочтительно миллиметрового (мм) диапазона, для снижения эффекта холодового повреждения здоровых тканей при криодеструкции.

Упрощенная математическая модель, описывающая процесс замораживания при криодеструкции, может быть представлена одномерной нестационарной задачей Стефана  $\bar{\mathbb{A}}$ , 27

$$(A(u)/z(u)_{u} + [c(u)\rho(u) + \rho \delta(u - u^{*})]z_{t} + w(u)z(u) = 0,$$

где  $\mathcal{Z} = \mathcal{Z}(\mathcal{U}, t)$  — искомая координата изотермы  $\mathcal{U}$  из температурного интервала  $\mathcal{U}_A(t) \leq \mathcal{U} \leq \mathcal{U}_m$ ; t — время;  $\mathcal{A}(\mathcal{U})$ ,  $\mathcal{C}(\mathcal{U})$ ,  $\mathcal{A}(\mathcal{U})$  — коэффициент теплопроводности, теплоемкости и плотности соответственно;  $\mathcal{W}(\mathcal{U})$  — мощность источника тепла;  $\mathcal{D} = \mathcal{A} \mathcal{D}$ ;  $\mathcal{A}$  — скрытая теплота кристаллизации;  $\mathcal{O} \mathcal{L} \mathcal{Z} = \mathcal{Z}^*(t) \mathcal{I}$  — дельта-функция Дирака;  $\mathcal{Z}^*(t)$ ,  $\mathcal{Z}_m(t)$  — подлежащие определению подвижные координать изотермы замораживания и биоткани соответственно;  $\mathcal{U}_A(t)$  — температура охлаждающей поверхности криоинструмента;  $\mathcal{U}_n$ ,  $\mathcal{U}^*$ ,  $\mathcal{U}_m$  — температура криопоражения, замораживания, биологической ткани соответственно. При этом выполняются условия

В стационарном случае для плоской криодеструкции, принимая, что метаболизм в замороженной зоне отсутствует, а в незамороженной определяется как  $\boxed{1} W(u) = W_0(u_m - u)$ , задача имеет следующее аналитическое решение:

$$\widetilde{z}_{(u)} = \begin{cases}
(z_0 + l)(u^* - u_0)^{-1}(u - u_0) & \text{при } u_0 \leq u \leq u^*, \\
(z_0 + l) + \sqrt{\frac{\lambda_m}{w_0}} & ln \frac{u_m - u^*}{u_m - u} & \text{при } u^* \leq u \leq u_m.
\end{cases}$$
(1)

Выражение (4) решим относительно и:

$$u = \begin{cases} u_0 + \frac{z}{z_0 + l} (u^* - u_0) & \text{при } z_0 \le z \le z_0 + l, \\ u_m - (u_m - u^*) e^{-\sqrt{\frac{w_0}{\lambda_m}}} [z - (z_0 + l)] & \text{при } z \ge z_0 + l, \end{cases}$$

$$l = \frac{\lambda_m (u^* - u_0)}{(u_m - u^*) \sqrt{\lambda_m w_0}} - z_0.$$
(2)

Используя (2), оценим глубину дополнительного холодового поражения здоровых тканей при плоской криодеструкции локального участка головного мозга глубиной 5·10<sup>-3</sup> м. Нами использованы теплофизические характеристики, принятые в медицине /3/. Температура гарантированного криопоражения равна – 20°С /3/, допустимая температура переохлаждения здоровых тканей мозга составляет 32,5°С.

Согласно решению (2), получаем  $u_A = -33.6$  °C,  $z_0 + t =$   $= 12.4 \cdot 10^{-3}$  м,  $z_{00} = z_0 + t + 7.2x$ х  $10^{-3}$  м. Температурная картина, соответствующая этому случаю, представлена на рис. 1.

Таким образом, гарантированному криопоражению опухоли размером  $5 \cdot 10^{-3}$  м сопутствует пополнительное повреждение здоровой ткани на глубину 14,6x  $\times 10^{-3}$  м.

Рассмотрим такой процесс замораживания, когда сквозь замороженную зону осуществляется подвод СВЧ энергии.

Коэффициент поглощения в

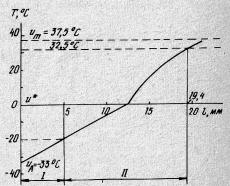


Рис.1. Стационарная температурная картина при плоской криодеструкции участка головного мозга глуонной 5 · 10 · 3 м: I — зона гарантированного криопоражения: II — зона дополнительного холодового повреждения здоровых тканей

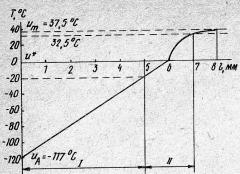


Рис. 2. Стационарная температурная картина при плоской криодеструкции участка головного мозга глуоиной 5 х х 10-3 м в случае подвода 81,мм сквозь замороженную зону СВЧ излучения: I и II - см.

замороженной зоне более чем на порядок ниже коэффициента поглощения в незамороженной ткани, поэтому в первом приближении считаем. что преобразование СВЧ энергии в тепловую осуществляется на границе незамороженной зоны. Пренебрегая энергией метаболизма по сравнению с СВЧ энергией и считая, что последняя выделяется в ткани по закону  $P = P_0 \exp x [-\lambda(z-z^*)]$ , где  $\lambda^{-1}$  глубина проникновения, приведем решение (2) к виду

$$\widetilde{z}(u) = \begin{cases}
l \frac{u - u_0}{u^* - u_0}, & u_0 \leq u \leq u^*, \\
l = \frac{\lambda_7(u^* - u_0)}{(u_m - u^*)\sqrt{\lambda_2 w_0}}, \\
l = \frac{\lambda_7(u^* - u_0)}{(u_m - u^*)\sqrt{\lambda_2 w_0}}, \\
l = \frac{\lambda_7(u^* - u_0)}{(u_m - u^*)\sqrt{\lambda_2 w_0}}, \\
l = \frac{\lambda_7(u^* - u_0)}{(u_m - u^*)\sqrt{\lambda_2 w_0}}.$$
(3)

Из решения (3) следует, что при  $P_0 d^{-e}/A_2 = u_m - u^*$  получим уже на расстоянии 3/

« от границы заморамивания 35 %-ное значение нормальной температуры ткани, т.е. практическое отсутствие переохлажиения. Поскольку 1/ для СВЧ излучения в мм диапазоне составляет доли миллиметра, то введение СВЧ источника резко снижает эффект холодового повреждения здоровых тканей.

Оценим значение  $P_0$  при  $P_0 \propto^{-2}/\Lambda_2 = u_m - u^*$ . Принимая  $\Lambda_2 = u_m + u^*$ = 0.52 BT/M·K,  $u_m = 37.5$  °C,  $u^* = 0$  °C,  $1/\alpha = 5.10^{-4}$  M (onpeделяется выбором частоты СВЧ излучения и соответствует мм диапавону), получаем  $\rho_a \approx 4$  Вт/см.

На основании решения (3) оценим глубину дополнительного поражения здоровых тканей головного мозга при криодеструкции участка 5.40-3 м в случае, когда сквозь замороженную зону подается СВЧ излучение мм диапазона с энергией  $P_n \, \omega^{-2}/\Lambda_m = u_m - u^{\dagger}$  и глубиной проникновения  $5.10^{-4}$  м. В результате получаем  $u_{s} = -117.5^{\circ}$ С,  $z_0 + l = 6.0$  mm,  $z_{no} = z_0 + l + 1.0$  mm. Температурная картина, соответствующая этому случаю, изображена на рис. 2. Глубина дополнительного поражения составляет 2 мм.

Из рассмотренных частных случаев следует, что подвод СВЧ излучения сквозь замороженную зону значительно уменьшает дополнительное поражение здоровых тканей при криодеструкции новообразований.

Березовский А.А. Одномерная локальная задача Стефана плоско-параллельной криодеструкции биологической ткани // Задачи те-плопроводности с подвижными границами. – Киев, 1985. – С.3-8.
 Березовский А.А. Одномерные модели локального замораживания биоткани // Нелинейные задачи теплопроводности. – Киев, 1984. –

C. 3-8.

3. Комини Г., Дель Джиудиче С. Тепловые аспекты криожирургии // Теплопередача. - 1976. - № 4. - С. 8-16.

#### УШК 577.3

Л.Г.Радченко, И.А.Слабкая

ВОЗМОЖНЫЙ МЕХАНИЗМ РАБОТЫ СИНАПСА КАК НЕРАВНОВЕСНОЙ СИСТЕМЫ. ВОСПРИИМЧИВОЙ К ВЛИЯНИЮ ВНЕШНИХ ФИЗИЧЕСКИХ ПОЛЕЙ

В условиях сильного отклонения от равновесия возникает качественно новый характер взаимодействия внешних физических полей с системой. Волизи критических точек, так называемых точек бифуркации, система обладает рядом особенностей, одной из которых является аномальное возрастание восприимчивости к внешним воздействиям /17. Однако априори не ясна степень применимости указанных результатов ко всему многообразию критических явлений в реальных системах.

В качестве реальной неравновесной ситуации в настоящей работе исследуется популяция ацетилхолиновых рецепторов в постсинаптической мембране - концевой пластинке. Основой рассмотрения является гипотеза о взаимосвязанности кратковременного изменения проводимости ионных каналов и так называемого фазового расслоения водно-белковой матрицы в примембранной области. По-видимому, впервые на связь между изменением проницаемости возбудимой нервной мемораны и состоянием воды обратил внимание И.М.Клотц /27. Автор. как и многие другие исследователи, не рассматривал динамические и структурные аспекты процесса, тем более влияние физических полей. Однако нам кажется ценной и важной идея Клотца о способности воды образовывать кооперативные системы в гидратной оболочке белков и меморанах. Это явление лежит в основе процессов, происходяших на молекулярном уровне, но ведущих к макроскопическому результату. измеряемому как отклик рецепторной популяции.

В качестве базы для построения динамической модели выбирается часто используемая схема реакций бимолекулярных сталий /3/

$$A + R + \frac{k_1}{k_2} A R^* + \frac{k_3}{k_3} P_A + R^* + \frac{k_2}{k_3} - R$$

где A — молекула ацетилхолина; R — рецептор в исходном состоянии;  $AR^*$  — комплекс ацетилхолин—рецептор;  $R^*$  — рецептор в активированном состоянии;  $P_A$  — продукт распада ацетилхолина под действием ацетилхолинастерази;  $k_7$ ,  $k_{-1}$ ,  $k_2$ ,  $k_3$  — коэффициенты скоростей реакции.

Приведем уравнения, описывающие кинетику этой реакции:

$$\dot{y} = d(r_0 - y)k_7 - k_3 y - k_7 y,$$
 (1)

$$\dot{x} = k_3 y - k_2 x \,, \tag{2}$$

где x – концентрация  $R^*$ ; y – концентрация  $M^*$ ; d – концентрация ацетилхолина;  $r_0$  – начальная концентрация рецепторов.

При этом в общем виде описывается процесс кратковременного увеличения концентрации ацетилхолина в синаптической щели, в результате чего рецепторно-канальные молекулы переходят в активированное состояние, а затем, после быстрого удаления ацетилхолина (вследствие диффузии и действия эстеразы), релаксируют к исходному состоянию с дискретным изменением проводимости каналов.

Закономерным представляется то, что ионы затрачивают на про**хождение канала**  $10^{-7}$  –  $10^{-8}$  с. т.е. время, исключительно близкое к периоду обмена молекулы воды возле иона. По современным представлениям рецепторы как белковые структуры имеют динамическую воднобелковую матрицу. Движение белковых цепей происходит со временем корреляции  $10^{-8}$  –  $10^{-10}$  с. Этому способствует время  $\tau$ , нахождения субъединицы рецептора в конформации, комплементарной ацетилколину. При связывании ацетилхолин "фиксирует" эту конформацию на более продолжительное время. Происходят унорядочение водно-белковой матриць, увеличение числа и изменение искализации доступных активных центров на поверхности субъединиц. При этом молекулам воды термодинамически выгодно находиться в виде упорядоченной кооперативной структуры (кластеров) с временем жизни ≥10-8 с [4], зависящим от свойств белка и внешних условий. Это время на несколько порядков больше, чем время жизни водородных связей в гомогенной жидкой воде:  $10^{-11}$  -  $10^{-12}$  с. Такое упорядоченное состояние можно классифицировать как открытое, реализуемое в процессе "растворения" субъединиц рецепторов с образованием канала. Одновременно с "растворением" повышается константа диссоциации комплекса рецентор - медиатор. В результате освободившиеся под действием молекулярного движения молекулы ацетилхолина гидролизуются (за 3 -4 мкс) ацетилхолинэстеразой и не оказывают повторного действия. 78

Для данного рассмотрения важно, что при взаимном приспособлении конформации белка и воды конкуренция клатратации, гидратации и других взаимодействий в матрице приводит ее к неравновесному состоянию. Структурные элементы взаимодействующей с рецепторами воды в момент оккупации и после него становятся более многообразными, в том числе и с некомпенсированными дипольными моментами, карактерными для клатратов [5]. Дальнодействие этого процесса за счет кооперативной перестройки водородных связей распространлется по меньшей мере на всю зону выброса кванта ацетилхолина, что позволяет при моделировании процесса перейти к макроскопическому описанию.

Таким образом, данная модель предполагает, что синхронное активирование ацетилхолином достаточно большой зоны рецепторной популяции является управляющим элементом для фазового перехода типа "расслоение — растворение" субъединиц рецептора. Эволюционно необходимость в таком фазовом переходе диктуется помехоустойчивым поведением типа "все или ничего" и высокой чувствительностью к управляющим параметрам — присутствию ацетилхолина и ионов.

О механизме выделения и удаления медиатора хорошо известно. 
Значительно меньшую роль обычно отводят второму параметру, определяющему, по нашему мнению, время релаксации открытой конформации рецепторов в нативных условиях. Существенно, что метод молекулярной динамики предсказывает затруднения движению ионов в направлении, перпендикулярном поверхности, структурирующей воду 6. Таким образом, если подвижность одновалентных катионов вблизи устья канала в фазе "растворения" становится анизотропной, то открытие канала должно приводить на какое-то время к локальному обеднению концентрации ионов  $Na^{\dagger}$ . Это, в свою очередь, приводит к увеличению белок-белкового взаимодействия f. Т.е. в рассматриваемой модели приводит к понижению растворимости субъединиц рецептора — "расслоению", происходящему со скоростью, пропорциональной  $\ell_2$ .

Образование структурно упорядоченной "измененной" воды — процесс кооперативный. Кинетическое действие процесса таково, что повышение концентрации  $\mathcal{A}$  активированных рецепторов ускоряет дальнейшую диссоциацию  $\mathcal{AR}^*$ . Эта положительная обратная связь за счет изменения полярных свойств среды учитывается в модели путем нелинейного представления коэффициента скорости  $\mathcal{K}_{\mathcal{A}}$  диссоциации комплекса ацетилхолин — рецептор от концентрации  $\mathcal{A}$ . Для описания такого эффекта раскладиваем  $\mathcal{K}_{\mathcal{A}}$  в ряд Тейлора по  $\mathcal{X}$ :

$$k_3 = k_{30} + k_{31} x + k_{32} x^2 + O(x^3)$$
.

Поскольку скорость диссоциации комплекса возрастает с увеличением концентрации x, то величины  $k_{30}$ ,  $k_{31}$ ,  $k_{32}$  положительны. Подставив  $k_3$  в (1), (2) и сложив их, получим дифференциальное уравнение для z=x+y:

$$\dot{z} = dk_1 r_0 - (dk_1 + k_{-1})z - (k_2 - dk_1 - k_1)x \tag{3}$$

Введение переменной  $\chi$  позволяет исследовать поведение системы (1) и (2) в адиабатическом приближении  $\ell 87$ . При этом, согласно принципу подчинения, удается выразить  $\chi$  через  $\chi$ :

$$y = \frac{dk_{1}r_{0} - k_{2}x}{dk_{1} + k_{-1}}.$$
(4)

Уравнение (4) применимо при условии

$$|\dot{x}|_{max} \ll \frac{dk_{1}r_{0}(dk_{1}+k_{-1})}{dk_{1}+k_{-1}-k_{2}} + (dk_{1}+k_{-1})x$$
.

Данное неравенство раскрывает смысл адиабатического приближения. Мы требуем, чтобы величина  $\ell$  изменялась достаточно медленно по сравнению с постоянной затухания ( $d\ell_1 + \ell_{-1}$ ) и вторым слагаемым первой части неравенства. Поскольку рассматривается случай выброса кванта ацетилхолина, исходная величина d отлична от нуля. Это с учетом предельно высокой исходной концентрации рецепторов  $\ell_0$ , как и коэффициента скорости  $\ell_1$  (обратно пропорционального  $\ell_2$ ), доказывает выполнимость приведенного условия.

Подставив (4) в уравнение (2), получим

$$\dot{x} = k_{30} r_0 \frac{dk_7}{dk_1 + k_{-1}} + \left( \frac{k_{31} r_0 dk_1 - k_{30} k_2}{dk_1 + k_{-1}} - k_2 \right) x + \left( \frac{k_{32} r_0 dk_1 - k_{37} k_2}{dk_1 + k_{-1}} \right) x^2 + \frac{k_{32} k_2}{dk_1} x^3 .$$
(5)

Существует аналогия между описанием термодинамических свойств бинарной жидкости в критической точке и фазовым переходом 2-го рода [9]. Исходя из этого уравнение (5) должно описывать переход типа "все или ничего" при существовании единственного значения  $d=d_{\mathcal{C}}$ , причем правая часть уравнения, т.е. критическая линия фазового перехода, должна иметь три корня, совпадающих в точке неустойчивости  $d_{\mathcal{C}}$ . Этому случаю состветствуют следующие ограничения на параметри:

 $P \left| d = d_{c}^{2} = -\frac{1}{3} \left( \frac{k_{32} r_{0} dk_{1} - k_{37} k_{2}}{k_{32} k_{2}} - \frac{dk_{1}}{dk_{1} + k_{-1}} \right)^{2} - \frac{dk_{1} (k_{31} r_{0} - k_{2}) - k_{30} k_{2} - k_{2} k_{-1}}{k_{32} k_{2}} - \frac{dk_{7}}{dk_{7} + k_{-7}} = 0;$ 

 $q\Big|_{d=d_{G}^{-}} = \frac{1}{27} \left( \frac{k_{32}r_{0}^{*}dk_{1} - k_{31}k_{2}}{k_{32}} \frac{dk_{1}}{dk_{1}+k_{-1}} \right)^{3} - \frac{k_{30}r_{0} \left(dk_{1}\right)^{2}}{k_{32}k_{2} \left(dk_{1} + k_{-1}\right)} = 0.$ 

При этих ограничениях стационарное решение уравнения (5) в точке  $d = d_{\rm c}$  имеет вид

$$x_{c} = \frac{1}{3} \frac{d_{c} k_{1} k_{32} k_{0}^{2} - k_{31} k_{2}}{k_{32} k_{2}} \frac{dk_{1}}{dk_{1} + k_{-1}}$$

Далее аналогично подходу, использованному в работе  $\sqrt{10}$  при описании взаимодействия фармакологических веществ с рецепторной популяцией, критическое поведение системы выражается через отклонение от стационарного значения – параметр порядка  $\sqrt{x} = x - x_{C}$ . С помощью параметра порядка можно дать единое описание кинетики процессов при фазовых переходах как своеобразного броуновского движения. При этом аналогом броуновских частиц выступает термодинамическая функция x, ответственная за фазовый переход. По физическому смыслу параметр порядка — это корреляционная функция, определяющая степень дальнего порядка в системе.

Запишем уравнение для отклонения 🛽 в следующем виде:

$$\dot{\bar{x}} = F(x_c) + \frac{\partial F(x_c)}{\partial x} \, \bar{x} + \frac{1}{2!} \, \frac{\partial^2 F(x_c)}{\partial x^2} \, \bar{x}^2 + \frac{1}{3!} \, \frac{\partial^3 F(x_c)}{\partial x^3} \, \bar{x}^3 \,, \tag{6}$$

где F(x) – правая часть уравнения (5);  $F(x_c) = 0$ ;

$$\frac{\partial F(x_C)}{\partial x} = \frac{dk_1(k_{31}r_0 - k_2)^{-k_{30}k_2 - k_2k_{-1}}}{dk_1 + k_{-1}} + \frac{1}{3} \frac{(dk_1k_{32}r_0 - k_{31}k_2)^2 dk_1}{k_{32}k_2(dk_1 + k_{-1})^2} = -\rho \frac{k_{32}k_2}{dk_1};$$

$$\frac{\partial^2 F(x_C)}{\partial x^2} = 0; \qquad \frac{\partial^3 F(x_C)}{\partial x^3} = -6 \frac{k_{32}k_2}{dk_1}$$

Из анализа на устойчивость решения уравнения (6) по линейному приближению видно, что потеря устойчивости происходит при достижении  $d=d_C$ , где  $\frac{\partial F(x_C)}{\partial x}\Big|_{d=d_C} \rho(d_C)=0$ . Тогда при d, находящемся вблизи  $d_C$ , отбрасьвая члены более высокого порядка по  $d-d_C$ , имеем

$$\frac{\partial F(x_c)}{\partial x} \approx \frac{\partial^2 F(x_c)}{\partial x \, \partial d} \left( d - d_c \right) = \left[ \frac{k_- k_+ k_{31} F + k_{30} k_2 k_1}{(d_c k_+ + k_-)^2} + \frac{d_c k_+ k_{32} F (d_c k_+ + k_-)}{(d_c k_+ + k_-)^3} \right] (d - d_c) = f(k_{i,j}, r_0, d_c) (d - d_c).$$

Затем уравнение (6) можно переписать в виде

$$\dot{\bar{x}} = f(k_{i,j}, r_0, d_c)(d - d_c)\bar{x} - \frac{k_{32}k_2}{dk_1}\bar{x}^3. \tag{7}$$

Из уравнения (7) видно, что при  $d < d_c$  ,  $\bar{x} = 0$  — устойчивое решение, а при  $d > d_c$   $\bar{x} = \left[\frac{f(k_{i,j}, \gamma_o, d_c)(d - d_c)d_ck_1}{k_{32}k_2}\right]^{1/2}.$ 

Следовательно, для получения взрывной реакции типа перехода "все или ничего" необходимо незначительное удельное изменение концентрации ацетилхолина относительно критической. Таким образом,
обеспечивается активация около 2000 рецепторов за 300 мкс при кратковременном вноросе кванта ацетилхолина.

Изучение взаимодействия вещества с холинорецепторами затруднено отсутствием линейной зависимости между концентрацией активного комплекса, определяемого по величине эффекта, и величиной эффекта. Для агонистов только в узком диапазоне концентраций сохраняется пропорциональная зависимость между эффектом и количеством
агонист-рецепторных комплексов. Для конкретного экспериментального подтверждения критического типа поведения необходимо систематическое изучение окрестности излома кривих доза — эффект и изменение исходной модели при интерпретации результатов исследований
шума мембранного потенциала. В то же время сам ход этих кривых,
имеющих, как известно, сигмоидальную форму, уже указывает на кооперативность процесса. Еще более убедительными подтверждениями кооперативного взаимодействия рецепторной популяции являются
такого рода факти, когда одна молекула налорфина "выводит из
строя" десятки молекул морфия.

Данный подход позволяет объяснить не только механизм такой эффективности путем дальнодействующего изменения структуры воды и констант диссоциации для агонистов и антагонистов, но и принципы первичной рецепции слабых физических полей.

Дальнейшее обсуждение роли кооперации и флуктуаций в рецепции поля опирается на универсальное описание термодинамических свойств вблизи фазових переходов 2-го рода. В качестве примера рассмотрим взаимодействие электромагнитного излучения (ЭМИ) с рецепторной популяцией. В этом случае изменяемая в процессе расслоения — растворения структура поверхностной воды может играть важную роль в качестве диспергирующей среды в следующей цепочке событий.

Первичным микроскопическим эффектом при фазовом переходе водно-белковой матрицы (в отличие от льдоподобной структуры) является скачок дипольного момента в структурных элементах клатратной воды. Кооперативность процессов в зоне, активированной квантом ацетилхолина, будет приводить к макроскопически синфазному реаги— 82

рованию на внешнее воздействие. Можно ожидать, что суммарный дипольный момент M окажется пропорциональным квадрату радиуса  $\rho$ активированной зоны. Кроме того, изменение диэлектрической проницаемости активированной зоны в процессе связывания воды ответственно за появление локальных градиентов РЕ тангенциальной электрической составляющей ЭМИ. Локальные концентрации поля могут достигать нескольких порядков на частотах, превышающих частоту дебаевской релаксации связанной воды. При этом не может сформироваться сколь-нибудь значительный нагрев из-за преобладания теплоотдачи в окружающую среду. Это справедливо и для окрестности критической точки, так как в ней теплопроводность остается неизменной или даже возрастает /97. Реальностью остаются только весьма высокие градиенты поля на границах зон. Нетрудно показать (11), что градиент E также пропорционален  $\rho^2$ . Наличие суммарного дипольного момента и локального градиента поля является, согласно классическим представлениям, причиной возникновения втягивающей силы F~MPE. Поскольку корреляция охвативает ~ 1000 рецепторов. размер активированной зоны не менее чем в 1/1000 раз превышает эффективный размер 🔑 случайно оккупированного рецептора. Таким образом, по сравнению с некоррелированным возбуждением рецепторов кратковременный выброс и удаление кванта ацетилхолина должны сопровождаться возрастанием и последующей релаксацией индушированной полем втягивающей силы. Она растет как  $(\rho/\rho_0)^q$ , повышаясь в указанных условиях на шесть порядков. Время релаксации 🐔 по сравнению со средним временем жизни возбужденного единичного рецептора в классическом приближении должно возрастать пропорционально объему, т.е. для плоской модели как  $(\rho/\rho_0)^2$ . Однако, как уже указывалось,  $r \sim k_1^{-1}$  ограничивается локальным обеднением концентрации  $Na^+$  и характеризуется значением от единиц до десятков миллисекунд.

Втягивающая сила должна вызывать латеральную диффузию активированной зоны, если только данный процесс не ослабляется известным уменьшением коэффициента диффузии D вблизи критической точки. Например, для диффузионного потока, вызванного только градиентом концентрации, как правило, наблюдается аномальное замедление, пропорциональное D. Однако для потока, вызванного градиентом давления D, ситуация диаметрально противоположная. Бародиффузионный поток равен произведению D, P0 и кинетического сингулярного коэффициента L07. Произведение L0 пропорционально критическому радиусу корреляции P0 с показателем степени P0 от 1 (классическая теория) до P1 (плоская модель Изинга).

Формально радиус корреляции (а соответственно и диффузионный поток) стремится к  $\sim$  при приближении к критической точке (  $d = d_c$  ). В реальных системах ограничения накладывают их характерные размеры - в нашем случае радиус 🔑 зоны, активированной квантом ацетилхолина. Согласно принципу масштабной инвариантности при все кинетические характеристики перенормируются заменой  $ho_c$  на ho.

Следовательно, карактер сингулярности рассматриваемого явления в целом описывается таким образом. Учитывая, что  $pP \sim F \sim p^q$ ,  $4D\sim 
ho^2$ , искомый бародиффузионный поток расходится как  $(
ho/
ho_2)^{9+}\ell$ . Полученная оценка указывает на аномальное возрастание индуцированной внешним полем кинетической подвижности активированных зон. При определенных условиях возможна их латеральная диффузия путем последовательной кооперативной перестройки водно-белковой матрицы по градиенту поля.

Рассмотренный эффект аномального возрастания восприимчивости системы при ее активации квантами ацетилхолина потенциально может быть ответственным за следующие события:

- 1. Индуцированное слияние с активированной зоной мелкомасштабных, короткоживущих, но возникающих с большей вероятностью флуктуаций параметра порядка водно-белковой матрицы. Результат такого процесса - рост времени релаксации и, следовательно, изменение параметров миниатюрного потенциала концевой пластинки (МПКП).
- 2. Изменение характеристик мембранного шума при малых концентрациях ацетилхолина в синаптической щели за счет нарушения статистически независимого процесса открывания одиночных каналов (подтверждено экспериментально).
- 3. "Размытие" активированной зоны в направлении градиента внешней, тангенциальной к плоскости мембраны Е- компоненты пол Результат - изменение параметров МПКП.

Любое из указанных событий биологически значимо и может интерпретироваться как конечное звено первичной рецепции поля.

Таким образом, на примере ацетилхолин-рецепторного комплекса показан возможный механизм работы синапса как неравновесной системы, восприимчивой к влиянию внешних полей.

Специфика взаимодействия подобных неравновесных сред с полями заслуживает, на наш взгляд, дальнейшего изучения.

- 1. Пригожин И., Стенгерс И. Порядок из хаоса. М.: Прогресс,
- 1. Пригожин и., отенгерс и. порядол по поста 1986. 100 с.
  2. Клотц И.М. Вода. // Горизонты биохимии. М.: Наука, 1964. С. 399—470.
  3. Сергеев П.В., Шимановский М.Л. Рецепторы физиологически активных веществ. М.: Медицина, 1937. 100 с.
  4. Кяйвяряйнен А.И. Динамическое поведение белков в водной среде

5. Габуда С.П. Связанная вода. Факты и гипотезы. - Новосибирск:

5. Гаоуда С.П. Связанная вода. чакти и гипотези.

Наука, 1982. — 100 с.

6. Антонченко В.Я. Физика воды. — Киев: Наук.думка,1986.— 100 с.

7. Основы биохимии: В 2 кн. / А.Уайт, Ф.Хендлер, Э.Смит и др. — М.: Мир, 1981. — Кн. 1. — 100 с.

8. Хакен Т. Синергетика. — М.: Мир, 1980. — 100 с.

9. Анисимов М.А. Критические явления в жидкостях и жидких кристаллах. — М.: Наука, 1987. — 100 с.

10. Зеезе А., Магер П.П. Простые системы с обратной связью, используемые для моделирования взаимодействия лекарств с рецеп-

пользуемые для моделирования взаимодействия лекарств с рецепторами // Термодинамика и регуляция биологических процессов.— М.: Наука, 1984. — С. 125—135.

11. Ландау Л.Д., Лифшиц Е.М. Электродинамика сплошных сред. — М.: Наука, 1982. — 100 с.

УДК 537.868.536:577.3.08

А.Г.Ордынец

АБСОРБЦИОННЫЙ МЕТОД ИССЛЕДОВАНИЯ СПЕКТРАЛЬНЫХ НЕОДНОРОДНОСТЕЙ В БИОЛОГИЧЕСКИХ СРЕДАХ

Проблема изучения эффектов резонансного взаимодействия биообъектов с электромагнитным излучением (ЭМИ) на клеточном и более внсоком уровнях организации носит фундаментальный характер [1]. Поиск частотных особенностей в миллиметровом (мм) диапазоне длин волн на этих уровнях проводился лишь косвенно путем регистрации физиологического отклика /2-47. В силу принципиального отсутствия жесткой детерминации таких откликов с параметрами внешних излучений низкой энергии более предпочтительно обнаружение дисперсии первичных физико-химических эффектов іп vivo. Существующими физическими методами зарегистрировать обнаруженные частотные особенности пока не удается /37. Связано это, по-видимому, с тем, что использовавшиеся системы регистрации в условиях эксперимента обладают разрешающей способностью порядка 1 % поглощенной мощности на преобладающем "неселективном" фоне поглощения молекулами воды.

Для выяснения первичных селективных механизмов рецепции ЭМИ биообъектами необходима разработка новых абсорбционных спектральных методов. Цель данной работы - разработка метода, отвечающего следующим требованиям: достаточно высокая чувствительность; непосредственное определение дисперсии локально поглощаемой части мощности на преобладающем на несколько порядков неселективном фоне: неразрушающий и невоздействующий на функциональное состояние исследуемого биообъекта принцип съема информации: широкополосность (всеволновость).

В основу метода положена регистрация с помощью оптико-акустической (ОА) камеры локальных тепловых процессов, сопровождающих, как будет показано ниже, взаимодействие частотно-модулированного

(ЧМ) излучения со спектрально-неоднородной средой. Теория подобного эффекта для амплитудно-модулированного (АМ) излучения развита в работе Розенцвейга и Герша f5. В рассматриваемом случае подход данных авторов следует дополнить учетом свойства дисперсной среды преобразовывать ЧМ в АМ излучение. Рассмотрим это более подробно в приближении A1 — девиация частоты; f1 — полуширина резонансной кривой поглощения). Предполагая закон изменения несущей частоты ЭМИ в виде  $\omega = \bar{\omega} + a$ 1  $\sin \omega + a$ 2, интенсивность излучения, распространяющегося в анализируемой среде, можно представить в виде

$$J(x,\omega,t) = J(x,\bar{\omega}) + \frac{\partial J(x,\omega)}{\partial \omega} \bigg|_{\omega = \bar{\omega}} \Delta \delta \sin \mathcal{Q} t + \frac{1}{2} \frac{\partial^2 J(x,\omega)}{\partial \omega^2} \bigg|_{\omega = \bar{\omega}} \Delta \delta^2 \sin^2 \mathcal{Q} t + \cdots, \tag{1}$$

где x - координата, отсчитиваемая в отрицательную полуплоскость от поверхности исследуемой среды.

Выделяя в результирующем ОА сигнале только первую гармонику частоты модуляции  $\mathscr P$  и учитывая экспоненциальную зависимость  $J(x,\omega)=J_o\exp(\beta x)$ , где  $\beta=\beta_0+\beta_7(\omega)$ ,  $\beta_0$ ,  $\beta_1(\omega)$ — коэффициенты затухания слабодисперсной части среды (воды) и спектрально—неоднородного включения, для плотности мощности тепловых источников имеем

$$W(x,\omega,t) = \beta x J_0 \frac{\partial \beta_1(\omega)}{\partial \omega} \bigg|_{\omega = \overline{\omega}} exp(\beta x) \text{ sin } \mathfrak{D}t.$$
 (2)

Подставив (2) в уравнение тепловой диффузии и решив его при тех же предположениях, что и в работе /5/, для амплитуды ОА сигнала получим

 $A = \frac{r_{0}^{p} \beta J_{0} \lambda \partial}{\sqrt{2} i_{q} a_{q} J_{0}^{p} k_{s} (\sigma^{2} - \beta^{2})} \times \left\{ \frac{(b+1) \left(\frac{1-r}{1+r}\right) exp(G_{g}^{2}l) - (b-1) \left(\frac{1+r}{1-r}\right) exp(-G_{g}^{2}l)}{(g+1) (b+1) exp(G_{g}^{2}l) - (g-1) (b-1) exp(-G_{g}^{2}l)} + \frac{2 \left(\frac{2br}{1-r^{2}} - \frac{1+r^{2}}{1-r} + lG_{g}^{2}(r-b)\right) exp(-\beta l)}{(g+1) (b+1) exp(G_{g}^{2}l) - (g-1) (b-1) exp(-G_{g}^{2}l)} \right\}.$ (3)

Здесь  $\gamma = \ell_\rho / \ell_V$  – отношение теплоемкостей для газа, заполняющего ОА камеру;  $\ell_0$  и  $\ell_0$  — давление и температура газа;  $\ell_g$  — толщи—

на слоя газа;  $\rho_i$ ,  $\ell_i$ ,  $\ell_i$  — плотность, теплоемкость, коэффици— ент теплопроводности ( i принимает значения: S — параметры образца; g — газа; b — подложки);  $\ell$  — толщина ооразца;  $a_i = \left(\frac{\rho_i \ell_i \cdot \mathcal{G}}{2\ell_i}\right)^{N_2}$  коэффициент термической диффузии среды i;  $\sigma_S = (1+i) a_S$ , e — мни— мая единица;  $b = \frac{k_b a_b}{k_S}$ ,  $g = \frac{k_g a_g}{k_S}$ ;  $r = (1-j) \frac{\mathcal{B}}{2a_S} = \frac{\mathcal{B}}{\sigma_S}$ .

Если в качестве образца выбирается биообъект *in vivo*, "подложка" отсутствует, следовательно,  $\delta \equiv 1$ . Учитывая также, что обычно  $g < 10^{-2}$ , а  $G_{\rm S} l \gg 1$ , из (3) получаем более простое и удобное выражение для амплитуды ОА сигнала:

$$Q = \frac{\partial P_0 \beta J_0 \Delta V}{\sqrt{2} I_0 a_0 T_0 k_S G_S (G_S + \beta)^2} - \frac{\partial \beta_T(\omega)}{\partial \omega} \bigg|_{\omega = \bar{\omega}} . \tag{4}$$

Анализ выражения (4) позволяет раскрыть ряд особенностей метода.

Пропорциональность выходного сигнала интенсивности ЭМИ ха-

рактеризует линейность метола в большом динамическом диапазоне и "нулевой" принцип измерений. Другими словами, если анализируемая среда не обладает писперсией и отсутствует перазитная амплитудная модуляция на первой гармонике, то амплитуда ОА сигнала тождественно равна нулю. Изменение фазы ОА сигнала на 🗷 (знака  $\left. \frac{\partial eta_7(\omega)}{\partial \omega} \middle|_{\omega = \overline{\omega}} \right)$  при смещении рабочей точки с одного склона резонансной кривой на другой может служить надежным критерием при изучении резонансных эффектов на преобладающем фоне неселективного или монотонно зависящего от частоты поглощения. Степень "контрастирования" сигнала пропорциональна крутизне частотной зависимости коэффициента затухания  $\beta$  и для "добротностей"  $\sim 10^4$  /67 может давать соответствующий выигрыш по сравнению со слабой дисперсией Гомогенной воды. Изменение характера зависимости выходного сигнала как функции частоты модуляции  $\mathscr{P}$  от  $\mathscr{D}^{-1}$  до  $\mathscr{D}^{-2}$  при изменении знака неравенства между глубиной проникновения излучения 3-7 и длиной тепловой диффузии  $a_{\rm c}^{-7}$  (в пределах которой формируется ОА сигнал) позволяет дополнительно по сравнению с /77 повысить точность измерения.

С использованием частот модуляции от  $10^{-1}$  до  $10^2$  Гц можно при наличии дисперсии поглощения в анализируемых задачах получить информацию о физических характеристиках слоев биосреды, прилегающих к поверхности облучения на расстоянии от  $10^{-4}$  до 1 мм.

Выходной ситнал слабо зависит от абсолютного значения несущей частоты при условии  $\beta_0 \gg \beta_1(\omega)$  (всеволновость) и определяется только расстройкой и величиной  $\Gamma$ , характеризующими крутизну  $\frac{\partial \beta_1(\omega)}{\partial \omega}$ 

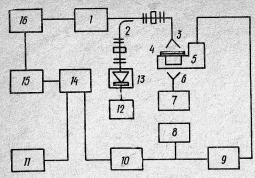


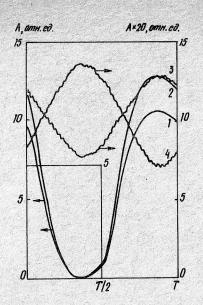
Рис.І. Блок-схема измерительной установки: 6 - рупорная антенна; 8, 12 - осциллографы; 9 - предварительный усилитель; 10 - усилитель мощности; 16 - модулятор

Определенным ограничением возможностей метода на первой гармонике является то, что при использовании стандертных генераторов частотную модуляцию, как правило, сопровождает паразитная амплитудная модуляция. Последняя приводит к наличию фонового сигнала, так как вызывает ОА эффект даже в неселективных, поглощающих средах. Кроме чисто аппаратурных способов устранения вклада паразитной амплитудной модуляции существует и более принципиальный путь использование гармоническо-

го закона модуляции и виделение не первой, а второй гармоники ОА сигнала. Несмотря на некоторое снижение полезного сигнала (  $\sim \frac{\partial \mathcal{V}}{\mathcal{F}}$ , причем для лоренцовской формы контура поглощения  $\left(\frac{\partial \mathcal{V}}{\mathcal{F}}\right)_{\rho\rho\tau} \approx \frac{1}{3} \left[\frac{\partial \mathcal{V}}{\partial \rho}\right]$ , происходит дополнительное повышение "контрастности" вклада "резонансов" по отношению к слабодисперсному фону. Наиболее существенным преимуществом является отсутствие в спектре боковых частот паразитной амплитудной модуляции гармоник  $\mathscr{P}$ , что позволяет реализовать предельную чувствительность метода, ограничиваемую в этом случае лишь собственным шумом ОА камеры и предусилителем.

Оценки "контрастности" метода по первой и второй гармоникам можно получить, сравнив  $\frac{\partial \mathcal{B}(\omega)}{\partial \omega} \Big|_{\omega=\bar{\omega}}$  и  $\frac{\partial^2 \mathcal{B}(\omega)}{\partial \omega^2} \Big|_{\omega=\bar{\omega}}$  для дисперсионной кривой воды в мм диапазоне длин воли и лоренцовского контура с добротностью  $10^3-10^4$ . При этом для первой гармоники значение "контрастности" составляет  $3\cdot 10^2-3\cdot 10^3$ , а для второй  $-10^5-10^7$ .

Экспериментальная проверка основных идей проводилась с помощью измерительной установки (рис.1). Излучение от генератора 1 (КВЧ Г4-156), модулированное по частоте, через рупорную антенну 3 направлялось на объект 4, представляющий собой тонкую ( // << <200 мкм) стеклянную кювету, заполненную дистиллированной водой. ОА сигнал, возникающий в воде, передавался через термически тонкое входное окно в камеру ОА датчика 5 собственной конструкции и приводил к колебаниям в ней давления газа с частотами, кратными частоте модуляции. Выходной сигнал чувствительного микрофона регистрировался с помощью многоканального анализатора 15 (NTM =1024) 88



15. 2 1,0 10. 10. 0,5 5. 0 0 774 36,5 -5

B omnea

A. omn. ea

Рис. 2. Изменение амплитуды сигнала за период модуляции (F = 1 Тц; P = 3 мВт - мо-щность падающего излучения): 1 - АМ, F = 35,84 ГТц; 2 - АМ, F = 35,78 ГТц; 3 - ЧМ, АЛ = 4,5 МГц, F = 35,78 ГТц; 5 - модулирующий меандр

Рис.3. Зависимость амплитулы ОА сигнала (1) и величины отраженной мощности (2) от частоты ЭМИ при ЧМ:  $\mathcal{A} = 1$  Гц;  $\partial \mathcal{A} = 3,5-5$  МГц;  $\mathcal{P} = 5$  мВт

и фиксировался на самописце 11. Управление установкой осуществлялось от микро-ЭВМ 666 В (14).Вели-

чины прошедшей мощности контролировались с помощью измерителя 7 плотности потока мощности ПЗ-9, а отраженный сигнал - с помощью направленного ответвителя 2 и детекторной секции.

Характерный вид кривых ОА сигнала за один период приведен на рис. 2. Зависимости 1 и 2 соответствуют случаю АМ, 3 и 4 — ЧМ в масштабе 20:1.

На рис.З представлена частотная зависимость амплитуды ОА сигнала в режиме ЧМ. Выходная мощность генератора < 5 мВт, частота модуляции — 1 Гц, девиация несущей частоты — 3,5-5 мГц. Вклад паразитной АМ устранялся путем вычитания ОА сигналов, полученных при использовании согласующей диэлектрической пластинки (на наружной поверхности воды) и без нее. Основная составляющая погрешности измерений определялась неточностью установки несущей частоты генератора. Отрищательное значение амплитуд на кривой 1 рис.З соответствует сдвигу фазы ОА сигнала «7, кривая 2 иллюстрирует синхронное

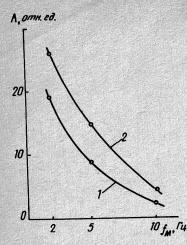


Рис. 4. Амплитуда ОА сигнала в функции частоты моду-JAIIINI: P = 1 мВт; F = 22 ПТц; 1 - нормальный эипдермис; 2 увлажненный эпидермис

изменение отраженной мощности, регистрируемое в частотном диалазоне, оптимальном для конкретного направленного ответвителя.

Экстремумы на кривой 1 отвечают точкам максимальной крутизны резонансной кривой. Определяя расстояние между ними, можно найти среднюю по ансамолю добротность (≈400). Наличие эквидистантных резонансов свидетельствует об образовании стоячей волны в волноводном тракте между кюветой с водой и генератором. Благодаря большому продольному индексу повышается критичность к набегу фазы при изменении частоты, что является причиной полученного довольно высокого значения добротности.

Можно спелать два вывода. Во-первых, разрешающая способность измерений селективного поглощения на сла-

боселективном фоне была в данном эксперименте  $\sim 10^{-3}$ , что само по себе является новым результатом. При использовании данного метода к задачам идентификации "резонансов" с добротностью, близкой к 104, разрешающая способность конкретной установки автоматически удучшается еще на порядок. Во-вторых, обнаружение по физиологическому отклику резонансов, подобных представленным выше, может служить источником ряда ошибочных утверждений. Поэтому представленный метод является метрологической перспективой при отделении артефактов в задачах исследования локального резонансного взаимодействия ЭМИ с организмами.

Применимость метода к исследованию поглощения in vivo подтверждается экспериментом (рис.4). Здесь зависимости амплитуды ОА сигнала при АМ сняты в функции частоты модуляции случаев: 1 - кожа человека в нормальных условиях; 2 - кожа человека в течение 5 мин находилась в контакте с водой и затем насухо вытиралась. Отношение амплитуд для соответствующих  $f_{M}$  показывает, что при высоких частотах (малых глубинах анализируемого слоя) оно одинаково и равно 1,67, а при низких частотах уменьшается до 1,37. Это сгидетельствует о возможности регистрации профиля распределения волы в коже.

1. Föhlich H. The biological effects of microwaves and related questions // Adv. Electron. and Electron Phis. - 1980. - 53.-P. 85-102.

. Андреев Е.А., Белый М.У., Сытько С.П. Реакция организма человека на электромагнитное излучение миллиметрового диапазона// Вестн. АН СССР. - 1985. - № 1. - С. 24-32.

3. Физические основы микроволновой (биорезонансной) коррекции физиологического состояния организма человека / Е.А.Андреев, М.У.Белый, В.А.Куценюк и др. // Применение миллиметрового излучения низкой интенсивности в биологии и медицине / Под ред. Н.Д.Девяткова. - М.: Ин-т радиотехники и электрон. АН СССР, 1985. - С. 58-85.

4. Резонансный характер воздействия радиоволн миллиметрового диапазона на биологические системы / Л.А.Севастьянова, А.Г.Бородкина, Э.С.Зубенкова // Эффекты нетеплового воздействия миллиметрового излучения на биологические объекты / Под ред. Н.Д.Девяткова. – М., 1983. – С. 34—47.
6. Rosencwaig A., Gersho A. Theory of the photoacoustic effect with solids // J. Appl. Phys. – 1976. – 47, N 1. – P. 64—69.

7. Голант М.Б. Биологические и физические факторы, обусловливающие влияние монохроматических электромагнитных излучений миллиметрового диапазона малой мощности на жизнедеятельность // Применение миллиметрового излучения низкой интенсивности в сиологии и медицине / Под ред. Н.Д.Девяткова. - М., 1985. -C. 21-36.

7. Винокуров С.А. Определение оптических и теплофизических хара-ктеристик конденсированных сред оптико-акустическим методом/ Ж. прикл. спектроскопии. — 1985. — 42, вып. 1. — С. 5—16. 8. Перегуд Е.А., Горелик Д.О. Инструментальные методы контроля

загрязнения атмосферы. - Л.: Химия, 1981. - 384 с.

УЛК 615.47:537.811:616.3

В. И. Соломонов, О. И. Писанко, А. Е. Мосежный, Г. И. Кириченко, В.П. Туранский

ВЛИННИЕ НИЗКОИНТЕНСИВНОГО ЭЛЕКТРОМАГНИТНОГО ИЗЛУЧЕНИЯ КВЧ ДИАПАЗОНА НА ОПТИЧЕСКИЕ СВОЙСТВА КОЖНЫХ ПОКРОВОВ

Оптические характеристики кожных покровов, в частности спектр поглощения, применяются для оценки периферического кровотока. Известны работы /1/ по определению концентрации гемоглобина в различных биологических тканях, таких, как кожные покровы, слизистая оболочка желудочно-кишечного тракта, ткань печени. Содержание гемоглобина в поврежденных живых тканях коррелирует с кровотоком и по зволяет количественно оценить степень кровонаполнения. Вместе с м в механизме биологической реакции в результате различных возействий происходят изменения периферического кровотока. Поэтому метод прижизненной спектрометрии кожных покровов применен нами для уточнения характера направленного действия низкоинтенсивного (<10 мВт/см²) электромагнитного излучения (ЭМИ) КВЧ диапазона на биологически активные точки (БАТ).

В последние годы низкоинтенсивное ЭММ КВЧ диапазона широко

применяется как в медико-биологических исследованиях, так и в практическом здравоохранении [2]. В работах [3, 4] показано, что излучение КВЧ диапазона действует на организм человека через БАТ, которые обладают высокой чувствительностью к внешним воздействиям и регулируют вегетативные реакции организма. Однако до сих поростается неясным характер взаимодействия ЭМИ КВЧ диапазона с БАТ.

Цель настоящей работы — уточнение характера изменений оптических свойств кожного покрова в зоне БАТ под действием низкоинтенсивного ЭМИ КВЧ диапазона.

Для исследований была отобрана группа добровольцев (20 практически здоровых мужчин). Средний возраст испытуемых 29 лет. Исследования проводились с утра, натощак, в одно и то же время.

Методика эксперимента следующая. У испытуемого регистрировали спектр поглощения кожи в зоне БАТ в течение 10 мин. После этого осуществлялось воздействие ЭМИ на фиксированной длине волны порядка 5,6 мм с уровнем выходной мощности 2-3 мВт/см² на БАТ-СL4 ("ХЕ-ІУ") в течение 10 мин с одновременной регистрацией спектра поглощения в зоне левой или правой точки "ХЭ-ІУ". По окончании воздействия ЭМИ на БАТ спектры поглощения регистрировались с зоны правой или левой точки в течение 10 мин.

В качестве источника низкоинтенсивного ЭМИ КВЧ диапазона применялся экспериментальный образец аппарата "Электроника КВЧ-ОІ" [5], обеспечивающий: работу на фиксированной длине волны ЭМИ — 5,6 мм; уровень мощности ЭМИ на выходе излучателя — 5 мВт; режим генерации — непрерывный; вид излучателя — диэлектрическая штыревая антенна.

Спектр поглощения в зоне БАТ получали на аппаратуре по методике, изложенной в работе /67. На рис.1 приведены спектры поглощения, снятые с зоны левой БАТ "ХЭ-ГУ" при воздействии низкоинтенсивным ЭМИ КВЧ диапазона на симметричную правую БАТ "ХЭ-ГУ". Из рисунка видно, что при воздействии излучения на правую БАТ в зоне левой БАТ отмечается снижение поглощения в широкой области спектра с выраженным на 9,6±1,5 % максимумом на длине волны 610 нм.

На рис.2 представлени спектри поглощения, снятие с зоны правой БАТ "ХЭ-ГУ" при воздействии ЭМИ КВЧ диапазона на эту же точку. Видно, что под воздействием излучения в точке "ХЭ-ГУ" происходит увеличение поглощения в широкой области спектра с максимумом  $26,9_{\pm}$   $\pm$  1,5 % на длине волны 610 нм.

На рис. 3 приведены спектры поглощения, снятые с зоны правой БАТ "ХЭ-ГУ", на которую был сориентирован излучатель аппарата "Электроника КВЧ", но излучение на его выходе отсутствовало. Как видно из рисунка, спектры поглощения оставались неизменными в процессе всего эксперимента.

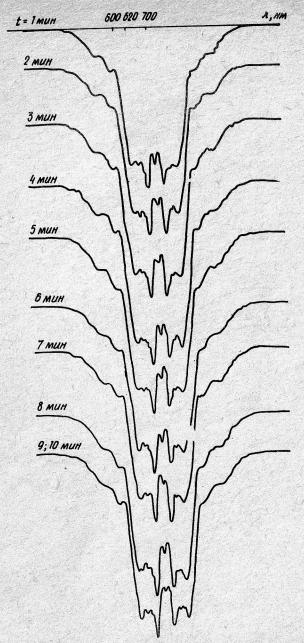


Рис. I. Спектры поглощения, снятые с зоны левой БАТ

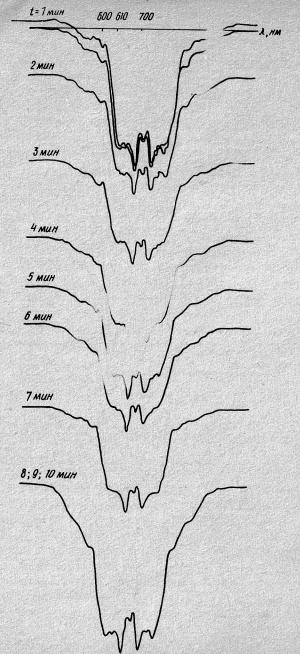


Рис. 2. Спектры поглощения, снятые с зоны правой БАТ

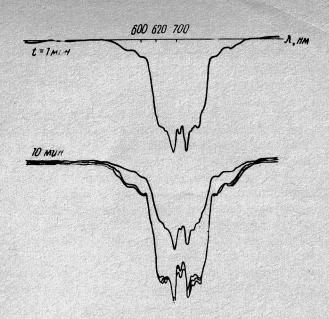


Рис. 3. Спектры поглощения, снятые с зоны правой БАТ

На основании полученных данных можно сделать предварительный вывод о том, что воздействие низ интенсивным ЭМИ КВЧ диапазона на БАТ вызывает непосредственно в зоне воздействия и в симметричной ей точке изменения оптических характеристик кожного покрова.

Предложенная методика может быть использована для контроля за воздействием ЭМИ КВЧ диапазона на живые организмы.

Биофизика / Ю.А.Владимиров, Д.И.Ратуркин, А.Я.Потапенко и др.— М.: Медицина, 1983. — 36 с.
 Применение миллиметрового излучения низкой интенсивности в биологии и медицине / Под ред. Н.Д.Девяткова. — М.: Ин-т радиотехники и электрон. АН СССР, 1985. — 284 с.
 Андреев Е.А., Белый М.У., Ситько С.П. Реакция организма человетия на электромаримирое излучение миллиметрового излучение.

Андреев Б.А., релыи м.Ј., ситько С.П. Реакция организма человека на электромагнитное излучение миллиметрового диапазона //
Вестн. АН СССР. — 1985. — Вып. 1. — С. 24—32.

4. Применение электромагнитного КВЧ-излучения низкой интенсивности для лечения неосложненной гастродуоденальной язвы /Л.Г.Гассанов, В.А.Зелинский, О.И.Писанко и др. // Электрон. пром-сть. — 1987. — Вып. 1. — С. 34—33.

5. Андереев Б.А., релым м.Ј., ситько С.П. Реакция организма челове—

5. Аппараты для микроволновой рефлексодиагностики и тераппи "Электроника-КВЧ" / А.Н.Балаба, М.Б.Голант, Л.С.Назаренко и др. //
Там же. - С. 30-31.

1

6. Спектрофотометрия слизистой оболочки желудочно-кишечного тракта / Г.И.Кириченко, А.Е.Мосежний, В.И.Соломонов и др. // Актуальные проблемы лечения больных заболеваниями толстой кишки: Тез. докл. конф. - железноводск, 1986. - С.28.

УДК 615.47:537.811:616.3

В.И.Соломонов, О.И.Писанко, А.Е.Мо сежный, Г.И.Кириченко, В.П.Туранский ВЛИЯНИЕ НИЗКОИНТЕНСИВНОГО ЭЛЕКТРОМАТНИТНОГО ИЗЛУЧЕНИЯ КВЧ ДИАПАЗОНА НА ТЕПЛОПРОДУКЦИЮ ЭПИГАСТРАЛЬНОЙ ОБЛАСТИ

Характер ответных реакций в организме возникающих при воздействии на биологически активные точки (БАТ) низкоинтенсивным (<10мВт/см²) электромагнитным излучением (ЭМИ) КВЧ диапазона, остается еще неясным, хотя по данному вопросу существует несколько версий /1.

С целью получения дополнительной информации о механизме воздействия ЭМИ КВЧ диапазона на человеческий организм нами был применен метод тепловизионного исследования кожного покрова передней бришной стенки при воздействии ЭМИ на БАТ, изложенный в /27.

Испытуемого укладывали на кушетку, где в течение 20 мин он проходил тепловую адаптацию. После этого производились съем и запоминание тепловизионного изображения передней брюшной стенки. Для тепловизионного контроля использовали отечественный цветной тепловизор "Радуга-МТ".

После указанных подготовительных процедур осуществляли в течение 40 мин воздействие низксинтенсивным ЭМИ КВЧ диапазона на БАТ-ЕЗ6 ("ЦЗУ-САНЬ-ЛИ"), расположенную в канале желудка. Вноор точки произведен не случайно, согласно /37, она отвечает за органы брюшной полости.

Источником низкоинтенсивного ЭМИ КВЧ диапазона служил экспериментальный образец аппарата "Электроника КВЧ-ОЛ", имеющий следующие характеристики [47: работа на фиксированной длине волны ЭМИ -5.6 мм: уровень мощности ЭМИ на выходе излучателя - 5 мВт; режим генерации - непрерывный; вид излучателя - диэлектрическая штыревая антенна.

Исследования проводились на группе (15 человек) здоровых мужчин в возрасте 23-40 лет, изъявивших желание принять участие в эксперименте, с утра без учета индивидуального ритма состояния БАТ. Сравнение термограмм производилось как путем запоминания исходной термограммы (после тепловой адаптации в течение 20 мин) в цифровой памяти тепловизора и последующего сравнения с исследуемой, так и по фотографиям полученных термограмм.

В контрольной группе из пяти человек после тепловой адаптации (20 мин) излучатель аппарата "Электроника КВЧ" ориентировался на БАТ-ЕЗ6, имитировалась полная картина его работы, но излучение на выходе отсутствовало. На протяжении 10 мин также фиксировалась пинамика телевизионного изображения, снимаемого с области передней брюшной стенки.

Результати исследований показали, что при воздействии низкоинтенсивным ЭМИ КВЧ диапазона на БАТ-ЕЗ6 ("ЦЗУ-САНЬ-ЛИ") происходят фазные температурные изменения в области эпигастрии. Так, на 2-3-й мин после начала воздействия отмечалось повышение кожной температурн на 0,4-0,6  $^{\circ}$ С ( $\rho$ <0,05) в области эпигастрии (3-4cm<sup>2</sup>). На 5-6-й мин повышалась на 0.4-0.8 °C ( $\rho$ < 0.05) кожная температура верхней половини живота. В контрольной группе при "кожном" воздействии ЭМИ на БАТ каких-либо существенных изменений в характере тепловизионной картины не обнаружено.

Таким образом, применение низкоинтенсивного ЭМИ КВЧ пиапазона с целью воздействия в лечебных целях на БАТ-ЕЗ6 ("ЦЗУ-САНЬ-ЛИ") приводит к изменению теплопродукции в области эпигастрии и верхней половине живота. Это обусловлено, по-видимому, изменением трофики органов верхнего этажа бришной полости.

Тепловизионный метод может служить одним из способов объективизации контроля механизма взаимодействия низкоинтенсивных ЭМИ КВЧ диапазона с биологическими объектами.

Эффекты нетеплового воздействия миллиметрового излучения на биологические объекты / Под ред. Н.Д. Цевяткова. - М.: Ин-т радиотехники и электрон. АН СССР, 1983. - 220 с.
 Регистрация воздействия лазера на биологически активные точки тепловизором / К.К. Габелко, Г.А. Падилко, В.И. Соломонов и пр. // Тепловидение в медицине: Тез. докл. (Киев, 1984). - Киев, 1984. - С. 11-12.
 Тавая Лукован. Траниционные и остроменных соложим розделител.

3. Гаваа Лувсан. Традиционные и современные аспекты восточной ре-флексотерапии. — М.: Наука, 1986. — 576 с.
4. Основные направления создания аппаратуры для микроволновой-ре-флексодиагностики и терапии / О.И.Писанко, Л.С.Назаренко, А.Н.Балаба и др. // Современные тенденции развития медицинско-то приборостроения: Тез. докл. Всесоюз. конф. — М., 1986. — С.27—28.

УДК 615.47.537.811:616.3

В.А. Зелинский. О.И.Писанко

HUSKOUHTEHCUBHOE SJEKTPOMALHUTHOE USJIYYEHUE KBY JUNAILASOHA В КОМПЛЕКСНОМ КУРОРТНОМ ЛЕЧЕНИИ ЯЗВЕННОЙ БОЛЕЗНИ

По статистическим данным разных стран, язвенной болезнью желудка и пвеналиатиперстной кишки страдает 1-10 % населения /1-37. Высокая заболеваемость, частые рецидивы, длительная нетрудоспособность поражение лиц преимущественно молодого возраста, серьезные осложнения - все это относит язвенную болезнь к самым актуальным проблемам современной гастроэнтерологии /4, 57.

При лечении язвенной болезни вне стадии выраженного обострения на первый план выступает применение различных курортных и физических факторов /6 - 87.

В последние годи появились единичные сообщения об успешном применении низкоинтенсивного (< 10 мВт/см²) электромагнитного издучения (Эми) КВЧ диапазона при лечении язвенной болезни /9-117. Однако, на наш взгляд, эти работи имеют существенний недостаток — эффективность применения Эми КВЧ диапазона не сравнивалась с эффективностью его включения в комплексную противоязвенную терапию с использованием других физических факторов, которые уже успешно применяются при лечении язвенной болезни. Следует также отметить, что в указанных работах отсутствуют сведения с влиянии Эми на функциональное состояние желудка и двенадцатиперстной кишки.

Пель настоящей работы - изучение в сравнительном аспекте особенностей влияния низкоинтенсивного ЭМИ КВЧ диапазона и его сочетание с грязелечением на клиническое течение язвенной болезни, функциональное состояние желудка и двенадцатиперстной кишки, процессн репарации в данных органах и на основании полученных данных пазработка принципов пийференцированной курортной терапии больных язвенной болезнью. В процессе исследования изучали лечебный эфтект низкоинтенсивного ЭМИ КВЧ диапазона, а также его сочетания с пелоидотерапией. В качестве групп сравнения были взяты больные, получавшие терапию с применением ранее известных физических факторов: грязелечения и электропунктуры, а также их сочетаний. Все перечисленные физические факторы были включены в комплексное санаторно-курортное лечение больных язвенной болезнью, при этом всем папиентам назначали пиййеренцированный пвигательный режим, климатотерацию, дисту № 1, кислородные ванны, питье минеральной воды "Оле сская".

КВЧ терапию проводили по специально разработанной методике [127. В начале исследований определяли индивидуальную для каждого пациента терапевтическую частоту ЭМИ путем постоянного контроля электроэнцефалограммы и одновременного воздействия на биологически активную точку (БАТ) ЕЗ6 ("ЦЗУ-САНЬ-ЛИ") ЭМИ в интервале длин волн 5,6-3,8 мм. По изменению на электроэнцефалограмме бета-ритма на альфа-ритм, характеризующему переход кортиальных элементов коры головного мозга в спокбиюе состояние, что субъективно проявляется состоянием релаксации или сна, определяли индивидуальную терапевтическую частоту излучения.

Курс КВЧ терапии состоял из 10—15 процедур, проводимых ежедневно. Воздействие низкоинтенсивным ЭМИ осуществляли на индивидуальных для каждого больного терапевтических частотах на БАТ ЕЗ6 в течение 30 мин.

98

В качестве источника низкоинтенсивного ЭМИ применяли экспери-

ментальный образец аппарата "Электроника КВЧ" [13], обеспечивающий работу на заданной фиксированной частоте КВЧ диапазона при уровне выходной мощности не более 5 мВт.

Аппликационную пелоидотерацию проводили по митигированной методике: пелоид толщиной 3 см температурой 38 <sup>о</sup>С накладывали на область эпигастрия на 20 мин через день; всего на курс лечения 6 процедур.

Пропедурн электропунктуры назначали ежедневно (на курс 12) и проводили их с помощью аппарата "ЭЛАП-1" [74], время воздействия на каждую сегментарную БАТ составляло 4 мин. При сочетании электропунктуры с грязелечением после каждого нечетного сеанса электропунктуры (время воздействия сокращали до 2 мин) осуществляли аппликационную пелоидотерацию по митигированной методике [75]. При этом на курс лечения приходилось 12 процедур электропунктуры и 6 грязевых аппликаций.

Помимо тщательного опроса больных и данных объективных методов исследования были использованы такие методы диагностики, как
рентгенологические и эндоскопические исследования пищевода, желудка и двенадцатиперстной кишки, методики рН-гастродуоденографии и
дуоденотонографии. Указанные методы исследования были применены
к больным при поступлении в санаторий и после окончания курса лечения.

Было обследовано 350 больных язвенной болезные желудка и двенадцатиперстной кишки в возрасте 30-60 лет (из них 90 % мужчин). Язвенной болезные двенадцатиперстной кишки страдало 93 % обследованных. Заболевание у пациентов наблюдалось в различных стадиях течения: ремиссии — 8 %, нестойкие ремиссии — 50,5 %, затихающее обострение — 41,5 %. Длительность заболевания у 2/3 обследованных составляла 6 лет и более.

Все больные язвенной болезнью в зависимости от метода комплексного санаторно-курортного лечения были подразделены на пять
групп. Формирование групп проводилось методом направленно-уравнительного отбора. Первая группа больных (68 человек) получала комплексное лечение с включением пелоидотерации (лечебный комплекс —
ЛК № 1), вторая (80) — лечение с включением электропунктуры (ЛК
№ 2); третья (72) — терацию с включением сочетания электропунктуры и грязелечения (ЛК № 3), четвертая (71) — лечение с включением КВЧ терации (ЛК № 4) и пятая (59 человек) — терацию с использованием сочетания КВЧ терации и грязелечения.

При поступлении в санаторий была внявлена следущая картина. Диспенсический синдром в той или иной степени был отмечен у большинства больных. Чаще всего пациенти жаловались на изжогу и от-

рыжку (62 и 54 % соответственно), а также на тошноту (49 %), нериодическая рвота была у 9 % обследованных, ухудшение аппетита –
у ЛА %. Болевой синдром имел место у подавляющего большинства
больных и, как правило, носил типичный для язвенной болезни характер. Жалобы на боли предъявляли 89 % больных, положительный симптом Менделя был отмечен у 67 %, болезненность в точке Боаса — у
46 %. Со стороны других органов чаще всего отмечалось нарушение
функции кишечника преимущественно в виде запоров (23 %), некоторое увеличение и болезненность печени (9 %), расстройство сна (7%).

При поступлении в стационар гастродуоденофиороскопическое исследование было выполнено у 184 больных, рентгенологическое исследование верхних отделов пищеварительного тракта — у 38. При этом, по рентгеноэндоскопическим данным, язвенный дефект был зафиксиро ван у 44 % обследованных.

Дуоденотонографическое исследование было сделано 25 больным, у большинства из них (88 %) зафиксирован гиперкинетический тип двигательной активности двенадцатиперстной кишки (до 80 %), увеличение периода работы кишки, повышение частоты и амплитуды ее сокращений.

Исследование уровня кислотообразования в желудке и ощелачивания в двенадцатиперстной кишке было проведено у 200 больных. При этом уровень рН в корпусном отделе желудка составлял 1,5-0,04, в антральном отделе нейтрализации кислого желудочного содержимого практически не наблюдали и рН повисилась незначительно - до 1,7+ + 0.06. В силу этого кислое желудочное содержимое поступало в двеналпатиперстную кишку, что обусловливало низкий уровень рН-волн: в проксимельном отделе 2,0  $\pm$  0,41, в дистальном - 2,9  $\pm$  0,23. Частота кислых рН-волн в проксимальном отделе была 1,3±0,43, в дистальном  $-0.3\pm0.05$  в 1 мин. Время закисления при pH <2.5 составляло в проксимальном отделе 13+2,0 %, в дистальном - 1,7+0,34 %, а пои pH<5.0 в проксимальном отделе -  $9\pm1,2\%$ , в дистальном -  $2,6\pm$ + 0.50 %. О недостаточности ощелачивания в двенадцатиперстной кишке свидетельствует также то, что кислые рН-волны были обнаружены у подавляющего числа (94 %) больных в проксимальном отделе кишки и у большинства (63 %) - в дистальном отделе.

Таким образом, у большинства больных язвенной болезнью, поступивших в санаторий, был выявлен ряд проявлений заболевания.

Клинической апробации КВЧ терапии предпествовали экспериментальные исследования на лабораторных животных, в процессе выполнения которых был установлен ряд оптимальных параметров КВЧ воздействия и зафиксировано улучшение процессов репарации при отсутствии побочного влияния.

Для карактеристики результатов санаторной терапии использованы следующие градации эффективности: положительные результаты (значительное улучшение), а также незначительное улучшение.

Прежде чем перейти к результатам комплексной санаторно-курортной терапии в целом, остановимся на влиянии различных ЛК на клинические проявления язвенной болезни и патологии со стороны других органов, функциональное состояние желудка и двенадратиперстной кишки, а также на процессы репарации в данных органах.

Таблица І. Сравнительная частота исчезновения клинических проявлений язвенной болезни и патологии со стороны других органов после курса терапии различными лечебными комплексами  $(q \pm m_q)$ 

Проявления	Частота исчезновения проявлений заболевания, %				
заболевания	JK 16 社	JIK M 2	ЛК № 3	JK 16 4	JK 18 5
Боли Симптом Менделя Болезненность в	81 <sub>+</sub> 4,8 88 <sub>+</sub> 3,9	95±2,4 100	99±1.2 400	90+3,6 89+3,7	95+2,9 95 <u>+</u> 2,9
точке Боаса Изжога Отрыжка Тошнота Рвота Понижение аппе —	96+2,4 87+4,1 93+3,1 99+1,2 99+1,2	400 96+2,2 96+2,2 400 400	400 400 96+2,3 400 400	85+4,2 94+2,8 96+2,3 100 400	97+2,2 93∓3,4 88∓4,2 400 400
тита Увеличение пе-	100	100	400	400	₹00
чени Нарушение стула Расстройство сна	99+2,4 99 <del>1</del> 1,2 100	100 100 100	100 100 100	99+1.2 97 <del>1</del> 2.0 100	95±2,9 400 100

Рассматриван результаты таол.1, можно отметить оолее високую эффективность ЛК № 2, 3 и 5, чем ЛК № 1, и ЛК № 3 по сравнению с ЛК № 4 относительно ликвидации основного проявления болевого синдрома — болей ( $\rho < 0.05$ ). Изжога (достоверно  $\rho < 0.05$ ) исчезала при применении ЛК № 3 чаще, чем при использовании ЛК № 4, 4, 5.

Влияние санаторно-курортного лечения с помощью различных ЛК на частоту улучшения показателей ощелачивания в проксимальном и дистальном отделах двенадиатиперстной кишки (путем усреднения данных четырех показателей, характеризующих ощелачивание) представлено в табл.2.

При анализе этих результатов выявлено, что ЛК № 2, 4, 5 (достоверно  $\rho$  < 0,05) в большей степени улучшают показатели ощелачивания в проксимальном отделе двенадиатиперстной кишки, чем ЛК № 1. В то же время все использованные ЛК с близкой частотой улучшали показатели ощелачивания листального отдела кишки.

Следует отметить, что с применением ЛК № И и 3 происходило не-

Таблица 2. Влияние курса терапии с использованием различных лечебных комплексов на частоту улучшения показателей ощелачивания в двенадцатиперстной кишке  $(q\pm m_q)$ 

Отдел	Частота улучшения показателей ощелачивания, %					
	JKMI	JK 162	ЛК № 3	JIK N 4	ЛК № 5	
Проксимальный Дистальный	60±8,7 81±10,2	84 <u>+</u> 6,8 80 <u>+</u> 40,3	81 <u>+</u> 6,2 83 <u>+</u> 7,2	84 <u>+</u> 7,1 76 <u>+</u> 12,3	87 <u>+</u> 5,5 94 <u>+</u> 6,9	

Таблица 3. Частота исчезновения проявлений язвенной болезни после курса терании с использованием различных лечебных комп-JERCOB (q ± ma)

Проявления заболевания	Частота исчезновения проявлений заболевания			вания,%	
	JK 16 I	JIK N 2	JK № 3	JIK No 4	JIK № 5
Язвенный дефект Эррозивно—воспали— тельные изменения Дуоденогастральный рефлекс	53 <u>+</u> 13,3	82 <u>+</u> 9,6	76 <u>+</u> 9,5	84+6,6	67 <u>+</u> 14,2
	50-70 0	5012,1	48±11,2	67 <u>+</u> 8,7	42 <u>+</u> 9,5
	80±20,0	0	50±50,0	56±16,7	50 <u>+</u> 18,9

большое, но достоверное улучшение одного из показателей кислотообразования в желупке.

При исследовании влияния санаторно-курортного лечения на двигательную активность двенадиатиперстной кишки было выявлено, что ее нормализация или улучшение имели место у 55 % больных, продолжительность периода покоя нормализовалась или уменьшилась у 76 % обследованных (соответственно у этого же числа больных увеличилась продолжительность периода покоя), частота сокращений кишки стала реже у 72 % больных, а амплитуда сокращений - у 40 %.

Из полученных по данным энцоскопии результатов (табл. 3) оледует, что ЛК № 4 (достоверно р < 0,05) в большей степени увеличивает частоту рубцевания гастродуоденальных язв, чем ЛК № 1.в остальных случаях различия статистически несущественны.

С учетом совокупности динамики клинических проявлений болезни, функционального состояния желудка и двенадцатиперстной кишки, процессов репарации в данных органах эффективность санаторно-курортной терапии может быть представлена следующим образом (табл.4).

В целом положительные результаты лечения отмечены у 88% больных. Из числа изученных ЛК наиболее эффективным оказался ЛК № 5, несколько ниже была эффективность ЛК № 4, 3 и 2.

Рассматривая полученные в работе результаты, отмечаем, что у больных язвенной болезнью, прибивших на лечение в стадиях ремиссии, нестойкой ремиссии и затихающего обострения, был выявлен целый ряд 102

проявлений язвенной болезни. Это потребовало проведения комплексного санаторно-курортного лечения, которое оказалось эффективным при использовании всех ЛК у большинства (80 %) больных.

Клинико-лабораторный контроль состояния основных органов и систем организма больных не выявил побочного пействия примененных методов тера-DMM.

Таблица 4. Эффективность санатерно-курортной терапии язвенной болезни при использовании различных лечебных комплексов  $(q \pm m_s)$ 

Лечебный комплекс	Частота лечебного эффекта, %			
	Положитель- ные резуль- таты	Незначи— тельное улучшение		
版 版 版 版 版 版 版	81+4,8 87,573,7 8973,7 9073,6 9273,5	19:4,8 12:573.7 1173.7 1043.6 873.5		

### Выводы

- 1. Изученные методы аппаратной физиотерации и грязелечения сказались эффективными в комплексном курортном лечении больных язвенной болезнью, при одинаковой направленности действия выявлены особенности влияния примененных методов терапии в зависимости от клинических вариантов, характера их влияния на функциональное состояние желудка и двенадцатиперстной кишки, процессы репарации.
- 2. При клинических наблюдениях выявлены эффективность КВЧ воздействия в комплексной терапии больных язвенной болезные и стсутствие побочных проявлений.
- 3. Наиболее эффективными в отношении болевого и диспенсического синдромов оказались сочетание грязелечения с электропунктурой, а также электропунктура.
- 4. Показатели кислотообразования в жедунке несколько удучнаются при использовании пелоидотералии и ее сочетания с электропунктурой, в большей степени улучшаются показатели ощелачивания в двенадцатиперстной кишке при сочетании с грязелечением.
- 5. При вовлечении в патологический процесс печени и кишечника Эффект терапии у больных язвенной болезнью был выше после применения электропунктуры и ее сочетания с грязелечением.
- 6. Процессы репарации более выражены при лечении с использованием КВЧ воздействия.
- 7. Низкоинтенсивное ЭМИ КВЧ диапазона является эффективным методом лечения извенной болезни желудка и пвенадратиперстной кишки в комплексном санаторно-курортном лечении.
- Василенко В.Х., Гребенев А.Л. Болезни желудка и 42-перстной ки-шки. М.: Медицина, 1981. 344 с.
   Радбиль О.С. Язвенная болезнь: Обзор. М.: Медицина, 1984. —
- 3. Lorent P., Kreimer E. Kpankheiten des Verdanungsustems in We-

in // Wien.-Med. - 1981..- 131, N 23/24. - P. 587-588.

4. Бурчинский Г.И. Язвенная болезнь желушка и 12-перстной кишки//

Практическая гастроэнтерология. — Киев. 1978. — С. 77—129. 5. Логинов А.С. Итоги развития клинической гастроэнтерологии за прошедшее пятилетие и ее перспективы // Терапевт. арх. — 1981. — 53. № 1. — С. 11—15. 6. Сереорина Л.А. Материалы к обоснованию лечебного применения

пелоидов при язвенной болезни: Дис. ... д-ра мед. наук. - М.,

1968. — 544 с.
7. Циммерман Я.С. Некоторые актуальные вопросы физиотерапии язвенной болезни // Актуальные вопросы физиотерапии и курортологии: Матер. обл. конф. физиотерапевтов, курортологов и врачей санаториев профилакториев предприятий. — Пермь, 1974. —

ž,

8. Skapik N., Fixa B. Einflussader Kurbehandling anf die Immen-reaktivitat von Patienten mit Ulkuskrenkseit des Swolffingerdarms // Z.Physiother. - 1981. - 33, N 4. - P. 245-249.

9. Андреев Е.А. Белый М.У., Ситько С.П. Реакция организма человека на электромагнитное излучение миллиметрового диапазона// Вестн. АН СССР. — 1985. — № 1. — С. 24-32.

10. Применение волн миллиметрового плапазона для лечения хронических язв гастродуоденальной зоны / Л.З.Балакирева М.Б.Годант, А.А.Головаток // Электрон. пром-сть. — 1985.

№ 1. - С. 9-10. И. Применение электромагнитного КВЧ-излучения низкой интенсивно-11. применение электроматнитного квч-излучения низкой интенсивности для лечения неосложненной гастродуоденальной язвы/П.Г.Гассанов, В.А.Зелинский, О.И.Писанко и др. // Там же. — 1987. — № 1. — С. 31—33.

12. А.с. 1233874 СССР, МКИ А 67 № 5/00. Способ лечения больных язвенной болезнью желудка и двенадцатишерстной кишки/И.С.Черкасов, А.А.Лобенко, В.А.Зелинский и др. // Открытия. Изобретения. — 1986. — № 20. — С. 14.

13. Приборы для микроволновой диагностики в медико-биологических исследованиях и коррекции физиологических состояний организма при некоторых его патологиях / О.И.Писанко. Л.С. Назаренко, В.А. Добровинский и др. // Электрон. техника. Сер. Электроника СВЧ. — 1987. — Вып. 1. — С. 53—55.

14. Портнов Ф.Г. Электропунктурная рефлексотерация. — Рига: Зинат-

не, 1980. — 218 с. мки<sup>3</sup> A 61 Н 39/00. Способ лечения язвенной болезни желупка и двенаплатиперстной кишки / Л.А.Серебрина, М.А.Сивый // Открытия. Изобретения. — 1981. — № 9. — С. 23.

УШК 621.317+615.475

В.Д.Искин

ИНСТРУМЕНТАЛЬНЫЕ МЕТОДЫ ИССЛЕДОВАНИЯ БИОЛОГИЧЕСКИХ СИСТЕМ В МИЛЛИМЕТРОВОМ ДИАПАЗОНЕ РАЛИОВОЛН

Биологические эффекты (БЭФ) миллиметровых волн (ММВ) (КВЧ дианазонов: 37-78 ТТц), впервые обнаруженные советскими исследователями более 20 лет назад и наблюдавшиеся в дальнейшем во многих научных лабораториях как в СССР, так и за рубежом, как известно, отличаются от биологического действия ионизирующей радиации и низкочастотных электромагнитных полей рядом особенностей /1/: высокая критичность к вариации частоты воздействующего излучения; очень низкий 104

энергетический порог проявления биологического действия; независимость от плотности потока мощности излучения в широком диапазоне ее изменения; отсутствие прямой пространственной корреляции между биологической зоной воздействия и зоной "отклика" на это воздействие в живом организме: совпадение биотропных параметров КВЧ излучения для биологических систем различного уровня организации от микроорганизмов до человека.

Перечисленные выше и ряд других феноменологических аспектов проблемы /27 характеризуют ее сложность и необходимость комплексного научного подхода, причем развернувшаяся в последнее время дискуссия вокруг некоторых важных вопросов, например, в связи с "резонансным" характером биологического действия микроволн, и наличие полярных точек зрения относительно каждого из них лишь усугубляют и без того сложную ситуацию при планировании и постановке конкретных экспериментов.

Следует отметить, что имеющиеся практические результаты по предпосевной обработке зерна хотя и отражают тенденцию традиционного использования новых источников электромагнитной энергии в сельском хозяйстве, но далеко не исчерпывают возможности КВЧ диапазона. Более того, по технико-экономическим соображениям /37 к наиболее вероятным перспективным областям применения КВЧ излучения в сельском хозяйстве в первую очередь, по-видимому, следует отнести селекцию, генную инженерию, иммуно-, крио- и радиозащиту геноносителей в растениеводстве, животноводстве, рыбоводстве, экспериментальной ветеринарии, что, в свою очередь, определяет соответствующие объекты исследований: жидкие, гелеобразные и мелкодисперсные порошковые биологические материалы.

В этом плане упомянутые методологические трудности в проведении экспериментальных исследований вполне обобщаются двумя положениями /27.

1. До сих пор нет четких, определенных и всесторонне обоснованных критериев наличия БЭФ ММВ в том или другом конкретном эксперименте. Этот главный результат любых подобных исследований есть эффект или он отсутствует - всегда в значительной степени субъективен и зависит от интуиции и опыта экспериментатора, корректности постановки опытов и многих других объективно неконтролируемых факторов.

Таким образом, назрела необходимость построения достаточно строгой и общей научной физико-математической аргументации достоверного обнаружения БЭФ ММВ с учетом как биологических (естественный разброс параметров контрольной среды, неконтролируемая возможная вариация внешних условий опыта и т.д.), так и радиофизических

(неравномерность СВЧ поля, нестабильность частоти, рассот сования в СВЧ тракте и т.д.) неопределенностей.

2. Отсутствует достаточно обоснованная и унифицированная техническая элементная база проведения экспериментальных исследований, что, во-первых, создает значительные организационные трудности при проведении работ, во-вторых, исключает возможность перепроверки получаемых результатов в различных лабораториях. в-третьих, часто приводит к получению ложных БЭФ, мешает корректной постановке экспериментов и убедительной интерпретации полученных результатов.

Причем можно с уверенностью утверждать, что благополучное разрешение второго комплекса вопросов - разработка, создание и широкое внедрение инструментальных методов и технических средств, специально предназначенных для исследов им биологических систем в миллиметровом диапазоне радиоволн - не только актуально само по себе, но позволит также успешно справиться и с вопросами, упомянутыми в первом из указанных обобщений, взяв за основу, например, теорию обнаружения сигналов на фоне случайных помех: из дальнейшего будет понятна уместность этой теории применительно к данной проблеме.

Высказанные выше соображения определяют основные технические задачи на данном этапе: разработка методов исследования биологических систем с характерними размерами  $d \ll \lambda$  (культури клеток, суспензии микроорганизмов, пыльца растений и т.п.), позволяющих ускорить и повысить достоверность индикации биологического действия КВЧ излучения; разработка устройств сопряжения элементов базы КВЧ диапазона с конкретными биологическими системами - устройств, удовлетворяющих как радиофизическим требованиям (низкий КСВН, равномерная структура поля, отсутствие точки "перегре " и т.п.), так и биологическим (возможность стерилизации, простота реализации последующих биофизичес...х методик анализа и т.п.): создание необходимой макетно-элементной базы, техническое и метрологическое обеспечение экспериментальной апробации разработанных методов и устройств в организациях медицинского, биологического и сельскохозяйственного профиля; технологическая и методическая подготовка серийного производства наиболее удачных технических решений для их широкого внедрения в сельскохозяйственную науку и производство, включая активные и пассивные КВЧ устройства.

В совокупности названные задачи характеризуют новое научное направление, кратко сформулированное в названии этой статьи. начало которому положено публикациями [4, 5]. Сюда вошли как теорети-106

ческие радиофизические предложения автора, связанные с научной экспериментальной организацией исследований в частотном лиапазоне 37-78 ГГц, так и некоторые конструктивные разработки.

Поясним коротко сущность предлагаемого подхода, изложенного B/4-67.

Существующие методы поиска БЭФ микроволнового излучения заключаются в облучении одной или нескольких порций биологической среды КВЧ излучением на фиксированной частоте и последующем анализе свойств биологической среды по сравнению с контролем с целью установления корреляции между свойствами облученной среды и параметрами КВЧ излучения (мощностью, частотой).

Негостаток такого подхода - необходимость проведения цикла экспериментальных исследований на каждой фиксированной частоте (эта необходимость продиктована известной из множества публикаций ярко выраженной частотной зависимостью БЭФ ММВ, т.е. их узкополосностью). Следствием отмеченного недостатка являются чрезвычайная длительность, трудоемкость, рутинность поиска биологически активных радиочастот.

В отличие от изложенного традиционного подхода в основу предлагаемой методики исследований положено следующее техническое решение: биологическую среду облучают одновременно на нескольких частотах (или даже в полосе частот), а биологически активную частоту определяют по характеру пространственного (в системе координат, жестко связанной с исследуемой средой) распределения БЭФ в среде по априорно известному, заложенному при облучении алгоритму.

Сформулированный подход в случае его успешной реализации, несомненно, позволит существенно снизить временные затраты и трудоемкость экспериментального поиска биологически активных радиочастот, повысить достоверность получаемых результатов. Что же касается упомянутой практической реализации, то имеющиеся некоторые экспериментальные пробы дают основания для оптимизма.

Различные модификации этого метода и примеры его осуществления, учитывающие конкретные условия проведения экспериментов, свойства различных биологических систем и другие параметры, а также технические решения, расширяющие область применения предложенного метода, охвачены группой работ /4-197.

Необходимо подчеркнуть, что создание охарактеризованных выше методов и устройств с заданными параметрами требует исчерпывающего знания диэлектрических свойств исследуемых биологических систем, что, в свою очередь, потребовало разработки соответствующих измерительных средств. Здесь за методическую основу измерения ком-

плексной пиэлектрической проницаемости биологических систем (а также небиологических - модельных жидких и порошковых веществ) была взята дифференциальная методика измерений, впервые предложенная В.А.Кашпуром и В.Я.Малеевым (1971 г.) и заключающаяся в просвечивании последовательно расположенных образцового и исследуемого объектов при вариации их геометрических размеров и постоянной суммарной толщине, т.е. при неизменном согласованим.

Этот подход был развит /20-23/ и практически реализован в группе публикаций, отраженных в резюмирующей работе [247. Сейчас осуществляются техническая проработка и экспериментальная апробация новых технических решений, изложенных в /25, 267.

В настоящее время на кафедре физики ХИМЭСХ имеются реализованные конструкторские разработки и аппаратурные стенды, направленные на решение ряда экспериментальных задач (рис.1-4,см. вклейку).

Установка для измерения комплексной диэлектрической проницаемости разбавленных водных растворов (рис.1), внедренная в 1982г. во Всесоюзном научно-исследовательском институте животноводства Лесостепи и Полесья УССР для исследования свойств растворов куриного желтка [24], является прототипом создаваемых сейчас новых средств для дифференциальных измерений комплексной диэлектрической проницаемости различных веществ и материалов.

На рис. 2 изображены кюветы, конструкция и принцип работы которых позволяет реализовать целый ряд предложенных новых технических решений как в области диэлектрических измерений /257, так и для исследований биологического действия КВЧ излучения на жидкие и порошкообразные системы /7, 11. 197. Простота и отработанная технологичность изготовления этих кювет, их многофункциональность и широкополосность позволяют уже сейчас ориентироваться на их широкое тиражирование и использование в практике биологических и сельскохозяйственных исследований.

Устройства, изображенные на рис. 3, как и предыдущие, представляются наиболее удачным решением задачи микроволновой обработки жидких биологических систем и монослоя культуры клеток. Несмотря на внешнюю простоту, эти устройства, реализующие ряд методических новинок /11, 25/ и характеризующиеся хорошими радиофизическими карактеристиками (КСВН <2) во всей частотной полосе КВЧ диапазона, содержат в себе несколько технических особенностей, обеспечивающих герметизацию биологической среды и волноводного тракта с возможностью стерилизаціи кюветы нагреванием при температурах вплоть до 120-130 °C. Подобные устройства представляются первым шагом на пути повышения производительности микроволновой обработки биологи-**801** 

ческой среды и доведения ее до технологически значимых в микробиологической промышленности объемов.

Установка, изображенная на рис. 4, предназначена для исследования воздействия КВЧ излучения на биологические липидные мембраны (БЛМ) и создана с помощью сотрудников Института проблем криобиологии и криомедицины АН УССР в плане технической реализации устройства /167.

Общая характеристика полученных экспериментальных результатов в основном сводится к следующему: экспериментальная апробация разработанных средств измерения комплексной диэлектрической проницаемости влагонасыщенных систем подтверждает, что измерение действительной и мнимой частей комплексной диэлектрической проницаемости с точностью 0,3 % является вполне разрешимой задачей; экспериментальные результаты по воздействию КВЧ излучения на биологические системы в организациях биологического и сельскохозяйственного профиля в настоящее время могут быть сформулированы так: а) наличие вполне определенных БЭФ при воздействии СВЧ поля не вызывает сомнений у экспериментаторов; б) сущность зарегистрированных БЭФ позволяет уже сейчас ставить вопрос о широком внедрении разрабатываемых устройств в соответствующих отраслях.

Сказанное позволяет рассчитывать на то, что дальнейшие работы в названном научном направлении приведут к подтверждению некоторых известных и достоверному обнаружению новых БЭФ ММВ, а следовательно, к цели этих исследований: широкому внедрению в практику сельскохозяйственного производстава методов и устройств КВЧ диапазона, реализующих обнаруженные БЭФ на уровне новых высокоэффективных технологий.

Автор выражает признательность всем своим соавторам по докладу, сделанному на сессии Научного совета АН УССР по проблеме "Физика и техника миллиметровых и субмиллиметровых электромагнитных волн", материалы которого легли в основу этой статьи.

ных волн", материалы которого легли в основу этом статьи.

1. Зффекты нетеплового воздействия миллиметрового излучения на ойслогические объекты /Под ред. Н.Д.Девяткова.—М., 1983.—220 с.

2. Биологические эффекты миллиметровых волн: Обзор /В.Д.Искин, Ю.В. Завгородний, Н.М.Яценко и др. // Рук.деп. в ВИНИТИ. — 1987. — № 7591—В87. — С. 75.

3. Искин В.Д., Яценко Н.М. Биологические эффекты микроволнового излучения // Механиз. и электрифик. с.х. — 1987. — № 12.—С.39.

4. Искин В.Д. Радиофизические аспекты методологии поиска резонансных биологически активных частот в миллиметровом диапазоне радиоволн // Биофизика. — 1985. — 30, вып. 3. — С. 492.

5. Искин В.Д. Радиофизические метолы поиска биологических эффектов микроволнового излучения // Рук. деп. в ВИНИГИ. — 1987. — № 7592—В87. — С. 49.

6. А.С. 1209239 СССР, МКИ А 61 № 5/02. Способ определения частот для воздействия на биологические ткани / В.Д.Искин, Л.П.Демина,

для воздействия на биологические ткани / В.Д.Искин, Л.П.Демина.

П.А.Клейман и до.//Открытия.Изобретения. 1988. № 5.—С. 36.
7. А.С. 1234762 СССР, МКИ G OI № 23/00. Способ определения био-логически активных радиочастот / В.Д.Искин, М.Л.Гольдин, Л.Ф.Кучин, А.В.Медведовский // Там же. — № 20. — С. 196.
8. А.С. 1325342 СССР, МКИ G OI № 27/02. Способ контроля свойств биологической среды / В.Д.Искин // Там же. — 1989. — № 27. —

С. 161.

9. А.с. 1167483, МКИ<sup>4</sup> G OI № 22/00. Устройство для поиска биоло-гически активных радиочастот / В.Д.Искин, Л.Г.Айзенберг, С.Д.Богаенко, Г.В.Арзамасцев // Там же. — 1985. — № 26.—С.172.

10. А.с. 1295906 СССР, МКИ G OI № 33/48. Способ поиска биологически активных радиочастот / В.Д.Искин // Там же. — 1987. — № 17. — С. 272.

11. А.с. 1170334 СССР, МКИ G OI № 22/00. Устройство для исследования микроорганизмов с использованием микроволн / В.Д.Искин, Г.В.Арзамасцев, Л.Ф.Кучин, В.А.Грабина // Там же. — 1985. — № 28. — С. 465.

1988. — № 11. — С. 285.

13. А.с. 1366925 СССР, МКИ G OI N 22/00. Способ поиска биологи—чески активных радиочастот / В.Д. Искин // Там же. — 1988. — № 2. — С. 181.

14. А.с. 1357809 СССР, МКИ GOIN 22/00. Устройство для поиска биологически активных радиочастот / В.Д.Искин, А.Г.Лазаренко//

биологически активных радиочастот / В.Д.Искин, А.Г.Лазаренко//
Там же. — 1987. — № 45. — С. 162.

15. А.с. 1366926 СССР, МКИ G OI N 22/00. Устройство для поиска биологически активных радиочастот / В.Д.Искин // Там же. — 1988. — № 2. — С. 182.

16. А.с. 1341559 СССР, МКИ G OI N 22/00. Устройство для исследования свойств биологической среды / В.Д.Искин, С.В.Руденко // Там же. — 1987. — № 36. — С.202.

17. Искин В.Д. Метод ускоренного поиска частотно—зависимых биологических эффектов миллиметровых волн: Тез. докл. // УД Всесоюз. семинар "Применение мм излучения низкой интенсивности в биологии и медицине". — Эвенигород, 1986. — С. 98—99.

18. Искин В.Д., Райс Б.Г., Медведовский А.В. Кквети для микроволновой обработки биологических систем // Там же. — С. 100—101.

19. Искин В.Д., Медведовский А.В. Разработка и экспериментальная апробация кювет для микроволновой обработки биологических систем // Рук. деп. в Винити. — 1987. — № 2616—В87. — С. 19.

20. А.с. 853501 СССР, МКИ G OIN 22/00. Устройство для определения диэлектрической проницаемости растворов / В.Д.Искин, Л.Ф.Кучин, А.С.Черепнев // Открытия. Изобретения. — 1981. — № 29. — С. 210.

1. 2. 1, учин, н. о. тереннов // старительнов до положения деления де

23. Искин В.Д., Кучин Л.Ф. Радиоволновый контроль веществ методом дийберенциальной модуляции зондирующего излучения // Электрон. обработка материалов. — 1983. — 18 3. — С. 73—75.

24. Искин В.Л. Исследование свойств жидких растворов в миллиметровом диапазоне радиоволн и разработка устройств контроля их малых изменений: Автореф. дис. . . канд. техн. наук. — Минск,

25. А.с. 1305609 СССР, МКИ GOI F 27/26. Устройство для измерения параметров пиэлектриков / В.Д.Искин // Открытия. Изобретения. — 1987. — 15. — С. 184. GOI N 22/04. Влагомер. /Л.Г.Айзенберг, В.Д.Искин // Там же. — 1985. — 16 45. — С. 168.

YJK 621.347+645.475

В.Д. Искин, Г.Т.Буткус, А.В.Бутенко, А.В.Медведовский ИССЛЕДОВАНИЕ СТРУКТУРЫ ПОЛЯ ИЗЛУЧЕНИЯ диэлектрического стерын в воде

Введение. Одним из перспективных приложений техники миллиметровых волн (КВЧ диапазон: 37-78 ГТц) является использование излучения этого частотного длапазона в научных и практических задачах биологии, медицины и сельского хозяйства [1, 2].

В настоящее время основные трудности в постановке корректных научных экспериментов, связанных с изучением биологического действия КВЧ излучения, сводятся к недостаточно звитой для указанных целей элементной базе КВЧ техники. Особые проблемы возникают при сопряжении конкретных биологических объектов, в том числе жидких биологических систем (БС), с источниками излучения: трудности согласования, устранение точек "перегрева", обеспечение изучения свойств биологической среды непосредственно в процессе микроволновой обработки и т.д., причем наиболее распространенный экспериментальный подход, заключающийся в использовании рупорных излучателей различных конструкций, расположенных над или под плоским слоем облучаемой БС, содержит весь набор упомянутых недостатков [3]. Это приводит к многочисленным артефактам и существенно усложняет интерпретацию получаемых результатов.

Настоящая статья посвящена экспериментальному изучению КВЧ излучателей, предложенных в ряде недавних публикаций /4-7/ и имеющих, по мнению авторов, значительные преимущества перед существующими.

1. Постановка и краткая характеристика задачи. В последнее время обозначился новый подход к экспериментальному изучению биологического действия радиоволн КВЧ диапазона [4-9]. Этот подход заключается в установлении пространственной корреляции (в системе координат, жестко связанной с исследуемой БС) между амплитудой поля падающей на БС электромагнитной волны и свойствами биологической среды. Для практической реализации такого метода исследований в качестве одного из вариантов КВЧ излучателя предложен радиопрозрачный стержень, полностью погруженный в биологическую среду, а соотношение между диэлектрической проницаемостью стержня  $\mathcal{E}_{\mathcal{CT}}$ и среды  $\mathcal{E}_{co}$  описывается неравенством  $\mathcal{E}_{cr} < \mathcal{E}_{co} \setminus \mathcal{E}_{co} \setminus \mathcal{E}_{co}$ . Здесь необходимо подчеркнуть, что приведенное неравенство не только по определению нехарактерно для широко распространенных диэлектрических волноводов, но и по существу содержит в себе мало изученный в

1.

теоретической и прикладной электродинамике случай распростране— ния электромагнитной волны в СВЧ тракте с граничными условиями, учитывающими комплексность диэлектрической проницаемости окружа— ющей среды.

В то же время именно прямоугольные диэлектрические стержни (ДС) представляют первоочередной практический интерес в конкретных задачах микроволновой радиобиологии в тех случаях, когда требуются плоскопараллельные и оптически прозрачные грани для микроскопических исследований БС, расположенных вблизи поверхностей стержня, непосредственно в процессе облучения. Например, в 157 в такой системе предложено использовать режим стоячей волны для поиска участков БС, карактеризующихся экстремальными изменениями ее биофизических свойств, с целью последующего определения оптимальной биологически активной частоты КВЧ излучения; в 197 описывается методика исследований БС, основанная на экспоненциальном затухании КВЧ поля вдоль оси стержня на его поверхности.

В связи с этим возникает ряд вопросов, касающихся возможности реализации с помощью описанного излучателя предложенных методик исследований, а именно: каков характер затухания мощности КВЧ волны в биологической среде, расположенной на или волизи поверхности стержня вдоль его оси, и существуют ли пути варьирования этого затухания; возможно ли создание в БС периодической в пространстве и неизменной во времени амплитуды КВЧ поля с нулевыми значениями в узлах и равными расстояниями между ними (ведь глубина проникновения КВЧ поля в БС на порядок меньше его длины волны); какова модовая структура КВЧ поля в стержне; каким образом можно обеспечить энергетически равномерное облучение БС.

Далее при рассмотрении этих вопросов для определенности вместо реальной биологической среды (суспензии микроорганизмов, культуры клеток в физрастворе и т.п.) в качестве модельного объекта используется водопроводная вода, электрофизические свойства которой близки к свойствам названных БС.

2. Некоторые теоретические оценки. Строгое теоретическое рассмотрение особенностей распространения КВЧ волны в диэлектрическом стержне, окруженном водой ( £ = 20+29,8 i) на частоте 37,5 ГТц

[ТО] сопряжено со значительными трудностями. Более того, если
для аксиально-симметричных волноводных систем (стержень круглого
сечения) решение охарактеризованной задачи возможно хотя бы численными методами исходя из известного общего решения уравнений
максвелла в пилиндрических функциях [ТО], то для стержней прямоугольного сечения возникающие аналитические трудности связаны с невозможностью разделения переменных в получаемых дифференциальных

112

уравнениях и с некорректностью использования приближенных граничных условий Леонтовича - Шукина на границе диэлектрик - вода.

Тем не менее можно провести некоторые численные оценки для волны Н<sub>10</sub>, опираясь на ее представление в виде двух плоских волн, распространяющихся под углом друг к другу ∠127.

Как известно /12/, потери (погонное затухание  $\ll$  (мм $^{-1}$ ) вдоль оси волновода) в металлических стенках волновода могут быть рассчитаны из выражения

$$\alpha^{M} = \frac{1}{2} \frac{R_{s} \int_{0}^{A} H_{eg}^{2} dl}{R_{e} \int_{0}^{A} \left[ \int_{0}^{E} x \, \vec{H}^{*} \right] \vec{i}_{z}^{*} ds} , \qquad (1)$$

где  $R_s$  — активная составляющая поверхностного сопротивления на единицу длины проводника;  $\tilde{\ell}_z$  — вектор, коллинеарный оси волновода;  $H_{tg}$  — тангенциальная составляющая напряженности магнитного поля; L и s — параметр и площадь поперечного сечения волновода соответственно.

Из (1) следует, что в величину  $\ll$  дают вклад потери мощности в широких  $\ll$ , и узких  $\ll$ , стенках волновода:  $\ll = \ll_{\chi} + \ll_{\chi}$ . Для медных волноводов  $\ll^{2} \approx 10^{-5}$  мм $^{-1}$ , причем раздельное интегрирование числителя (1) по  $\ll$  и по  $\ll$  позволяет рассчитать

$$\xi = \frac{d_A^M}{d_y^M} > 7. \tag{2}$$

Тогда для системы стержень — вода (С — В) согласно /4/  $\chi_f^f$  может быть рассчитано классическими методами исходя из упомянутого разложения волны  $H_{AO}$  на плоские волны, а  $\chi_f^f$  затем можно найти, используя значение f=3 для металлических волноводов, полученное из (1). Однако в этом случае  $\chi_f^f$  оказывается значительно больше ( $\sim 0.1$  мм $^{-1}$ ), чем рассчитанное непосредственно по формуле (1) /4/. Это расхождение свидетельствует о существенном нарушении в случае С — В тех физических предположений и математических приближений, в рамках которых выведено выражение (1), что, в свою очередь, вообще ставит под сомноние справедливость в данном случае неравенства (2). Описанные теоретические трудности, как следствие, содержат один из принципиальных вопросов, на которые может дать ответ только эксперимент: справедливо ли высказанное в /4/ предположение о распространении в системе С — В волны, близкой по своей структуре к волне типа  $H_{TO}$  прямоугольного металлического волновода.

IIЗ

$$\mathcal{L}^{M} \ll \mathcal{L}^{g} \ll \mathcal{L}^{g}_{a}, \qquad (3)$$

где  $\mathcal{A}_{o}^{\theta}=2$ ,185 мм $^{-1}$  [4] характеризует погонное затухание в воде как таковой по закону

$$\rho' = \rho' e^{-2} \lambda_0^{\ell} \chi \quad . \tag{4}$$

Аналогичная зависимость имеет место и вдоль оси и стержня

$$P_z = P_{oz} e^{-2\Delta^{\delta} z} , \qquad (5)$$

а потери мощности на единицу длины стержня или, что то же самое, плотность потока мощности  $\rho$  на облучаемой БС находятся из (5)

$$\rho = -\frac{1}{L} \frac{\partial \rho_{\chi}}{\partial z} = \frac{2\lambda^{\delta} \rho_{\sigma \chi}}{L} e^{-2\lambda^{\delta} \chi} . \tag{6}$$

Из (6) следует, что для примерно равновнергетического облучения БС вдоль оси стержня в режиме бегущей волны (5) необходимо выполнение условия

$$d^{\delta_T} \ll 1 \tag{7}$$

При создании в стержне режима короткого замыкания путем, например, металлизации его торца для результирующей волны в стержне имеем

$$\rho_{z}^{\rho} = 2\rho_{oz} e^{-2a^{\theta}z} \sin kz \quad , \tag{8}$$

и выполнение (7), как видно из (8), позволяет реализовать в стержне режим, близкий к режиму стоячей волни. В этом случае, как видно из сравнения (5) и (6), которые имеют одинаковую функциональную зависимость, в приповерхностных слоях стержня можно ожидать существования также периодической вдоль оси z структуры поля, повторяющей (с точностью до постоянного множителя) зависимость (8). Таким образом, выполнение (7) позволяет вплотную подойти к практическому осуществлению предложенных в  $\sqrt{4-6}$ ,  $\sqrt{8}$  методов исследования БС.

Однако приведенные ранее численные оценки  $\mathcal{A}^{\mathcal{E}}$  даже при справедливости неравенств (3), которые, как уже говорилось, сами нуждаются в экспериментальном подтверждении, не дают оснований для выполнения (7) на величинах z, достаточных для наблюдения нескольких (хотя бы двух) экстремумов стоячей волны с нулевыми значениями мощности в узлах.

Значительное уменьшение  $\mathcal{A}^{\delta}$  с целью выполнения (7) на боль—

ших длинах стержня z можно попробовать достигнуть покрытием
повержности стержня тонким слоем металла с соблюдением условия

$$d \ll c_a^{\dagger} , \qquad (9)$$

где d — толщина слоя покрытия, в  $d_0$  — величина скин—слоя ( $\sim$ 0,3 мкм) материала покрытия на используемых частотах. Если такой прием приведет к справед—ливости (7), то (8) преобразу—ется к виду

$$P(z) \simeq P_0 \sin kz$$
, (10)

и на поверхности стержня зависимость  $\rho(z)$  должна иметь аналогичный синусоидальный вид.

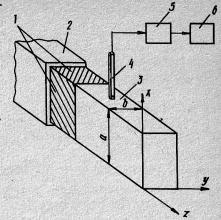


Рис. 1. Схема измерений: 5 — предусилитель с источником напряжения смещения; 6 — селек тивный нановольтметр

3. Описание экспериментальной установки и методики измерений. Схема измерения структури поля КВЧ излучения диэлектрических стер жней в воле показана на рис. Т.

Исследуемые образим излучателей состояли из отрезков прямоу-гольных медных волноводов 2 стандартных сечений ( $a \times b$ ), каждый из которых заканчивался отрезком диэлектрического стержня 3 — плавленого кварца марки КВ ( $\varepsilon' = 3.8$ ;  $tg \theta \simeq 10^{-4}$ ) с зеркально полированными поверхностями. Герметичность соединения волновода 2 со стержнем 3 обеспечивалась водостойким радиопрозрачным клеем K-400. Участки поверхностей стержня в месте соединения с волноводом предварительно металлизировались путем термического впекания азотно-кислого серебра 1 с толщиной покрытия не менее 5 мкм. Медные покрытия с толщиной слоя 50-200 Å, (т.е. меньше скин-слоя меди в используемом диапазоне частот; далее: СП — скин-покрытие) наносились путем вакуумного напыления.

Длина стержней вибиралась большей, чем рассчитанная из предположения  $\mathcal{A}^{g} \simeq 0.1 \text{ мм}^{-1}$  (см. п.2) для затухания 60 дБ, и равнялась 60 мм. Ближний к генератору конец стержня для улучшения согласования имел форму пирамиды высотой  $\sim 15$  мм. Каждый образец
был снабжен емкостью, заполнение которой водой обеспечивало полное погружение ДС в воду. В описанных условиях коэффициент стоячей волны напряжения (КСВН) СВЧ тракта, измеренный с помощью панорамного измерителя КСВН и ослаблений P2-65/68/69, с подключенным

ДС не превышал 1,7 (после заполнения емкости) в полосе частот 37-78 ITu.

Для измерения распределения поля применялся миниатюрный зонд 4, подробно описанный в /ТЗ/. Его основные характеристики, существенные для данного эксперимента, следующие: размеры – 0,3х0,8 х х 30 мм, пространственное разрешение – не хуже 0,3 мм, чувствительность в диапазоне 37-78 ГТц — не хуже 2 мВ/мВт см<sup>-2</sup> в пересчете на плотность потока мощности плоской волны.

Выходной сигнал зонда Р пропорционален квадрату амплитуды электрического поля  $1 \in \mathbb{Z}^2$  1. В эксперименте измерялись относительные величины, поэтому зонд не калибровался. Точность измерения составляла  $\pm$  10 %.

Перемещение зонда в пространстве относительно стержня производилось с помощью трехкоординатного механизма. В связи с конечными габаритами зонда, а также из-за трудностей визуальной юстировки исходное положение зонда устанавливалось с точностью 0,2мм. Погрешность относительных измерений x, y, z при перемещениях зонда не превышала 0,05 мм.

Во всех последующих экспериментах, где это особо не оговорено, чувствительный элемент зонда 4 (антенна с детектором — диодом Шоттки) находился на внсоте не менее 0,3 мм над узкой стенкой стержня или на расстоянии не менее 0,5 мм от широкой его стенки, что связано с геометрией зонда.

4. Анализ результатов. На рис. 2, 3 показаны зависимости  $\rho(z)$ , снятые вблизи широких и узких стенок стержней без покрытий (рис. 2) и с покрытиями (рис. 3). Штрихом изображены соответствующие зависимости от координаты z побонного затухания  $\boldsymbol{\alpha}$  (для упрощения все обозначения  $\boldsymbol{\alpha}_{r}^{g}$ ,  $\boldsymbol{\alpha}_{g}^{g}$ ,  $\boldsymbol{\alpha}_{g}^{g}$ , без утраты своего смысловото значения, которое следует из описания  $\boldsymbol{\rho}(z)$ , заменены символом  $\boldsymbol{\alpha}$ ).

Из рис.2 следует, что в пределах погрешностей измерений ( $\sim$  10 %) погонное затухание  $\alpha_y^6$  вдоль узких стенок меньше затужания  $\alpha_X^6$  вдоль широких стенок стержней. Значит, соотношение (2), полученное из (1) в предположении больших значений проводимости стенок волновода, справедливо и для рассматриваемого случая C - B.

Немонотонности в кривых на рис. 2, 3, особенно на начальных участках при небольших z, объясняются, по-видимому, наличием резкой границы металл — вода в материале стенок стержней и возбуждением на этой неоднородности вторичных волн. Эти волны, как видно из графиков, влияют на структуру поля не только волизи границы 116

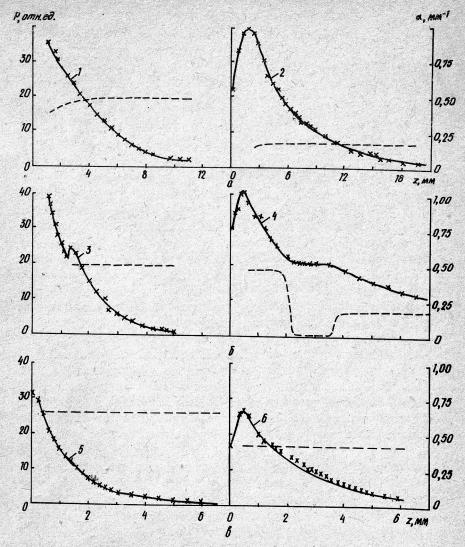


Рис. 2. Зависимости  $\rho(z)$  и d(z) (штриховые линии) вблизи широких (кривые f, 3, 5) и узких (кривые 2, 4, 6) стенок стержней без проводящих покрытий:  $a - a \times b = 7,2 \times 3,4 \text{ мм}^2$ , f = 38 ITu;  $6 - a \times b = 5,2 \times 2,6 \text{ мм}^2$ , f = 53,55 ITu;  $6 - a \times b = 3,6 \times 1,8 \text{ мм}^2$ , f = 63,55 ITu; f = 6

металл — вода, формируя характерный экстремум мощности, но, распространяясь вдоль оси z по радиопрозрачному стержню, фазируются с основной волной и тем самым нарушают экспоненциальный харак—

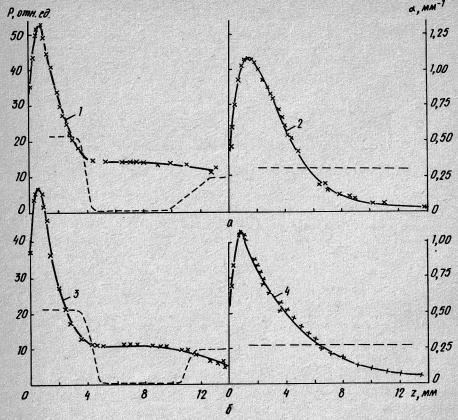


Рис. 3. Зависимости P(x) и  $\mathcal{A}(x)$  (штриховые линии) на частоте 53,55 ПТц волизи широких (кривые 1, 3) и узких (кривые 2,4) стенок стержней сечением 5,2 х 2,6 мм² с проводщими СП: а — покрытие нанесено только на узкие стенки; б — покрытие нанесено на все четыре стенки стержня

тер продольного затухания на расстояниях, значительно превышающих глубину проникновения поля в воду.

Как следует из графиков, несмотря на отмеченные отклонения продольного затухания СВЧ поля от экспоненциального закона, коэффициенты затухания вблизи широкой стенки для стержней с СП меньше аналогичных коэффициентов для стержней без покрытий, а последние, в свою очередь, гораздо меньше упомянутого в п.2 погонного затухания  $\mathcal{L}_0^{\sigma}$ , характеризующего диссипативные свойства воды как таковой.

118

1

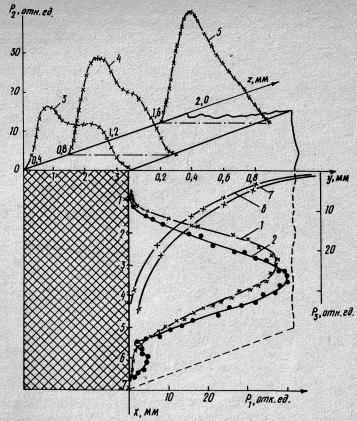


Рис. 4. Зависимости мощности от координат x, y, z при перемещении зонда поперек широкой стенки (кривые 1, 2 в координатах  $P_7(x)$ ), поперек узкой стенки (кривые 3-5 в координатах  $P_2(y, z)$ ) и при удалении зонда перпендикулирно широкой стенке в направлении y (кривые 6, 7 в координатах  $P_3(y)$ )

Таким образом, описанные эксперименты подтверждают справедливость теоретических оценок (3).

На рис. 4 представлены зависимости P(x, y, z) в системах координат, связанных с ДС, причем заштрихованное поперечное сечение стержня расположено в плоскости xy.

Кривые 1, 2 отвечают на важный вопрос о модовой структуре поля в исследуемых системах. Вид этих зависимостей  $P_{7}(X)$ , снятых на частоте 53,55 ГТц поперек широкой стенки стержней различных сечений (кривая 1 для стержня 7,2 х 3,4 мм $^2$ , кривая 2 для стержня

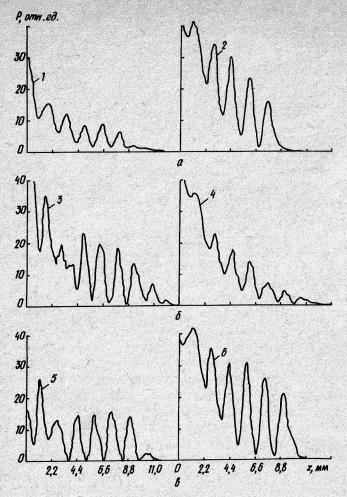


Рис. 5. Зависимости P(z) на частоте 53,55 ITц вблизи широкой (кривая 1, 2) и узкой (кривне 2,4) стенок стержней длиной l и сечением 5,2х2,6 мг с короткозамыкающим металлическим торцом: а l=9 мм, без покрытия; б l=11,5 мм, СП на узких стенках; в l=12,5 мм, СП на узких стенках

 $5.2 \times 2.6 \text{ мм}^2$ ), убедительно доказывает, что в обоих случаях в стержнях распространяется волна, близкая по своей структуре к волне основной моды  $H_{7.0}$  металлического одномодового волновода.

Наличие поля  $P_2(y,x)$  волизи узкой стенки стержня (кривые 3-5 на рис.4 сняты на частоте 53,55 ГТц для стержня сечением 7,2х х 3,4 мм<sup>2</sup>) обусловлено отличной от нуля тангенциальной составляю—120

щей электрического поля на поверхности воды. При этом увеличение амплитуды поля в положительном направлении оси z коррелирует с характером изменения  $\rho(z)$  (кривая 2 на рис. 2,а).

Кривые 6,7 на рис.4, снятые путем удаления зонда в направлении, перпендикулярном широкой стенке стержня, характеризуют зависимость  $P_3$  (у) СВЧ мощности в воде и служат дополнительным подтверждением справедливости (3). Отсутствие в данном случае упомянутых ранее интерференционных эффектов обусловило строго экспоненциальный спад мощности. Эти эксперименты позволили рассчитать коэффициент  $\alpha_0^6 = 2.7\pm0.05$  мм $^{-1}$  для воды на частоте 53.55 ІТц, который, как и следовало ожидать, не зависит от покрытия стержней (кривые 6, 7 сняты для СП и БП стержней сечением 5,2х2,6 мм $^2$  соответственно) и является функцией только частоты и электрофизических свойств воды.

Результаты описанных экспериментов онли затем использованы для ответа на основной вопрос, связанный с возможностью создания на поверхности воды строго периодической структуры поля.

Для этого были использованы ранее исследованые стержни, зависимости  $\rho(z)$  для которых изображены на рис. 2,6 и 3,а. Стержни укорачивались до длины, позволяющей возбудить в них отраженную от дальнего торца (закрытого металлической пластинкой) волну, близкую по амплитуде к падающей, и тем самым создать режим стоячей волны.

На первом этапе длины стержней выбирались такими, чтобы обеспечить равный КСВН, т.е. добиться примерно одинакового характера увеличения размаха и уменьшения абсолютного значения амплитуды синусоидальной составляющей на фоне продольного затухания СВЧ поли в соответствии с (8). Соответствующие экспериментальные зависимости изображены на рис. 5,а и 5,6.

После повторного укорочения СП стержня до длины  $\ell=9$  мм, которая, как следует из рис. 3,а (кривая 1), соответствует окончанию участка  $\varkappa(z)=0$ , зависимость  $\varrho(z)$  уже имеет ярко выраженную периодичность с несколькими близкими по величине экстремумами и, что особенно важно, нулевыми ординатами минимумов (рис. 5,в, кривая 5). Легко видеть, что этот график идентичен структуре поля стоячей волны ( $\ell=0$ ) на длине стержня более 5 мм.

Сравнение рис. 5,а и 5,6, реализующих функциональную зависимость (8), и рис. 5,в, осцилляции на котором вдоль широкой стенки близки к выражению (40), доказывает существенное влияние СП на продольный коэффициент затухания «У и возможность использования таких покрытий для формирования требуемой структуры поля на поверхности биологической среды.

Заключение. Экспериментальные результаты подтвердили высказанное в /4, 8/ предположение о том, что КВЧ поле в ДС прямоугольного сечения, погруженном в воду, по своей структуре близко к полю волны Нио в металлическом волноводе того же поперечного сечения и отличается от последнего лишь большими потерями в "стенках".

Результатом исследований явилось сопоставление коэффициентов затухания волизи широких 🛂 и узких 🛫 стенок ДС, а также отмеченное влияние на 🗸 и 🗸 проводящего СП, толщина которого меньше толщины спин-слоя в материале покрытия в используемом частотном диапазоне. Отмечена возможность уменьшения погонно-неравенства « « и может быть использовано в устройствах [7] радиоволнового высокочувствительного контроля состава и свойств веществ и материалов.

Обнаруженные нелинейности зависимости «(г) связани, по-видимому, с возбуждением вторичных волн на границе металл - вода, причем можно сделать предварительный вывод о влиянии СП на величину и характер этой нелинейности, которую легко использовать для реализации равновнергетического (по плотности потока КВЧ мощности как функции от z ) облучения влагонасыщенных биологических систем с помощью предложенной антенны.

С помощью СП экспериментально получено на поверхности сильнопоглощающей модельной среды (воды) строго периодическое в пространстве и неизменное во времени распределение амплитуды КВЧ поля с нулевыми значениями в узлах и несколькими эквидистантно расположенными экстремальными значениями КВЧ поля, что указывает на возможность практической реализации новых методов [4-9] исследования биологических систем в КВЧ диапазоне радиоволн.

Применение миллиметрового излучения низкой интенсивности в биологии и медицине / Под ред. Н.Д.Девяткова. - М.: Ин-т радиотехники и электрон. АН СССР, 1985. - 284 с.
 Виологические эффекты миллиметровых волн: Обзор / В.И.Искин, Ю.В.Завгородний, Н.М.Яценко и др. // Рук. деп. в ВИНИТИ. - 1987. - № 7591-В87. - С. 75.
 Ряковская М.Л., Штемлер В.М. Поглощение энергии электромагнит-ных волн миллиметрового пманазона в биологических предератах.

ных волн миллиметрового пиапазона в биологических препаратах плоскослоевой структуры // Эффекты нетеплового воздействия миллиметрового излучения на биологические объекты / Под ред. Н.Д.Девяткова. — М., 1983. — С. 172—181.

4. Искин В.Д. Радиофизические аспекты поиска резонансных биологически активных частот в миллиметровом диапазоне радиоволн // Биобизика. — 1985. — 30, вып. 3. — С. 492. 5. А.с. 1170334 СССР, МКИ? G 01 N 22/00. Устройство для исследо—

вания микроорганизмов с использованием микроволн / В.Д.Искин, Г.В.Арзамасцев, Л.Ф.Кучин, В.А.Грабина // Открытия. Изобретения. — 1985. — № 28. — С. 165. 6. А.с. 1341559 СССР, МКИ G OI № 22/00. Устройство для исследова—

- I22

ния свойств биологической среды / В.Д.Иокин, С.В.Руденко //

Там же. — 1987. — № 36, — С. 202. 7. А.с. 1305609 СССР, МКИ С 01 R 27/26. Устройство для измерения параметров диалектриков / В.Д.Искин // Там же. — № 15.— C. 184.

С. 184.

8. А.с. 1209239 СССР, МКИ А 61 № 5/02. Способ определения частот для воздействия на биологические ткани / В.Д.Искин, Л.П. Лемина, П.А.Клейман и др. // Там же. — 1986. — № 5.— С.36.

9. Искин В.Д., Медведовский А.В. Разработка и экспериментальная апробация ковет для микроволновой обработки биологических систем // Рук. деп. в ВИНИТИ. — 1987. — № 2616—В87. — С. 19.

10. Брандт А.А. Исследование диэлектриков на сверхвысоких частотах. — М.: Физматгиз, 1963. — 404 с.

11. Маркузе Д. Оптические волноводы. — М.: Мир, 1974. — 576 с.

12. Фальковский О.И. Техническая электродинамика. — М.: Связь,

1978. - 432 c. 13. Буткус Г.Т., Никалаускас К.К., Паужа А.С. Измерение пространственного распределения электрического поля миллиметрового диапазона в биологических структурах // Медико-биологические аспекты миллиметрового излучения / Под ред. Н.Д.Девяткова. М., 1987. — С. 230—234.

УШК 621.391

Г.А.Андреев, Г.А.Гладышев

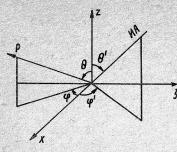
ВЛИЯНИЕ НЕРОВНОСТЕЙ ЗЕМНЫХ ПОКРОВОВ НА РАССЕЯНИЕ И ИЗЛУЧЕНИЕ РАЛИОВОЛН

Методы дистанционного зондирования земных покровов в радиоволновом диапазоне получают в настоящее время все большее развитие с применением аппаратуры, устанавливаемой как на наземных полвижных платформах, так и на летательных аппаратах /1-4/. При обработке и интерпретации получаемой с таких систем информации существенным оказывается влияние неровностей земных покровов на их тепловое излучение и рассеяние излучения толщи атмосферы. В настоящей работе на основе использования плоского альбедо и интегрального коэффициента рассеяния приведены количественные оценки влияния неровностей поверхности на излучение земного покрова и рассеяния ими излучения толши атмосферы в активном и пассивном зондировании.

Геометрическая схема расположения приемопередающей аппаратуры приведена на рис. 1. Из обобщенной формулы Кирхгофа теплового излучения полубесконечной среды с гладкой границей раздела в приближении Рэлея - Джинса для яркостной температуры получаем

$$\mathcal{T}_{8,2}(\theta) = \left(1 - |V(\theta)|_{8,2}^{2}\right) T - \mathcal{Z}_{8,2}(\theta) T, \tag{7}$$

 $\mathcal{F}$  — температура среды;  $\mathscr{E}_{6,2}(\theta)=7-|V(\theta)|_{6,2}^2$ — коэффициент излусреды;  $V_{6}(\theta)=\frac{\varepsilon'\cos\theta-\sqrt{\varepsilon'-\sin^2\theta'}}{\varepsilon'\cos\theta+\sqrt{\varepsilon'-\sin^2\theta'}}\;;$ чения среды;



$$V_{r}(\theta) = \frac{\cos \theta - \sqrt{\varepsilon' - \sin \theta''}}{\cos \theta + \sqrt{\varepsilon' \sin^2 \theta''}}.$$

Френелевские коэффициенты отражения волны с вертикальной (в) и горизонтальной (г) поляризациями среды, с комплексной диэлектрической проницаемостью (КДП) имеют вил

$$\mathcal{E}' = \mathcal{E} + i\mathcal{E}'' . \tag{2}$$

Рис. Т. Геометрическая схема

Рис.1. Теометрическая схема расположения системы пассив—Мы выбрали знак "плюс", как и у плоного дистанционного зондироской волны  $e^{ik\chi}$  (гармонической по излучение атмосферы времени  $e^{-i\omega t}$ ), распространяющей ся в положительном направлении оси 2.

В диапазоне от миллиметровых

(мм) до дециметровых (дм) волн диэлектрическая проницаемость атмо оферы  $\mathcal{E}_n'$  (как смеси газов) описывается соотношениями, полученными из молекулярно-кинетических представлений / Д. 37. Взаимодействие молекул в диэлектрических проводящих жидких (морская вода), мягких (кожа, мышечные ткани биообъектов) средах, твердых (кварц, стекло), сыпучих (песок, грунт) материалах удовлетворительно описывается теорией релаксационных процессов /5/.

Виражение для КДП морской воды (или биоткани) по Дебаю [5] записывается в виде

$$\mathcal{E}(\omega) = \mathcal{E}_{\infty} + \frac{\mathcal{E}_{=} - \mathcal{E}_{\infty}}{1 + i\omega\tau} - \frac{\mathcal{G}}{i\omega\mathcal{E}_{A}}.$$
 (3)

Из соотношения (3) получаются следующие выражения для действительной  $\mathcal{E}$  и мнимой  $\mathcal{E}''$  составляющих:

 $\mathcal{E} = \mathcal{E}_{\infty} + \frac{\mathcal{E}_{=} - \mathcal{E}_{\infty}}{1 + (\omega r)^{2}},$   $\mathcal{E}'' = \frac{\mathcal{E}_{=} - \mathcal{E}_{\infty}}{1 + (\omega r)^{2}} + \frac{\mathcal{E}_{=}}{\omega \mathcal{E}_{0}}.$ (4)
В (3) и (4)  $\mathcal{E}_{=}$ ,  $\mathcal{E}_{\infty}$  – диэлектрические проницаемости в постоян—

ном (=) и гиперчастотном (оптическом) полях; **7** - время восстановления (релаксации) положения дипольных молекул после воздействия с частотой  $\omega$  электромагнитного поля;  $\sigma$  – удельная проводимость.

В морской воде, почве 🗸 зависит от растворенных солей 🔼. В отличие от токов проводимости первые члены в (3) характеризуют тепловые потери из-за токов смещения зарядов, упруго связанных с положением равновесия 257. Для биотканей, влажных смесей почво-124

грунтов и других сред и материалов на мм волнах затруднительно выделить потери из-за токов смещения и токов проводимости, так как обычно экспериментально [6, 7] определяют действительную и мнимую составляющие диэлектрической проницаемости или эффективную удельную проводимость  $\mathcal{O}_{g_{ab}} = \sigma$  . В этом случае предпочитают пользоваться взаимозависимостью в виде

$$\mathcal{E}'' = \mathcal{E}'_{g\phi} = \frac{\sigma_{g\phi}}{\omega \mathcal{E}_{o}} = 60 \, \text{AG} . \tag{5}$$

Удобным является представление КДП через действительную составляющую и тангенс угла потерь  $tg \, d$ :

$$\mathcal{E}' = \mathcal{E}(1 + itg\,\theta'). \tag{6}$$

В этом случае комплексний показатель преломления среды записывается в виле

$$n' = \sqrt{\varepsilon'} = n + im ,$$

где

Из записи составляющей плоской монохроматической волны в комплексном виде  $E_{\gamma}=e^{ik\sqrt{E'}}z_{=}e^{ikm}e^{-kmz}$  следует, что  $n=\frac{C_{0}}{C}=\frac{A_{0}}{A}$  харак теризует показатель преломления, фазовую скорость 🗸 и укорочение длины волны в среде по сравнению с вакуумом, а m - ослабление поля на длине волны 3/22. Погонный коэффициент ослабления интенсивности  $\mathcal{A} = 2km$ . При нормальном падении проникновение поля в среду на глубину  $h_{\ell}$  с уменьшением в  $\ell=2.7$  раз оценивается по соотношению

$$h_e = \frac{\Lambda}{2\pi\sqrt{|\mathcal{E}'|}\sin\theta^{3/2}}$$
 (8)

Из (8) видно, что для оценки глубины проникновения (излучения) поля необходимы данные о составляющих КДП. Такие данные пля твердых материалов обычно получают экспериментально, а для сыпучих сред из разных компонентов (смесей) - по математическим соотношениям, аппроксимирующим экспериментальные значения на основе регрессионного анализа /1/. Например, для сухого песка выражение КДП приобретает вил

$$\mathcal{E}' = P\mathcal{E}_a' + (1 - P)\mathcal{E}_o' , \qquad (9)$$

где  $P=1-\frac{V_0}{V}=1-\frac{\bar{\mathcal{D}}}{\rho_0}$ - порозность;  $\bar{V}$ ,  $\bar{\mathcal{D}}$  - объем, плотность песка и его основи (  $V_{a}$ ,  $\rho_{a}$ ,  $\mathcal{E}_{a}$ ) (например, стекла или кварца). Измеренная КДП сухого песка на коротких мм волнах (частота около 140 ГТц) [6] при плотности  $\bar{o} = 1.4 \text{ г/см}^3$ , оказалась  $\varepsilon' = 3.8 +$  $+i6,2\cdot10^{-2}$ . Полагая, что основой является материал, аналогичный стеклу\_(  $\mathcal{E}_o' = 3.8 + i I.9 \cdot 10^{-2}$ ,  $\rho_o = 2.7 \text{ г/см}^3$ ), получаем  $\rho =$  $=1-\frac{\bar{F}}{2}\approx 0,5$ , а по соотношению (9)  $E'=2,4+i1\cdot 10^{-2}$  что по порядку величин удовлетворительно соответствует приведенным экспериментальным данным. В случае влажного песка и волны 8·10<sup>-3</sup> м из соотношения Улаби /1/ для составляющих КДП выводятся аппроксимапионные зависимости от свободной объемной влажности  $\mathcal{P}_m$  в виде

$$\mathcal{E} = 42, 3 \, \delta_m \,, \quad \mathcal{E}'' = 34, 7 \, \rho_m \, -2, 22 \,. \tag{10}$$

Запишем зависимость между относительной весовой влажностью  $=\frac{m_W}{m_C}=\frac{m-m_C}{m_C}$  и объемной  $\rho_m=\frac{v_m}{v_C}$ :

$$\rho_m = q \frac{\rho_c}{(\rho_w + \rho_c q)} . \tag{11}$$

В (40), (41) индексы w обозначают воду, c - сухой, а без индекса - влажный грунт.

Обично  $o_e^0 q \ll 1$  и при  $\rho_w = 1$  г/см $^2$  соотношение (11) представляется в виде  $\rho_m \approx q \rho_{\rho}$ .

В /1/ приведено более десяти аппроксимирующих выражений для КДП увлажненных почвогрунтов в диапазоне см и дм волн. В зависимости от цели применения соотношения в (1/1), кроме свободной влажности, содержат: порозность, влажность, завядания, количество связанной влаги, предельную полевую влажность и т.д.

В [7] изложен метод определения КДП по модулю и аргументу коэффициента отражения (прохождения) материала (пахотного слоя) радиоволны с линейной частотной модуляцией.

В /8/ приведены модули, аргументы коэффициентов отражения и параметри КЛП некоторых природных образований.

Как следует из изложенного, яркостная температура гладкого покрова зависит от КДП среды, его термодинамической температуры и угла наблюдения, что широко используется в системах дистанционного зондирования для определения влажности и температуры природних образований /1 - 47.

На практике, особенно в мм диапазоне, неровности большинства земных покровов сравнимы с длиной волны, поэтому для корректной интерпретации результатов измерений необходимо учесть их влияние 126

на формирование радиотеплового поля. При больших значениях параметра Рэлен  $\sqrt{3}$   $\rho = 2kG_{c}\cos\theta \gg (k=2\pi/A - волновое число; <math>G_{c}$  - среднеквадратическая висота неровностей поверхности) влияние неровностей учитывается в приближении метода касательной плоскости (МКП). Коэффициент излучения покрова  $x_{\ell}$ , при этом записывается /3, 97 в виде

где  $a_{\delta,2}(\theta) = \frac{1}{4\pi\cos\theta} \int_{0}^{2\pi\pi/2} I^{\delta,2}(\theta, \theta', \theta') \sin\theta' d\theta' d\theta -$ альбедо повер хности;  $I(\theta, \theta', \theta')$  – индикатриса рассеяния поверхности в приближении М.П. Интегрирование в (12) ведется по углам, соответствующим верхней полусфере (см. рис.1). На рис.2 приведены рассчитанные по

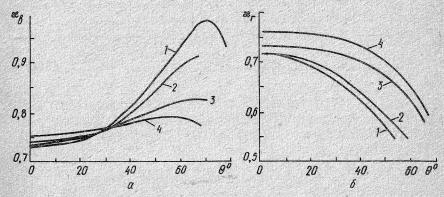


Рис. 2. Угловая зависимость коэффициентов излучения песка: 1 - $\sqrt{\langle \gamma^2 \rangle} = 0; 2 - 0,2; 3 - 0,4; 4 - 0,5; \quad \epsilon' = 8,5 - i4,4$ 

соотношению (2) коэффициенты излучения песка на вертикальной (а) и горизонтальной (б) поляризациях в зависимости от угла наблюдения при различных значениях среднеквадратического тангенса углов наклона неровностей  $\sqrt{\langle y^2 \rangle}$ . Значение КДП было рассчитано по эмпирическим соотношениям (40), полученным обобщением экспериментальных данных  $\mathcal{I}$ . При проведении расчетов КШ была  $\mathcal{E}=8.5+4.4$ . что соответствует объемной влажности  $\rho_m = 0.4$ .

Для сравнения на рис. 2 приведены коэффициенты излучения песка с гладкой границей раздела. Как видно из хода кривых, наличие неровностей приводит к сглаживанию угловой зависимости коэффициентов излучения покрова и уменьшению поляризационных свойств его радиотеплового излучения.

На практике при проведении измерений наряду с собственным ра-127

диотепловым излучением покрова на вход радиометра поступает рассеянное поверхностью тепловое излучение толщи атмосферы.

Из соображений сохранения энергии при взаимодействии излучения с поглощающей (излучающей) средой (атмосфера, почва и т.д.) для спектральной яркости выводилось уравнение переноса излучения, решение которого в одномерном случае получается в интегральном виде  $\sqrt{1}$ , 37.

В радиоволновом диапазоне (от дм до мм волн) тепловая энергия кт частиц среды больше энергии кванта hf. На этом основаны представления о тепловом электромагнитном поле как флуктуационном, возникающем из—за кастического, теплового движения заряженных частиц среды  $\Lambda$ , 3. При этом планковская спектральная яркость в первом приближении описывается законом Рэлея — Джинса.

В этом приближении выражение для яркостной температуры поглошающей, но нерассеивающей среды, например толщи атмосферы при наблюдении с Земли под углом  $\theta$  от вертикали, записывается в виде

$$T_{g}(z_{0}) = \sec \theta \int_{0}^{z_{0}} \omega(z) T(z) \exp\left[-\sec \theta \int_{z}^{z_{0}} \omega(z) dz'\right] dz . \tag{13}$$

Здесь  $\mathcal{L}(z)$ ,  $\mathcal{F}(z)$  — высотные профили погонного поглощения и температуры. Соотношение (13) удобно представлять через интегральное поглощение в зените  $\mathcal{L}_z = \int_z^{z_0} \mathcal{L}(z') dz'$  и интегральную (среднюю) температуру толщи среды

$$\bar{T} = \frac{\int_{0}^{z_{0}} d(z') T(z') exp[-sec\theta \int_{z'}^{z_{0}} d(z') dz'] dz}{\int_{0}^{z_{0}} d(z') exp[-sec\theta \int_{z'}^{z_{0}} d(z') dz'] dz}$$
(14)

B BULLE  $T_g(\theta) = \overline{f}(\theta)(1 - e^{-\alpha}z^{\sec\theta})$ .

Для изотермической среды выражение (43) преобразуется в формулу

$$T(z) = T(z = \theta) = T = \overline{T}$$
 (15)

$$T_{A} = T\left(1 - e^{-dz \sec \theta}\right) = \mathcal{X}(\theta)T, \tag{16}$$

где  $x(\theta) = (1-e^{-\lambda_z sec\theta})$  — коэффициент излучения слоя среды. В /1, 3/1 приведены яркостные температуры толщи атмосферы на частотах 1-300 ГТц в зависимости от влажности и зенитного угла. Из анализа этих зависимостей следует, что у безоблачной неоднородной атмосферы с приземной температурой 288 К и удельной влажностью  $\rho=10$  г/м³, интегральным влагосодержанием  $\ell=20$  кг/м² яркостная температу—128

ра на длинных мм волнах (37,5 ІТц) составляет  $I_0$  = 25 К, приземное погонное ослабление  $I_0$  = 0,12 дБ/км, интегральное ослабление толщи  $I_0$  = 4,34,  $I_0$  = 0,42 дБ ( $I_0$  = 1,5 дБ/км,  $I_0$  = 1,5 дБ/км,  $I_0$  = 3 дБ ( $I_0$  = 2,7). Для практики удобно угловне зависимости яркостной температури виражать через температуру в зените  $I_0$  =  $I_0$  в виде

$$T_g(\theta) = T_z \frac{\left(1 - e^{-cz} z^{sec\theta}\right)}{1 - e^{-cz}} . \tag{17}$$

В естественных условиях приема радиоизлучения толщи атмосфери с увеличением зенитного угла на вход антенны радиометра поступает излучение окружающих местных предметов. Для измерения яркостной температуры толщи атмосферы при больших зенитных углах (малых углах места) удобна методика приема сфокусированной антенной отраженного металлическим листом излучения атмосферы  $\boxed{10}$ . Из данных  $\boxed{10}$  следует, что при зенитных углах  $\theta \geqslant 87^{\circ}$  яркостные температуры толщи атмосферы и покрова становятся одинаковыми. При гладкой границе раздела сред влияние атмосферы учитывается адцитивной добавкой в (1). Яркостная температура покрова в этом случае выражается в виде

$$T_{\delta,2} = x_{\delta,2}(\theta)T_n + |V_{\delta,2}(\theta)|^2 T_a(\theta) = x_{\delta,2}T_n = (1-x_{\delta,2})T_a(\theta). \tag{18}$$

Здесь  $I_{\alpha}(\theta)$  — угловая зависимость яркостной температуры неба. При ясном небе, когда величина интегрального ослабления мала, яркостная температура неба приближенно описывается законом секанса  $I_3I: I_{\alpha}(\theta) \approx I_{\alpha}$  sec  $\theta$ , где  $I_{\alpha}$ — яркостная температура атмосферы при наблюдении в зенит. Как показывают выполненные расчеты для песка с объемной влажностью  $\rho_{m}=0.4$  и при  $I_{\alpha}=30$  К, величинат добавки в (18), связанная с влиянием атмосферы, может доститать  $\sim 10$  К.

При наличии неровностей поверхности необходимо учитывать рассеяние покровом излучения источника, непрерывно распределенного по небесной полусфере. Индикатриса рассеяния такого источника содержит тензорные компоненты, измененные АД по сравнению с индикатрисой рассеяния падающей плоской электромагнитной волны 97. Яркостная температура поверхности с хаотическими неровностями при наличии излучения толщи атмосферы записывается в виде /3, 117

$$\widetilde{T}_{6,2}(\theta) = \widetilde{x}_{6,2}(\theta)T_{R} + a_{5}^{\beta,2}(\theta)T_{2} , \qquad (49)$$

$$a_{s}^{8,2}(\theta) = \frac{1}{4\pi \cos \theta} \int_{0}^{\pi} d^{\varphi} \int_{0}^{\pi/2} T_{s}^{*}(\theta') \left[ I_{\delta}(\varphi',\theta',\theta) + I_{2}(\varphi',\theta',\theta) \right] \sin \theta' d\theta' - \frac{1}{2} \left[ \frac{1}{2} \left( \frac{\varphi'}{2}, \frac{1}{2} \right) + \frac{1}{2} \left( \frac{\varphi'}{2}, \frac{1}{2} \right) \right] \sin \theta' d\theta' - \frac{1}{2} \left[ \frac{1}{2} \left( \frac{\varphi'}{2}, \frac{1}{2} \right) + \frac{1}{2} \left( \frac{\varphi'}{2}, \frac{1}{2} \right) \right] \sin \theta' d\theta' - \frac{1}{2} \left[ \frac{1}{2} \left( \frac{\varphi'}{2}, \frac{1}{2} \right) + \frac{1}{2} \left( \frac{\varphi'}{2}, \frac{1}{2} \right) \right] \sin \theta' d\theta' - \frac{1}{2} \left[ \frac{1}{2} \left( \frac{\varphi'}{2}, \frac{1}{2} \right) + \frac{1}{2} \left( \frac{\varphi'}{2}, \frac{1}{2} \right) \right] \sin \theta' d\theta' - \frac{1}{2} \left[ \frac{1}{2} \left( \frac{\varphi'}{2}, \frac{1}{2} \right) + \frac{1}{2} \left( \frac{\varphi'}{2}, \frac{1}{2} \right) \right] \sin \theta' d\theta' - \frac{1}{2} \left[ \frac{1}{2} \left( \frac{\varphi'}{2}, \frac{1}{2} \right) + \frac{1}{2} \left( \frac{\varphi'}{2}, \frac{1}{2} \right) \right] \sin \theta' d\theta' - \frac{1}{2} \left[ \frac{1}{2} \left( \frac{\varphi'}{2}, \frac{1}{2} \right) + \frac{1}{2} \left( \frac{\varphi'}{2}, \frac{1}{2} \right) \right] \sin \theta' d\theta' - \frac{1}{2} \left[ \frac{1}{2} \left( \frac{\varphi'}{2}, \frac{1}{2} \right) + \frac{1}{2} \left( \frac{\varphi'}{2}, \frac{1}{2} \right) \right] \sin \theta' d\theta' - \frac{1}{2} \left[ \frac{1}{2} \left( \frac{\varphi'}{2}, \frac{1}{2} \right) + \frac{1}{2} \left( \frac{\varphi'}{2}, \frac{1}{2} \right) \right] \sin \theta' d\theta' - \frac{1}{2} \left[ \frac{\varphi'}{2} \right] \cos \theta' - \frac{1}{2} \left[ \frac{\varphi'}{2} \right] \cos \theta' - \frac{1}{2} \left[ \frac{\varphi'}{2} \right] \cos \theta' - \frac{1}{2} \left[ \frac{\varphi'}{2} \right] \cos \theta'$$

интегральный коэффициент рассеяния теплового излучения толщи атмосферы:  $I_{\ell,\ell}(\theta,\theta',\ell')$  – индикатриса рассеяния излучения источника, непрерывно распределенного по небесной полустере.

На рис. З приведены угловые зависимости интегрального коэффипиента рассеяния песка со среднеквадратическим тангенсом угла на-

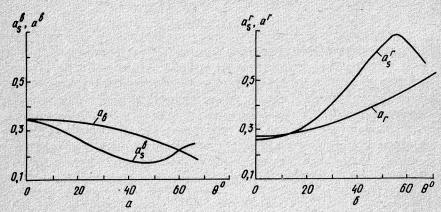


Рис. 3. Зависимость от угла падения интегрального коэффициента рассеяния и альбедо: а — вертикальная поляризация; б — горизонтальная поляризация;  $\sqrt{\langle \gamma^2 \rangle} = 0.23$ ;  $\mathcal{E}' = 8.5 + i 4.4$ 

клона неровностей и для сопоставления - угловые зависимости альбело поверхности. Видно, что различия между альбедо и соответствующим интегральным коэффициентом рассения возрастают с увеличением угла наблюдения.

Описанный подход позволяет получить удобные соотношения, описывающие контрасти радиотеплового поля различных типов покровов (песок, суглинок и т.п.), что важно для практического землепользования, в частности для получения почвенных карт дистанционными радиометодами. Выражение для разности яркостных температур двух различных покровов с одинаковой термодинамической температурой имеют вид

$$\Delta T^{\mathcal{S},2}(\theta) = \overline{I}_{\alpha} \mathcal{S}^{2}(\theta) + \left(\Delta a_{S_{1}}^{\mathcal{S},2}(\theta) - \Delta a_{S_{2}}^{\mathcal{S},2}(\theta)\right) + \overline{I}_{\phi}, \qquad (20)$$

где  $I_1 = I_2 - I_2$  — контрастообразующая температура;  $a^{6/2}$  — разность между плоским альбедо и интегральным коэффициентом рассеяния по-130

— нескомпенсированная при измерениях разница фоновых температур покровов /37.

Полученные соотношения и количественные оценки позволяют проводить оперативную обработку и интерпретацию данных агромониторинга в системах автоматизированного управления сельскохозяйственными комплексами.

- 4. Ulaby F.T., Moore R.K., Fung A.K. Microwave remote sensing: Active and Passive // Artech Hause (Washington). 1986. -

- астіче and Passive // агтесп нацве (мазліпусні).

  3. Р. 1098-1103.

  2. № Всесоюзная конференция по распространению радиоволн: Тез. докл. М.: Наука, 1987. 446 с.

  3. Андреев Г.А. Тепловое излучение миллиметровых волн земными покровами // Зарубеж. радиоэлектрон. 1982. № 12. С.3-38.

  4. Андреев Г.А., Бородин Л.Ф., Рубцов С.Н. Радиояркостные контрастн земных покровов на миллиметровых и сантиметровых волнах // Изв. вузов. Радиофизика. 1980. 23, № 10. -C. 1266-1268.
- 5. Фрелих Г. Теория диэлектриков. М.: Изд-во иностр. лит...
- 1960. 252 с.
   Исследования диэлектрических свойств земных покровов на миллиметровых волнах / Г.А.Андреев, В.В.Мариакри, Г.А.Гладышев и др. // Радиотехника. 1979. 34, № 5. С. 84-85.
   Измерение диэлектрических параметров почвы и других сред с применением ЛЧМ-сигнала // Г.А.Андреев, Г.А.Гладышев, С.А.Клитин и др. // ХУ Всесоюз. конф. по распространению радиоволн: Тез. докл. М.: Наука, 1987. С. 385.
   Миллиметровые волны и их применение // Зарубеж. радиоэлектрон. 1984. 1844. 252.
- 9. Андреев Г.А., Куковкин А.Г., Черная Л.Ф. Альбедо и индикатри-сы рассеяния ММВ земными покровами с хаотическими не-ровностями // Ралиотехника и электрон. 1988. 33. 16 7. —
- ровностним // галиотехника и электрон. 1988. 33, № 7. С. 1352—1359.

  10. Андреев Г.А., Заенцев Л.В., Яковлев В.В. Дистанционный контроль интегрального ослабления миллиметровых волн в атмосфере с дождем по тепловому излучению // П Всесоюз. школасимпозиум по распространению миллиметровых и субмиллиметровых волн в атмосфере: Тез. докл. Фрунзе: ИЛИМ, 1986. С. 226—229.

  11. Андреев Г.А., Гладышев Г.А., Черная Л.Ф. Интегральный коэффициент расседния неровной поверхностью покрова теллорого техностью покрова техностью покр
- циент рассеяния неровной поверхностью покрова теплового излучения толщи атмосфери // X Всесоюз. конф. по распространению радиоволи: Тез. докл. М.: Наука, 1987. С. 387.

УЛК 551.46.0:629.78

Г.А.Андреев, С.Г.Агратин, Г.А.Гладышев. О.К.Станкевич ОПРЕДЕЛЕНИЕ ТЕМПЕРАТУРЫ ПОЧВ ПО ЛИСТАНЦИОННЫМ ПОЛЯРИЗАЦИОННЫМ ИЗМЕРЕНИЯМ TELLIOBOIO PALINONSILY TEHNE

В проблеме интенсификации и комплексной автоматизации сельского хозяйства важное значение приобретают методы дистанционного контроля температурного состояния почвы /1, 27. На основе теоретических оценок и экспериментальной проверки в данной работе обосновывается возможность применения дистанционных поляризационных измерений собственного теплового излучения пахотного слоя открытых почвогрунтов для оперативного контроля их термодинамической температуры.

Широкое применение получили методы определения температуры земных покровов  $T_{\pi}$  по измерениям с самолетов и с искусственных спутников Земли эффективной радиояркостной (далее яркостной) температуры теплового излучения в диапазоне от миллиметровых (мм) до дециметровых (дм) волн / Д, 27. При этом обычно используется соотношение

$$T_{\beta,2}(\theta) = \mathscr{X}_{\beta,2}(\theta) T_{\eta} . \tag{1}$$

 $x(\theta)$  - коэффициент излучения, зависящий от диэлектрической проницаемости среды, неровностей границы раздела; 76.2 - яркостные температуры на вертикальной и горизонтальной поляризаци $extcolor{ heta}$  – угол наблюдения, отсчитываемый от вертикали. Для среды с гладкой границей раздела коэффициенты излучения в (1) выражаются через френелевские коэффициенты отражения  $V(\theta,\mathcal{E}')$  плоской волны /1, 27 в виде

$$\mathscr{L}_{\beta,2}(\theta,\mathcal{E}') = 7 - |V(\theta,\mathcal{E}')|_{\beta,2}^{2} , \qquad (2)$$

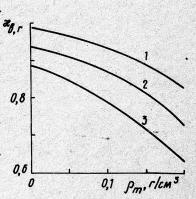
гле  $\mathcal{E}' = \mathcal{E} + i \mathcal{E}''$  – комплексная диэлектрическая проницаемость (КДП) среды. По известной величине КДП и измеренной яркостной температуре покрова по соотношениям (1) и (2) оценивают его физическую температуру. Однако существующая в практике дистанционных измерений неопределенность КДП приводит к значительным ошибкам в определении физической температуры по соотношениям (1), (2). Это обусловлено существенной зависимостью КДП покрова от его увлажненности. Известные полуэмпирические модели /27 КЛД почви наряду с влажностью содержат такие параметры, как порозность, точка завядания, связанная влага, предельная полевая влагоемкость и др. Множество 132

независимых параметров затрудняет практическое применение таких моделей. Для непосредственного определения удобно пользоваться эмпирическими формулами, содержащими объемную влажность почвогрунта и некоторые коэффициенты регрессии. Так, из анализа экспериментальных данных /2/ пля песчаных почв на плинных мм волнах были подучены удобные соотношения, описывающие с точностью 5 % зависимость КДП от объемной влажности  $\rho_m$  при  $\rho_m > 0.06$ :

$$\mathcal{E} = 42.3 \, \rho_m \,, \quad \mathcal{E}'' = 34.7 \, \rho_m - 2.25 \,.$$
 (3)

Выражения (3) позволяют оценить погрешность вычисления термодинамической температури по соотношениям (1), (2) из-за неопределенности изменчивости влажности почвогрунтов. На рис. 1 приведены теоретические зависимости коэффициен-

тов излучения песка с глалкой границей раздела от объемной влажности при наблюдении под углом 45° и в надир (кривая 3). Как следует из рис. 1, отсутствие точной априорной информации о влажности покрова может привести к большим (до 30 К) ошибкам при определении его термодинамической температуры по соотношениям (1), (2). Для исключения необходимости использования априорных данных о коэффициенте излуче ил в (1) оказались целесообразными 21, 3, 47 по аналогии с поляризационными измере- Рис. І. Зависимость от влажниями в оптике /5, 67 определение яркостных температур  $T_{B,\Gamma}$  на ортого-раздела: I – вертикальная нальных поляризациях под углом 45° поляризациях  $\theta$  = 45°; 2 – горудовителя из под углом 45° и оценка термодинамической темпера-  $\theta = 45^{\circ}$ ;  $3 - \theta = 0$ туры покрова по полярузационному соотношению для температур:



ности коэффициентов излучения песка с гладкой границей

 $I_{6,2} = \frac{I_2^2}{2I_2 - I_2}$ (4)

Выражение (4) отличается от соответствующего соотношения в /5/, где использовалась взаимозависимость

$$|V|_2^2 = |V|_{\delta} \tag{5}$$

при угле 450 для светящегося (нагретого) металла с гладкими границами раздела и выраженными поляризационными свойствами. Из (5) в

$$\eta_{x} = \frac{x_{p}^{2}}{2x_{p} - x_{p}} ,$$
(6)

которое при угле  $\theta=45^{\circ}$  является инвариантом  $\eta_{x}=\eta_{u}=1$  для гладких покровов с ограниченной КДП и обладающих поляризационными свойствами излучения (отражения). В условиях выполнения поляризационного инварианта (  $\eta_{x}=1$ ) и в отсутствие излучений окружающих предметов, толщи атмосфери, осадков поляризационное соотношение для яркостных температур (4), следующее из (6), совпадает со значениями термодинамической температури покрова:

$$I_{\theta,\Gamma} = I_{\mathcal{U}}I_{\mathcal{U}} = I_{\mathcal{U}}. \tag{7}$$

Соотношения (4), (7) позволяют оперативно оценивать физическую температуру покрова по измерениям его яркостной температури на двух ортогональных поляризациях под углом  $45^{\circ}$ .

Реально при радиометрических наблюдениях на антенную систему наряду с радиотепловым излучением покрова поступает также переотраженное поверхностью излучение толщи атмосферы:

$$T_{\delta,r}(\theta) = x_{\delta,r}(\theta)T_{\theta} + |V(\theta)|_{\delta,r}^{2}T_{\alpha}(\theta),$$
(8)

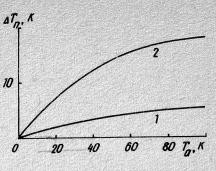
где  $T_q$  ( $\theta$ ) — угловая зависимость яркостной температури неба. В этом случае термодинамическая температура покрова определяется по соотношению

$$I_{n} = \frac{(I_{n} - I_{a})^{2}}{2I_{n} - I_{a} - I_{a}} + I_{a} . \tag{9}$$

Здесь все яркостные температуры, как и прежде, берутся при угле  $45^{\circ}$ . Все величины, входящие в соотношение (9), измеряются, что делает его удобным для практической оценки физической температуры покровов при наличии подсвечивающего излучения толщи атмосферы. Наличие неопределенности в значении величины  $\sqrt{2}$  приводит к ощибскам в определении температуры покрова. На рис. 2 представлена зависимость абсолютной ощибки  $\sqrt{2}$  в определении температуры покрова по соотношениям (4), (7) от величины яркостной температуры 134

неба. Как видно из хода кривих, атд. к большие значения влажности, уве-личивая отражательную способность, приводят к росту погрешности измерений физической тем- пературы.

Исходя из реально встречающихся значений влажности и яркостных температур атмосфери на длинных мм волнах [2, 3], максимальная абсолютная погрешность  $AT_n = 3$ —12 К, поэтому для повышения точности измерений температури целе сообразно пользоваться соотношением (9).



Приведенные выражения точнил для гладких поверхностей раздела сред. На формирование радиотеплового излучения покрова, особенно в мм диапазоне, существенно влияют неровности границы раздела. Наличие неровностей приводит к сглаживанию угловой зависимости коэффициентов излучения  $\tilde{x}_{6,r}(\theta)$  [6, 7]. В этом случе, поляризационное соотношение (6) при  $\theta = 45^{\circ}$  уже не обращается в инвариант, а выражается [4] в виде

$$\tilde{\Pi}(\Delta x, x) = \frac{\tilde{x}_r^2}{2\tilde{x}_r - \tilde{x}_g} = \frac{\left(1 + \frac{\Delta x_r}{x_r}\right)^2}{1 + \frac{2x_r}{x_r^2} + \frac{\Delta x_g}{x_s^2}},$$
(10)

где  $\tilde{\mathbf{z}}_{g} = \mathbf{z}_{g} - 4\mathbf{z}_{g}$ ,  $\tilde{\mathbf{z}}_{g} = \mathbf{z}_{g} + 4\mathbf{z}_{g}$ ,  $3\mathbf{z}_{g}$  вариация коэффициента излучения из-за хаотических неровностей границы раздела сред. Неровности покрова со среднеквадратичными значениями висот несколько сантиметров в диапазоне дм воли учитываются на основе решения задачи рассеяния в приолижении метода возмущений (МВ) [37. В приолижении МВ вклад рассеяния изровностими покрова в отраженное поле на десятки дециосл меньше отражения когерентной составляющей, по-этому соответствующие поправки  $3\mathbf{z}_{g}$ , малы. В диапазоне мм волн акие неровности являются крупномасштабными по сравнению с длиной волны и их влияние оценивается в приолижении метода касательной плоскости (МКП) [6, 77. Коэффициент излучения в этом случае [3]

 $\tilde{x}_{\ell,r}(\theta) = 1 - a_{\ell,r}(\theta)$ , (11) где  $a_{\ell,r}(\theta) = \frac{1}{4\pi\cos\theta} \int_{0}^{2\pi} d\theta \int_{0}^{\pi/2} I_{\ell,r}(\theta,\theta',\theta') \sin\theta' d\theta$  – альбедо поверхности;  $I'(\theta,\theta',\theta',\theta')$  – индикатриса рассеяния в приближении МКП  $2\bar{3}$ ;  $\theta$  – азимутальный угол.

Относительная погрешность определения температуры покрова по

I35

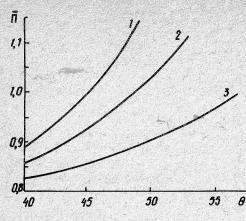


Рис. 3. Зависимость поляризационных со-шения влияния неровностей отношений (6) и (40) от угла наблюдения для различных неровностей: 1  $\sqrt{\langle \gamma^2 \rangle} = 0$ ; 2 - 0,2; 3 - 0,3

соотношению (6) при наличии неровностей записывает-

$$\frac{\Delta T_n}{T_n} = 1 - N(\Delta x, x) =$$

$$= \mathbf{A} /\!\!/ \left( \mathbf{A} \mathcal{X}, \, \mathcal{X} \, \right) \, . \quad (12)$$

Из анализа кривых на рис.3 с учетом (41) следует, что наличие неровностей приводит к значительным погрешностям: 4// = 0,075 при  $\sqrt{\langle y^2 \rangle} = 0.2 \text{ M} \quad A\Pi = 0.15$ при  $\langle \chi^2 \rangle = 0.3$ . Для уменьпелесообразно использовать более длинноволновые по сравнению с ними участки ралиодиапазона.

Учет теплового излучения толщи атмосферы, рассеянного неровностями покрова 72 г., удобно осуществлять по интегральному коэффициенту рассеяния  $a_{E,r}^{s}$  [3, 7] и яркостной температурой неба в зените 7 с использованием соотношения

$$T_{g,r}(\theta) = a_{g,r}^{s}(\theta)T_{\chi}. \tag{43}$$

Из решения задачи рассеяния неровными границами земных покровов излучения источника, непрерывно распределенного по небесной полусфере, для коэффициента рассеяния получаем

$$\alpha_{\ell,r}^{s}(\theta) = \frac{1}{4\pi\cos\theta} \int_{0}^{2\pi} d\theta \int_{0}^{\pi} I_{\alpha}^{*}(\theta') I_{\ell,r}^{s}(\theta',\theta,\theta') d\theta , \qquad (14)$$

гле  $I_{\alpha}^{f}(\theta) = I_{\alpha}(\theta)/I_{\alpha}$ ;  $I_{\alpha, r}^{f}$  - индикатриса рассеяния непрерывно распределенного по небесной полусфере источника излучения. С учетом (11). (13 и (14) выражение для эффективной яркостной температуры неровного покрова с учетом подсвечивающего излучения атмосферы записывается в виде

$$\widetilde{f}_{g,r}(\theta) = \widetilde{e}_{g,r}(\theta)T_{\eta} + a_{g,r}^{S}(\theta)T_{\chi}. \tag{15}$$

Относительная погрешность определения температуры покрова в этом случае оценивается по соотношению 136

$$\frac{\delta T_{\eta}}{T_{\eta}} = 1 - \frac{\left(x_{\rho}T_{-} + \delta x_{\rho}T_{\eta} + T_{\chi}(1 + \Delta a_{\rho})\right)^{2}}{\left(T_{-}(2x_{\rho} - x_{g}) + T_{\eta}(2\delta x_{\rho} - \delta x_{g}) + T_{\chi}(2\delta a_{\rho} - a_{g}) + T_{\chi}\right)T_{\eta}}, \tag{16}$$

где  $\mathcal{L} = \mathcal{L}_{\pi} - \mathcal{L}_{\tau}$  – контрастообразующая температура [3, 8].

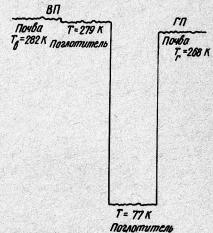
Анализ соотношения (46) показывает, что совместное влияние издучения толщи атмосферы и неровностей поверхности может приводить к их взаимокомпенсации. Например, для сухого песка (  $\mathcal{E}'$  = = 2,5 + 10,06) со среднеквадратичными тангенсами углов наклона неровностей  $\sqrt{\langle r^2 \rangle} = 0.1$  и термодинамической температурой  $T_a = 290$  К в отсутствие подсвечивающего излучения атмосферы погрешность в опрелении температуры составляет  $\Delta I_n \sim 1$  К. При наличии излучения атмосферы с  $I_z = 30$  К эта ошибка уменьшается до  $I_z \sim 0.04$ К, что приемлемо для практических измерений.

Экспериментальная проверка метода была осуществлена по определению температуры песчаного покрова с  $\sqrt{\langle r^2 \rangle} = 0.1$ . Измерения проводились в натурных условиях при ясном небе. Висота расположения радиометрической аппаратуры составляла 1,5 м, угол наблюдения  $\theta$  = 45°, диаметр антенного пятна  $t \approx 0.3$  м. Калибровка производилась по абсолютно черному телу при температуре окружающей среды и охлажденному жидким азотом (T = 279 K и T = 77 K).

На рис. 4 приведены фрагменты записи радиояркостной температуры покрова на вертикальной и горизонтальной поляризациях. Термо-

" динамическая температура покрова, измеренная термометром, заглубленным на 2 см, составила  $T_{\alpha} =$ = 279 К. Вычисленные для этих исходных данных по соотношению (16) погрешности в определении температуры покрова составляют  $47_n =$ = 2,5 К, в то время как в эксперименте (см. рис.4) получена разность между температурой, рассчитанной из подяризационных измерений и измеренной термометром:  $dT_n = 4 \text{ K}.$ 

Таким образом, наблюдается удовлетворительное соответствие теоретических и экспериментальных оценок погрешностей. Это указыва- Рис. 4. Фрагменты записи радиоет на возможность эффективного использования поляризационных ра- поляризации



яркостных температур: ВП и ПІ вертикальная и горизонтальная

диометрических измерений для дистанционного определения термодинамической температуры земных покровов без растительности при достаточной точности установки угла наблюдения. В случае больших неровностей поверхности (вспаханное поле и т.п.) для уменьшения возникамих погрешностей в определении температури целесообразно использовать более длинноволновые (дм волны) участки радиодиапазона.

 Богородский В.В., Козлов А.И. Микроволновая радиометрия земных покровов. — Л.: Гидрометеоиздат, 1985. — 221 с.
 Ulaby F.T., Moore R.K., Fung A.K. Microwave remote sensing. Active and passive // Artech House (Washington). — 1986. — 3.— P. 1098-1103.

7. 1098-1103.
3. Андреев Г.А. Тепловое излучение миллиметровых воли земными покровами // Зарубеж. радиоэлектрон. — 1982. — № 12. — С. 3—39.
4. О дистанционном определении температуры земных покровов по полиризационному инварианту СВЧ-радиотеплового излучения /Г.А.Андреев, Л.Ф.Бородин, Л.В.Зайцев и др. // Исследования Земли из
космоса. — 1984. — № 4. — С. 120—123.
5. Tingwaldt C., Schley U. Eine optische Metode zur directen Ermitlung der wahren Temperatur glübender Metalle // 2. Instr-

mitlung der wahren Temperatur glühender Metalle // Z. Instr.-1961. - 69, N 7. - S. 205-207.

6. Андреев Г.А., Черная Л.Ф. Рассеяние излучения миллиметровых волн природными объектами // Радиотехника. — 1988. — 43, № 3.— C. 62-68.

7. Андреев Г.А., Гладышев Г.А., Черная Л.Ф. Интегральный коэффициент рассеяния неровной поверхностью покрова теплового излучения толщи атмосферы / X7 Всесоюз. конф. по распространению рапиоволи: Тез. докл. — М.: Наука, 1987. — С. 387.

8. Андреев Г.А., Бородин Л.Ф., Руспов С.Н. Радиоприостные контра-

стн земных покровов на миллиметровых и сантиметровых волнах // Изв. вузов. Радиофизика. - 1980. - 23, № 10. - С. 1266-1268.

YIK 551.596.08

В.В. Зверев, Г.П. Ермак, В.В. Россихин, С.Д. Алексеевский

БИОФИЗИЧЕСКИЙ КОМПЛЕКС ДЛЯ ОПРЕДЕЛЕНИЯ ОБЪЕМНОЙ СКОРОСТИ ПОТОКА и давления

В настоящее время достижения медицинской техники позволяют применять в практике сложные физиологические методы исследования.

В данной работе описана конструкция приборов биокомплекса, составленная из прибора для определения объемной скорости потока биологических жидкостей и прибора для определения давления в полых органах. соединенных с единым регистрирующим устройством.

Учитывая, что биокомплексы отечественной промышленностью не выпускаются, настоящая работа может быть полезной для специалистов, работающих над созданием медтехники, и биологов, изучающих вопросы дистальной уродинамики.

Предлагаемый нами прибор (рис. 1) состоит из приемного блока. патчика, преобразователя импульсов и регистрирующего блока. 138

Приемный блок включает в себя воронку 1, рассекатель 2, который имеет форму усеченного конуса с канавками по краям, и формирователь потока 3, укрепленный на нижнем конце воронки.

Датчик состоит из пластмассового корпуса 7 и заключенной в нем семилопастной крильчатки 6 с расположенными на ее оси пвумя магнитами 5. Лопасти крыльчатки особой формы. благодаря чему обеспечивается достаточная чувствительность прибора.

На опной из стенок корпуса датчика расположен геркон 4, соединенный с

Рис. 1. Прибор для определения объемной скорости потока

Принцип работы данного прибора заключается в том, что жилкость, поступая в воронку, равномерно распределяется по ее стенкам с помощью рассекателя, наличие которого исключает турбулентность движения потока, а формирователь потока обеспечивает равномерность подачи ее на лопасти крыльчатки.

преобразователем импульсов и регистрирующим устройством.

Под воздействием струм жидкости крыльчатка вращается. На одной оси с ней расположены два магнита. Создаваемое ими магнитное поле с частотой, в два раза большей частоты вращения крыльчатки. включает геркон. Он замыкает цепь: "+" источника питания - геркон - резистор РТ - "-" источника питания (рис.2).

На резисторе видим положительные импульси с частотой следования, равной частоте включения геркона. Длительность этих импульсов зависит от скорости вращения крильчатки. Через дифференцируемую цепочку, собранную на СИ, В2, и ограничивающий резистор РЗ импульсы поступают на базу транзистора УТІ. На транзисторе УТІ, а также на VT2, VT3 собран формирователь импульсов. Он позволяет получить импульсы постоянной длительности. Дифференцирующая пепочка, включенная на входе, формирует короткие запускающие импульсы.

В исходном состоянии на выходе формирователя устанавливается

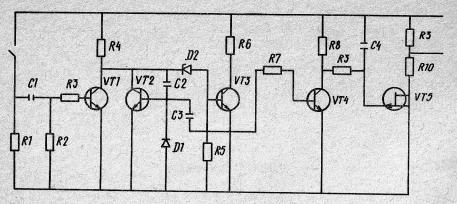


Рис. 2. Принципиальная схема преобразователя импульсов

низкий потенциал. Транзистор VT3 открыт током, текущим по цепи "+" источника питания - P4-VT2 - база VT3, транзисторы VT1, VT2 закрыты. С приходом положительного импульса транзистор VT1 открывается, а VT3 закрывается. Конденсатор C2 через открытый транзистор VT1 соединен с землей и разряжается. После окончания запускающего импульса транзистор VT1 закрывается, конденсатор C2 начинает заряжаться по цепи "+" источника питания - R4 - C2 - база транзистора VT2. Этот каскад представляет собой интегратор, поэтому конденсатор заряжается по линейному закону.

По окончании заряда конденсатора транзистор VT2 закрывается, а VT3 открывается.

К выходу формирователя импульсов подключен электронный ключ, собранный на транзисторе УТ4, Через открытый ключ заряжается конденсатор С4 по цепи "+" источника питания — С4 — К9 — УТ4. Сигнал с конденсатора поступает на вход истокового повторителя, собранного на транзисторе УТ5. С делителя напряжения К10, К11 сигнал поступает на вход регистрирующего прибора.

Предлагаемый прибор позволяет определять объемную скорость тока жидкостей в пределах 0,0001–0,004 м $^3$ /с (1–40 мл/с) при погрешности измерений  $\pm$  7 %, кроме того, производится графическая регистрация объемной скорости потока.

Калибровка прибора осуществляется достаточно простой и бистрой методикой. Источник воды — обычний лабораторный кран. Истинную скорость определяют путем измерения объема воды в градуированном пилиндре за данный период времени (1-30 с). Время регистрируется лабораторным секундомером.

Исследования повторяют до получения двух идентичных результа-

тов. Струю воды направляют в коллекторную воронку прибора и регистрируют скорость ее течения. Постоянство скорости течения проверяют с помощью измерительного цилиндра и секундомера. Общее расхождение составляло 1,6 %.

Второй составной частью биокомплекса является прибор для определения давления. Основная часть этого прибора —
электроманометр. Предлагаемый нами электроманометр позволяет регистрировать колебания давления внутри полых органов практически без искажений за счет уменьшения рабочего объема мембранного датчика и использования жесткой мембрани.

Основным узлом предлагаемого электроманометра является датчик давления с пределами измерений 0 - 20 Па при погрешности измерений ± 10 %.

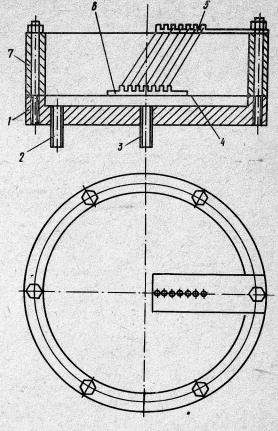


Рис.3. Прибор для измерения давления

Датчик давления (рис.3) представляет собой металлический корпус 1 с внутренним объемом 0,9 мл.Имеет два штуцера:3 — для присоединения к катетеру и 2 — для удаления пузырьков воздуха из полости.

Рабочим органом датчика служит мембрана 4 из бериллиевой бронзы толщиной 0,1 мм, на которую с внешней стороны нанесен фольговый тензодатчик 6 типа ФКМВ-20-400. Выводы тензодатчика соединены с клеммами 5. Достаточная жесткость мембраны и подобранный рабочий объем датчика позволяют использовать для передачи давления от полого органа к датчику укороченные катетеры дмаметром 2-4 мм, длиной 300-350 мм, что не вносит динамических искажений при записи изменений давления. Электрическая блок-схема включения датчика

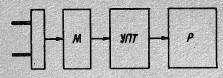


Рис. 4. Блок-схема тензодатчика

представлена на рис. 4. Тензодатчик включен в два плеча уравновешенного моста (М), к выходу которого подключается усилитель постоянного тока (УПТ), обеспечивающий надежную регистрацию сигналов разбаланса моста самопишущим регистратором (Р).

Электроманометр работает следующим образом: перед началом измерений датчик с помощью штатива устанавливают на уровне дна исследуемого органа по принципу сообщающихся сосудов. Пропуская жидкость через штуцер 3 (рис. 3), витесняют весь воздух из внутренней полости 7, после чего штуцер 2 перекрывают.

В процессе наполнения любого полого органа давление жидкости в нем передается его мембране. В результате она изгибается, что приводит к изменению сопротивления тензодатчика и разбалансу моста, в плечо которого он включен. Сигнал, получаемый с диагонали моста, усиливается и передается на измерительное устройство с самопишущим регистратором. Калибровка датчика производится с помощью водного манометра.

## СОДЕРЖАНИЕ

Малеев В.Я., Кашпур В.А. О молекулярных механизмах взаимодей- ствия электромагнитного излучения миллиметрового диапазона с белками и ДНК. Теория и эксперимент	ġ
and B sabiciniocin of ichicpatiffit	10
Банников В.С., Веденский О.Ю., Ермак Г.П., Абраменко И.С., Колесник О.Л., Скрынник Б.К., Шестопалов В.П. Новый високо- эффективный метод контроля функционального состояния бисоко- ектов	15
Шияновский С.В. Спиновый механизм влияния миллиметрового из- лучения на биологические процесси	20
дианазона	29
DORON MNSWERTDOWETONN B ONOMOTIVE IN WESTERDING	35
CTEME	41
Ворсуль К.В., Смирнова Т.А., Черпак Н.Т. ЭПР — спектрометр диапазона длин волн 4—1,5 мм	5 <b>I</b>
POBOM M MMJDIMMETPOBOM AMARIASORAX	53
Тайдидей Ю.Б. О взаимодействии вибронно возбужденных биопо- лимеров с внешними электромагнитными полями	58
Чалый А.В. Влияние внешнего электромагнитного поля на процесси упорядочения в средах с биохимическими реакциями	66
Швед В.Б., Бобрышев В.Д. Контрастирование зон холодовой не- кротизации в сочетании с микроволновым воздействием	74
Радченко Д.Г., Слаская И.А. Возможный механизм работы синап- са как неравновесной системы, восприимчивой к влиянию внеш- них физических полей	77
Ордынец А.Г. Абсорбіцюнный метод исследования спектральных неоднородностей в биологических средах	85
Соломонов В.И., Писанко О.И., Мосежный А.Е., Кириченко Г.И., Туранский В.П. Влияние низкоинтенсивного электромагнитного излучения КВЧ диапазона на оптические свойства кожных покро-	91
вов	43

Соломонов В.И., Писанко О.И., Мосежный А.Е., Кириченко Г.И., Туранский В.П. Влияние низкоинтенсивного электромагнитного излучения КВЧ диапазона на теплопродукцию эпигастральной области	96
Зелинский В.А., Писанко О.И. Низкоинтенсивное электромаг- нитное излучение КВЧ диапазона в комплексном курортном ле- чении язвенной болезни	97
Искин В.Д. Инструментальные методы исследования биологичес-	104
Искин В.Д., Буткус Г.Т., Бутенко А.В., Медведовский А.В. Исследование структуры поля излучения диэлектрического	111
Андреев Г.А., Гладышев Г.А. Влияние неровностей земних по-	123
Андреев Г.А., Агратин С.Г., Гладышев Г.А., Станкевич О.К. Определение температуры почв по дистанционным поляризацион-	132
Зверев В.В., Ермак Г.П., Россихин В.В., Алексеевский С.Д. Биофизический комплекс для определения объемной скорости	138

Рефераты

УДК 621.3.029.65:577.3.2

О молекулярных механизмах взаимодействия электромагнитного излучения миллиметрового диапазона с белками и ДНК. Теория и эксперимент / Малеев В.Я., Кашпур В.А. // Исследования взаимодействия электромагнитных воли миллиметрового и субмиллиметрового диапазонов с биологическими объектами : Сб. науч.тр. — Киев: Наук. думка, 1989. — С. 3-10.

Обсуждены литературные и оригинальные данные, относящиеся к теоретическому и экспериментальному изучению колебательных состояний белков и ДНК в интервале частот, включающем сантиметровые, миллиметровые и субмиллиметровые волны. Анализ этих данных показал, что хотя теория предсказывает существование различного рода колебаний в этих биополимерах, частоты которых попадают в указанные дианазоны электромагнитных воли, экспериментально такие колебания, как правило, не обнаруживаются. По мнению авторов, для существования острых резонансов в этих биополимерах вообще нет достаточно разумных физических оснований. Что же касается "нормальных" резонансных эффектов (с добротностями порядка 10-100), то такая ситуация в принципе возможна, но для надежного обнаружения таких колебаний требуются дальнейшая разработка чувствительных экспериментальных методов, способных выделить искомые эффекты на фоне преобладающего поглощения водой, и развитие теоретических моделей, максимально учитывающих реальные экспериментальные условия. Библиогр.: 30 назв.

УДК 621.3.029.65:577

Метод измерения диэлектрической проницаемости в миллиметровом диапазоне растворов биоматериалов в зависимости от температуры / Глибицкий Г.М., Кашпур В.А. // Исследования взаимодействия электромагнитных воли миллиметрового и субмиллиметрового диапазонов с биологическими объектами: Сб. науч. тр. - Киев: Наук.думка, 1989. - С. 10-14.

Разработан диэлектрометр миллиметрового диапазона, предназначенный для изучения биоматериалов в температурном интервале 5—90 °C. Измерения комплексной диэлектрической проницаемости производатся волноводным мостовым методом при использовании кивети переменной толщины. Непосредственно определяемыми величинами явля—

ются поглощения и фазовая постоянная. Точность измерений составляет 2-3 %. С помощью данного диэлектрометра исследовани диэлектрические свойства воды и водных растворов некоторых биологических веществ в диапазоне длин волн 6-8 мм и температурном интервале 20-80 С. Ил.1. Табл.4. Библиогр.: 7 назв.

УДК 577.35:537

Новий високоэффективный метод контроля функционального состояния биообъектов / Банников В.С., Веденский О.Ю., Ермак Г.П., Абраменко И.С., Колесник О.Л., Скрынник Б.К., Шестопалов В.П. // Исследования взаимодействия электромагнитных волн миллиметрового и субмиллиметрового диапазонов с биологическими объектами: Сб. науч. тр. — Киев: Наук. думка, 1989. — С. 15—20.

Предложен метод контроля функционального состояния биообъектов с помощью автодинного генератора дифракционного излучения. Проведено экспериментальное исследование характеристик рассеивания СВЧ сигналов сетчаткой глаза Rana temporaria при воздействии светового стимула. Ил.4. Библиогр.: 7 назв.

УДК 538.569:57

Спиновий механизм влияния миллиметрового излучения на биологические процессы / Шияновский С.В. // Исследования взаимодействия электромагнитных волн миллиметрового и субмиллиметрового диапазонов с биологическими объектами: Сб. науч. тр. - Киев: Наук. думка, 1989. - С. 20-29.

Исследована кинетика заселенности триплетных подуровней промежуточных продуктов биохимических реакций в процессе облучения с учетом спин-решеточной релаксации. Определены вклады вращения молекул и постоянного магнитного поля в интенсивность межуровневых переходов. Показано, что влияние миллиметрового излучения на организмы через спиновую подсистему возможно только в металлоорганических комплексах ионов переходных металлов. Ил.1. Библиогр.: 20 назв.

УДК 576.315:581.5:575.042

Реакция клеток растений на действие радиоволи миллиметрового пиапазона / Шестопалова Н.Г., Головина Л.Н., Петрушин А.Л., Корнеенков В.К. // Исследования взаимодействия электромагнитных воли миллиметрового и субмиллиметрового диапазонов с биологическими объектами: Сб. науч. тр. - Киев: Наук, думка, 1989. - С. 29-34.

Приведены данные экспериментальных исследований взаимосвязанных показателей, отражающих изменение физиолого—тенетической активности клеток растений после действия радиоволн мм диапазона. Ил. З. Табл. 1. Библиогр.: 10 назв.

УДК 577:621.317.335.3.029.64

Применение миллиметровой диэлектрометрии в биологии и медищине / Малая Л.Т., Щеголева Т.Ю., Бахова Л.К. // Исследования взаимодействия электромагнитных волн миллиметрового и субмиллиметрового диапазонов с биологическими объектами: Сб.науч. тр. – Киев: Наук.думка, 1989. – С. 35-40.

Работа посвящена сопоставлению результатов исследования методом СВЧ диэлектрометрии молекулярного механизма повреждения аденилатиживаной системы эритроцитов при развитии сердечно-сосудистой патологии с клиническими проявлениями. Ил.4. Биолиогр.: 5 назв.

## УЛК 541.144

Об эффектах воздействия микроволнового электромагнитного излучения на биомолекулярные системы / Сериков А.А., Христофоров Л.Н.// Исследования взаимодействия электромагнитных воли миллиметрового и субмиллиметрового диапазонов с биологическими объектами: Сб. науч. тр. — Киев: Наук.думка, 1989. — С. 41-50.

Проведен теоретический анализ возможных механизмов взаимодействия микроволнового электромагнитного излучения с оиологическими макромолекулами. Показано, что эксперименты по оиологическому действию сласых СВЧ полей можно объяснить в предположении добротности дипольно-активных колебаний в биополимерах, превышающей значения 103-104. Высказаны соображения о возможной причине столь высоких добротностей колебаний в активных центрах глобулярных биомолекул. Ил.5. Биолиогр.: 8 назв.

# УДК 621.317

ЭПВ — спектрометр диапазона длин волн 4-1,5 мм / Ворсуль К.В., Смирнова Т.А., Черпак Н.Т. // Исследования взаимодействия электромагнитных волн миллиметрового и субмиллиметрового диапазонов с биологическими объектами: Сб. науч. тр. — Киев: Наук, думка,1989.— С.51-53.

Описан спектрометр бегущей волни для исследования ЭПР спектров кристаллов в диапазоне длин волн  $\lambda=4-1.5$  мм, в интервале температур 1,7-10 К в магнитных полях до 30 кд. Ил.2. Биолиогр.: 9 назв.

УДК 57.043

Диэлектрический разогрев криоконсервированных клеточных суспензий в сантиметровом и миллиметровом диапазонах /Бобрышев В.Д., Снурников А.С., Швед В.Б. // Исследования взаимодействия электромагнитных волн миллиметрового и субмиллиметрового диапазонов с биологическими объектами: Сб. науч. тр. — Киев: Наук.думка,1989. С.53-58.

Рассмотрена математическая модель, описывающая процесс диэлектрического разогрева двухфазной системи, состоящей из жидких
сферических включений и ледяной матрицы, которая по электросмизи—
ческим и теплофизическим характеристикам приолижается к реальной
криобиологической системе. Показано, что в сантиметровой области
СВЧ дмапазона диэлектрический разогрев криоконсервированных кле—
точных суспензий приводит к значительным локальным перегревам в
фазовых неоднородностях. Максимум локального перегрева соответст—
вует частотам порядка 50 ГТц, при дальнейшем повышении частоты
значение локального перегрева падает. Обл сть применения — крио—
биология. Ил.5. Библиогр.: 4 назв.

## УДК 530.1:534.2:577.3

О взаимодействии вибронно возбужденных биополимеров с внешними электромагнитными полями / Гайдидей Ю.Б. // Исследования взаимодействия электромагнитных волн миллиметрового и субмиллиметрового диапазонов с биологическими объектами: Сб. науч. тр. – Киев: Наук. думка, 1989. – С. 58-66.

Излагаются результаты исследований воздействия электромагнитных полей на биополимеры, находящиеся в возбужденных состояниях.
Проанализированы конфигурации пептидных групи в «спиральных ойополимерах. Показана возможность управления ими внешним электрическим полем. Изучены самосогласованные состояния внутримолекулярных возбуждений с ориентационными колебаниями пептидных групи.
Показано существование трех типов самосогласованных состояний, одно из которых автолокализованное эксимерное, а два других — экситонные (солитонные при учете взаимодействия с деформационными степенями свободы). Проанализированы особенности взаимодействия электромагнитных воли с данными возбужденными состояниями. Библиогр.:
12 назв.

УДК 536; 557; 574; 577

Влияние внешнего электромагнитного поля на процесси упорядочения в средах с биохимическими реакциями / Чалый А.В. // Исследования взаимодействия электромагнитных волн миллиметрового и субмиллиметрового диапазонов с биологическими объектами: Сб. науч. тр. — Киев: Наук. думка, 1989. — С. 66-74.

Рассмотрено влияние электромагнитного поля на процесс образования упорядоченных структур в системе с биохимическими реакциями. Определено изменение критических параметров вещества в зависимости от характеристик электромагнитного поля и электродина мических свойств вещества. Доказана возможность перехода физико химической системы под действием электромагнитного излучения СВЧ или КВЧ диапазонов в упорядоченное состояние. Получены критерии и численные оценки, характеризующие этот переход. Биолиогр.: 9 назв.

### УЖ 57.043

Контрастирование зон холодовой некротизации в сочетании с микроволновым воздействием /Швед Б.В., Бобрышев В.Д. // Исследования взаимодействия электромагнитных воли миллиметрового и субмиллиметрового диапазонов с биологическими объектами: Сб. науч. тр. – Киев: Наук. думка, 1989. – С. 74-77.

Предлагается использовать СВЧ излучение, предпочтительно миллиметрового диапазона, для снижения эффекта колодового повреждения здоровых тканей при криодеструкции патологических новообразований. В основу положено существенное различие в коэффициентах поглощения СВЧ для замороженных и незамороженных зон. Используя принятую математическую модель, описывающую процесс замораживания при криодеструкции, на конкретных примерах показано существенное снижение эффекта колодового повреждения здоровых тканей в случае, когда сквозь замороженную зону подается СВЧ излучение миллиметрового диапазона. Область применения — криохирургия.Ил.2. Библиогр.: 3 назв.

### УДК 577.3

Возможный механизм работы синапса как неравновесной системы, восприимчивой к влиянию внешних физических полей /Радченко Д.Г., Слабкая И.А. // Исследования взаимодействия электромагнитных волн миллиметрового и субмиллиметрового диапазонов с биологическими объектами: Сб. науч. тр. — Киев: Наук.думка, 1989. — С. 77-85.

На основе анализа экспериментальных фактов предложена математическая модель, устраниющая известные противоречия при трактовке механизмов синаптической передачи. В основу ее положена гипотеза о взаимосвязанности кратковременного изменения проводимости ионных каналов при генерации потенциала действия и так называемого фазового расслоения в примеморанной области. Последнее явление обусловливает кооперативный характер протекающих процессов и в ряде случаев приводит к резкому повышению восприимчивости системы к воздействию внешних факторов. Библютр.: 11 назв.

Абсорбщионный метод исследования спектральных неоднородностей в биологических средах / Ордынец А.Г. // Исследования взаимодействия электромагнитных воли миллиметрового и субмиллиметрового диапазонов с биологическими объектами: Сб. науч. тр. – Киев: Наук.думка, 1989 г. – С. 85-91.

Предложен новый физический метод исследования спектральных неоднородностей в биологических средах. В его основу положена регистрация оптико-акустических процессов, сопровождающих взаимо-действия частотно-модулированного излучения со спектрально-неоднородной средой. Теоретически и экспериментально на модельном объекте показаны основные особенности и преимущества метода по отношению к существующим. Область применения — исследование резонанскых эффектов взаимодействия микроволнового излучения с биологическими средами. Ил.4. Биолиогр.: 8 назв.

УЛК 615.47:537.811:616.3

Влияние низкоинтенсивного электромагнитного излучения КВЧ диапазона на оптические свойства кожных покровов / Соломонов В.И., Писанко О.И., Мосежный А.Е., Кириченко Г.И., Туранский В.П. // Исследования взаимодействия электромагнитных воли миллиметрового и субмиллиметрового диапазонов с биологическими объектами: Сб. науч. тр. - Киев: Наук.думка, 1989. - С. 91-95.

Приводятся сведения о влиянии низкоинтенсивного излучения КВЧ диапазона на оптические свойства кожных покровов в зоне био-логически активных точек человека. Вследствие влияния низкоинтенсивного ЭМИ показано, что оно приводит к изменению оптических свойств БАТ, которое связано с увеличением объемного кровотока в этих зонах кожных покровов. Ил. 3. Биолиогр.: 6 назв.

УДК 615.47:537.811:616.3

Влияние низкоинтенсивного электромагнитного излучения КВЧ диапазона на теплопродукцию эпигастральной области /Соломонов В.И., Писанко О.И., Мосежный А.Е., Кириченко Г.И., Туранский В.П. // Исследования взаимодействия электромагнитных воли миллиметрового и субмиллиметрового диапазонов с биологическими объектами: Сб. науч. тр. – Киев: Наук. думка, 1989. – С. 96-97.

Приводятся сведения о влиянии низкоинтенсивного излучения КВЧ диапазона на теплопродукцию эпитастральной области у ряда больных гастроэнтерологического профиля. Показано, что воздействие ЭМИ на биологически активные зоны человека приводит к изменению теплопродукции эпитастральной зоны человека, где проецируются основные органы пищеварения: печень, желудок, поджелудочная железа. Биолмогр.: 4 назв.

УЛК 615.47.537.811:616.3

Низкоинтенсивное электромагнитное излучение КВЧ дианазона в комплексном курортном лечении язвенной болезни /Зелинский В.А., Писанко О.И. // Исследования взаимодействия электромагнитных воли миллиметрового и субмиллиметрового дианазонов с биологическими объектами: Сб. науч. тр. — Киев: Наук.думка, 1989. — С. 97-104.

Содержатся данные о влиянии электромагнитного излучения КВЧ диапазона на интактных животных и при экспериментальной язве желудка, а также исследован его терапевтический эффект. Установлено, что данный физический фактор и сочетание его с пелоидотерапией показан в комплексном санаторно-курортном лечении больных язвенной болезнью, так как воздействует на ряд местных механизмов, участвующих в развитии язвообразования — нарушении ощелачивания в двенадцатищерстной кишке и изменении процессов ренарации в гастродуоденальной зоне. Табл. 4. Библиогр.: 15 назв.

УЛК 621.347+645.475

Инструментальные методы исследования биологических систем в миллиметровом диапазоне радиоволн / Искин В.Д. // Исследования взаимодействия электромагнитных волн миллиметрового и субмиллиметрового диапазонов с биологическими объектами: Сб. науч. тр. — Киев: Наук.думка, 1989. — С. 104—110.

Указываются наиболее перспективные области применения КВЧ излучения в сельском хозяйстве. Формулируются основные технические задачи, вытекающие из анализа существующего состояния проблемы и определнющие в своей совокупности актуальное научное направление. Предлагаются новые методы к проведению экспериментальных исследований, основанные на кратком библиографическом обзоре опубликованных автором работ. Ил.4. Библиогр.: 26 назв.

УДК 621.317+615.475

Исследование структуры излучения диэлектрического стержия в воде / Искин В.Д., Буткус Г.Т., Бутенко А.В., Медведовский А.В. // Исследования взаимодействия электромагнитных волн миллиметрового и субмиллиметрового диапазонов с биологическими объектами: Сб.на-уч. тр. - Киев: Наук.думка, 1989. - С. 111-123.

Рассматривается излучатель для исследования биологических систем. Излучатель представляет собой радиопрозрачный стержень примоугольного сечения, погруженный в воду. Приведены зависилости амплитуды КВЧ поля от всех трех координат вблизи поверхности стержия, измеренные с помощью специального зонда. Показано, что покрытие поверхности излучателя тонким проводящим слоем позволяет ретулировать продольный коэффициент затухания КВЧ поля и реализовать ряд новых экспериментальных методик, основанных на пойске коррелиции между амплитудой электромагнитного поля и свойствами биологических систем. Ил.5. Виолюгр.: 43 назв.

УДК 621.391

Влияние неровностей земных покровов на рассеяние и излучение радиоволн / Андреев Г.А., Гладышев Г.А. // Исследования взаимодействия электромагнитных волн миллиметрового и субмиллиметрового диапазонов с биологическими объектами: Сб. науч. тр. — Киев: Наук. думка, 1989. — С. 123-131.

При обработке и интерпретации получаемой с систем дистанционного зондирования информации существенным оказывается влияние
неровностей земных покровов на их тепловое излучение и рассеяние
излучения толщи атмосферы. В работе приведены количественные
оценки этого влияния на основе использования плоского альбедо и
интегрального коэффициента рассеяния теплового излучения толщи
атмосферы. Получены соотношения, описывающие контрасты радиотеплового поля различных типов покровов. Результаты, представленные
в работе, позволяют проводить оперативную обработку и интерпретацию данных агромониторинга в системах автоматизированного управления сельскохозяйственными комплексами. Ил.3. Библиогр.: 11 назв.

УДК 551.46.0:629.78

Определение температуры почв по дистанционным поляризационным измерениям теплового радиоизлучения / Андреев Г.А., Агратин С.Г., Гладышев Г.А., Станкевич О.К. // Исследования взаимодействия электромагнитных воли миллиметрового и субмиллиметрового диапазонов с биологическими объектами: Сб. науч. тр. — Киев: Наук. думка, 1989. — С. 132-138.

Описан метод определения температури почв по дистанционным поляризационным измерениям теплового радиоизлучения. В радиодиананнам из выражения для коэфициентов Френеля получается поляризационное соотношение для коэфициентов излучения, которое для гладтих покровов при угле наблюдения 45° переходит в инвариант:  $n_x = n_x = 1$ . Однако на практике необходимо учитывать неровности поверхности и подсвечивающее излучение толщи атмосферы. Полученные выражения для их учета дают возможность определения относительной погрешности измерений температуры. Ошибка в определении температуры при среднеквадратичном тангенсе угла наклона 0,2 составляет 8%, максимальная погрешность при учете излучения толщи атмосферы - 16 К. Для отработки методики измерений был проведен эксперимент. Излучение покрова принималось радиометром на волне 8 мм. В результате измерений получена температура, отличная от реальной на 2,5 К, что удовлетворительно согласуется с теоретическими расчетами. Ил.4. Биолиогр.: 8 назв.

УДК 551.596.08

Биофизический комплекс для определения объемной скорости потока и давления / Зверев В.В., Ермак Г.П., Россихин В.В., Алексеевский С.Д. // Исследования взаимодействия электромагнитных волн миллиметрового и субмиллиметрового диапазонов с биологическими объектами: Сб.науч.тр. - Киев: Наук. думка, 1989. - С. 138-142.

Описан биобизический комплекс для определения объемной скорости потока биологических жидкостей и давления в полых органах млекопитающих и человека. Ил. 4. К статье Н. Г. Шестопаловой, Л. Н. Головиной, А. А. Петрушина, В. К. Корнеенкова «Реакция клеток растений на действие радиоволн миллиметрового диапазона»



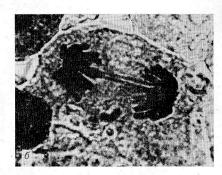


Рис. 2. Хромосомные аберрации в клетках лука

К статье В. Д. Искина «Инструментальные методы исследования биологических систем в миллиметровом диапазоне радиоволн»

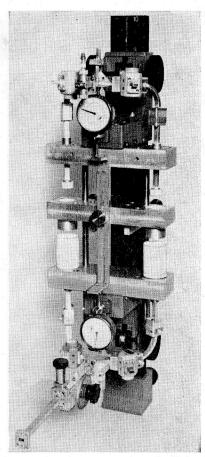


Рис. 1. Установка для измерения комплексной диэлектрической проницаемости разбавленных водных растворов

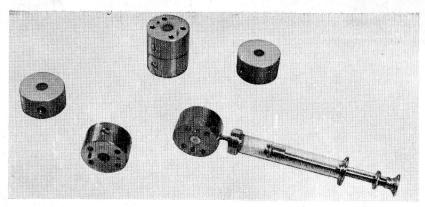


Рис. 2. Скин-кюветы для исследования жидких и порошковых материалов

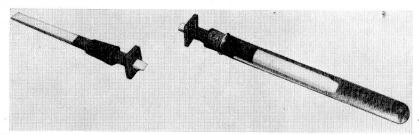


Рис. 3. Қюветы для микроволновой обработки культуры клеток

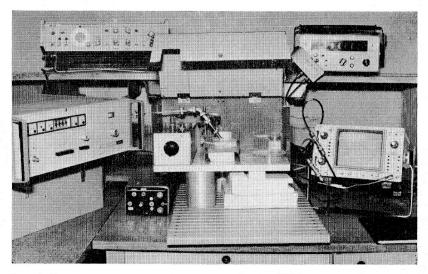


Рис. 4. Установка для исследования воздействия КВЧ излучения на биологические липидные мембраны

